



UNIVERSIDAD NACIONAL AUTÓNOMA
DE MÉXICO

FACULTAD DE ESTUDIOS SUPERIORES
CUAUTITLÁN

DISEÑO Y CONSTRUCCIÓN DE UN SECADOR SOLAR
PARA SEMILLA DE CAFÉ

T E S I S

QUE PARA OBTENER EL TÍTULO DE:

INGENIERO MECÁNICO ELECTRICISTA

PRESENTA:

JOSÉ ALFREDO PÉREZ RAMÍREZ

ASESOR: ING. JOSÉ ANTONIO SÁNCHEZ GUTIÉRREZ

CUAUTITLÁN IZCALLI EDO. DE MEX.

2010



UNAM – Dirección General de Bibliotecas

Tesis Digitales
Restricciones de uso

DERECHOS RESERVADOS ©
PROHIBIDA SU REPRODUCCIÓN TOTAL O PARCIAL

Todo el material contenido en esta tesis está protegido por la Ley Federal del Derecho de Autor (LFDA) de los Estados Unidos Mexicanos (México).

El uso de imágenes, fragmentos de videos, y demás material que sea objeto de protección de los derechos de autor, será exclusivamente para fines educativos e informativos y deberá citar la fuente donde la obtuvo mencionando el autor o autores. Cualquier uso distinto como el lucro, reproducción, edición o modificación, será perseguido y sancionado por el respectivo titular de los Derechos de Autor.

DEDICATORIAS:

A MIS GUÍAS ESPIRITUALES:

ROSALIO VÁZQUEZ CARRILLO Y FAMILIA

*A MIS COMPAÑEROS DEL CAMINO (OMITO
NOMBRES POR SI OLVIDARÁ ALGUNO)*

A TODA LA COMUNIDAD WIXARIKA

AGRADECIMIENTOS:

A MI MAESTRO ESPIRITUAL ROSALIO VÁZQUEZ CARRILLO POR TODO LO QUE ME HA DADO.

A MIS PADRES Y MIS HERMANAS POR SU APOYO.

A MI ASESOR JOSÉ ANTONIO SÁNCHEZ GUTIÉRREZ, FILIBERTO LEYVA PIÑA y A TODOS LOS PROFESORES DEL LABORATORIO DE TERMOFLUIDOS POR SU GUÍA ACADÉMICA.

A LA DRA. SONYA FUENTES DE LA FUENTE POR SU APOYO ECONÓMICO.

A MIS COMPAÑEROS HÉCTOR MENDOZA y JORGE LUIS MARTÍNEZ CASTILLO POR SU COLABORACIÓN.

A ABENAMAR LÓPEZ CISNEROS POR SUS TIPS.

*A MIS ALUMNOS: YESICA, LORENA, ELISA,
ISRAEL Y LOS QUE VENGAN, PORQUE
FUERON MI INSPIRACIÓN PARA
ENCONTRAR MI VOCACIÓN PROFESIONAL.*

Índice

INTRODUCCIÓN.	1
CAPÍTULO I	
GENERALIDADES DE LA ENERGÍA SOLAR.	3
1.1 Radiación solar.	6
1.1.2 Constante solar.	8
1.1.3 Radiación extraterrestre.	11
1.1.4 Tipos de radiación.	12
1.2 Irradiación e irradiancia.	13
1.3 Procesos fototérmicos de la energía solar.	17
CAPÍTULO II	
ÁNGULOS SOLARES.	18
2.1 Ángulos solares básicos.	19
2.1.1 Declinación solar.	19
2.1.2 Ángulo horario.	21
2.1.3 Latitud.	22
2.2 Ángulos solares derivados.	24
2.2.1 Ángulo de cenit y altura solar.	25
2.2.2 Ángulo de azimut.	28
2.3 Ángulo de incidencia.	32
CAPÍTULO III	
ECUACIÓN DEL TIEMPO.	36

3.1 Tiempo solar y tiempo civil.	37
3.2 Longitud geográfica y husos horarios.	38
3.3 Ecuación del tiempo.	40

CAPÍTULO IV

PRINCIPIOS DE TRANSFERENCIA DE CALOR.	44
----------------------------------------------	----

4.1 Transferencia de calor por conducción.	45
4.1.1 Ley de Fourier.	46
4.2 Transferencia de calor por convección.	48
4.2.1 Ley de Newton del enfriamiento.	49
4.2.2 Transferencia de calor por convección natural.	50
4.2.2.1 Viento sobre una placa plana.	51
4.2.3 Transferencia de calor por convección forzada.	51
4.3 Transferencia de calor por radiación.	51
4.3.1 Cuerpo negro.	54
4.3.2 Propiedades de las superficies opacas.	56
4.3.3 Superficies selectivas.	57
4.3.4 Radiación en medios semitransparentes.	60
4.3.5 Producto transmitancia-absortancia.	67

CAPÍTULO V

COLECTORES SOLARES PLANOS.	69
-----------------------------------	----

5.1 Tipos de colectores solares planos.	73
-----------------------------------------	----

5.1.2. Placas absorbedoras para calentamiento de gases.	74
---------------------------------------------------------	----

5.2 Balance de energía en un colector solar plano.	75
----------------------------------------------------	----

5.3 Coeficiente total de pérdidas de calor.	79
---------------------------------------------	----

CAPÍTULO VI

DISEÑO DE UN COLECTOR SOLAR PLANO

PARA UN SECADOR SOLAR.	86
-------------------------------	----

6.1 Planteamiento del problema.	87
---------------------------------	----

6.2 Diseño del secador.	87
-------------------------	----

6.2.1 Materiales a emplear y sus propiedades.	88
-----------------------------------------------	----

6.2.2 Condiciones de operación.	89
---------------------------------	----

6.2.3 Cálculo de las propiedades ópticas del colector.	90
--------------------------------------------------------	----

6.2.4 Cálculo de las dimensiones del colector.	93
------------------------------------------------	----

CAPÍTULO VII

PLANOS DEL COLECTOR SOLAR PLANO.	97
-----------------------------------------	----

CAPÍTULO VIII

CONSTRUCCIÓN DEL SECADOR SOLAR.	104
----------------------------------------	-----

8.1 Construcción del secador solar.	105
-------------------------------------	-----

8.2 Construcción de la estructura del secador solar.	110
------------------------------------------------------	-----

8.3 Materiales de construcción del secador solar.	111
---------------------------------------------------	-----

8.4 Instalación del secador solar.	112
------------------------------------	-----

CAPÍTULO IX	
PRUEBAS DE ESTANCIAMIENTO Y	
PRUEBAS A FLUJO ABIERTO.	115
9.1 Registro de lecturas.	116
9.2 Cálculo de las propiedades ópticas.	117
9.3 Cálculos en pruebas de estancamiento.	120
9.4 Cálculos en pruebas a flujo abierto.	121
9.5 Eficiencia del colector.	122
CONCLUSIONES.	123
APÉNDICE.	125
Tabla 1	126
Tabla 2	127
Gráfica 1	134
Tabla 3	135
Tabla 4	142
Tabla 5	149
Tabla 6	156
Tabla 7	163
Tabla 8	170
Tabla 9	177
Tabla 10	184

Tabla 11	191
Tabla 12	198
Tabla 13	205
Tabla 14	212
Tabla 15	219
Tabla 16	226
Tabla 17	233
Tabla 18	234
Gráfica 2	241
Tabla 19	242
Tabla 20	243
BIBLIOGRAFÍA.	244

INTRODUCCIÓN.

La mayor parte de la energía del mundo se ha obtenido hasta ahora a partir de las reservas fósiles de carbón y petróleo, debido en parte a nuestra dependencia creada por nosotros mismos hacia los hidrocarburos, pero al ver ya previsible su agotamiento, es preciso considerar su conservación y el empleo de otras fuentes, como la energía solar; la cual a diferencia de este tipo de energía y de otras, como lo es la nuclear, es limpia, abundante, gratis y está al alcance de cualquiera, aunque su principal desventaja es que sólo se puede captar de día.

Todos hemos hecho uso del sol como secador; cuando tendemos la ropa o simplemente cuando nos tumbamos al sol después de darnos un baño. La historia muestra que desde hace siglos el hombre ha tratado de aprovechar la energía solar. Empero, sólo hasta la década de 1970 es cuando se ha incrementado la investigación y el desarrollo de distintos sistemas para la captación y el aprovechamiento de la energía solar.

Los sistemas de captación de la energía solar son principalmente fotovoltaicos y fototérmicos. Dentro de los fotovoltaicos se encuentran las celdas solares; cuya principal función es transformar la radiación solar en

energía eléctrica, entre sus aplicaciones principales está la iluminación. En los fototérmicos se encuentran los colectores solares; que pueden ser: planos y de enfoque, cuya función principal es transformar la radiación solar en calor, algunas de sus aplicaciones se encuentran en el calentamiento de agua para uso doméstico o para generar vapor, en el calentamiento de aire para el acondicionamiento del clima, el secado de granos, alimentos deshidratados, en la fundición de metales, etc.

El sistema de captación en el que nos ocuparemos en éste trabajo de tesis será el fototérmico, particularmente en el diseño de un colector solar plano para calentar aire, con la finalidad de que pueda ser usado en el proceso de secado de granos.

CAPÍTULO I

**GENERALIDADES DE
LA ENERGÍA SOLAR.**

Para los fines del aprovechamiento de su energía, el Sol es una inmensa esfera de gases a alta temperatura, con un diámetro de 1.39×10^9 m, situado a la distancia media de 1.5×10^{11} m respecto de la tierra. Esta distancia se llama unidad astronómica.

Se estima que la temperatura en el interior del sol debe ser del orden de 10^7 °K, pero en la fotósfera, es decir, en la superficie externa del sol, la temperatura efectiva de cuerpo negro es de 5762 °K (i. e., calculada según el modelo radioactivo del cuerpo negro). Existen, sin embargo, otras formas de calcular la temperatura de la fotósfera, que dan como resultado alrededor de 6300 °K. Es claro que nadie ha colocado un termómetro en la superficie del sol. Su temperatura se mide por métodos indirectos, basados en diversos modelos, de ahí que no coincidan todas las estimaciones de su temperatura.

Algunos datos interesantes acerca del sol son los siguientes: el sol genera su energía mediante reacciones nucleares de fusión – por ejemplo, dos átomos de hidrógeno que producen helio, o uno de helio y uno de hidrógeno que producen litio, etc. – que se llevan a cabo en su núcleo. La generación de energía proviene, por tanto, de la pérdida de masa del sol, que se convierte en energía de acuerdo con la famosa ecuación de Einstein, E

$= mc^2$, donde E es la cantidad de energía liberada cuando desaparece la masa m; c es la velocidad de la luz.

El núcleo solar es la región comprendida dentro del 23 % de su radio, a partir del centro, que corresponde tan sólo al 15 % del volumen, pero en cambio contiene el 40 % de la masa y ahí se genera el 90 % de la energía. En esa región, la temperatura es del orden de 10^7 °K y la densidad es del orden de 10^5 kg/m³¹. A una distancia del 70 % del radio solar, la temperatura es del orden de 10^5 °K y la densidad es de unos 70 kg/m³. La zona que va del 70 % al 100% del radio solar, se conoce como zona convectiva y su temperatura cae hasta 5000 a 6000 °K, mientras que la densidad desciende a 10^{-5} kg/m³.

La capa externa de esta región recibe el nombre de fotósfera y es considerada como la superficie del sol, por ser una región opaca², de donde se emite la gran mayoría de la radiación solar hacia el espacio.

La fotósfera es la superficie aparente del sol cuando se observa con un filtro adecuado (filtro de soldador no. 14,

¹ Recordemos que la densidad del agua es 10^3 kg/m³.

² Opaco, en óptica, significa que no deja pasar la radiación. Por ejemplo, una lámpara de neón, emite luz desde su superficie, pero no podemos ver su interior, es opaca. El significado de esta palabra es diferente del que le damos en el lenguaje común. Técnicamente, lo opuesto a opaco es transparente.

por ejemplo). Por ser opaca, la fotosfera impide observar el interior del sol. Sin embargo, es claro que, como todo el sol, desde el núcleo hasta su superficie se encuentra en forma gaseosa en forma gaseosa, no hay superficie física claramente definida, como en la Tierra. Sobre la fotósfera existen también gases, en condiciones tales que son esencialmente transparentes, que se conocen como la corona solar, observable durante los eclipses totales de sol. La corona solar es la atmósfera del sol. De forma similar a como sucede en la Tierra, la corona es cada vez más tenue a medida que se está a mayor distancia del núcleo solar, hasta confundirse con el vacío relativo que existe en el espacio interestelar.

1.1 Radiación solar.

El sol emite la radiación en toda la gama del espectro electromagnético, desde los rayos gamma hasta las ondas de radio. Sin embargo, para los fines de aprovechamiento de su energía, sólo es importante la llamada radiación térmica que incluye sólo el ultravioleta (UV), la radiación visible (VIS) y la infrarroja (IR).

Todos los cuerpos emiten cierta cantidad de radiación en virtud de su temperatura. A mayor temperatura ocurren dos cambios en la radiación emitida:

1. La intensidad de la emisión es mayor, refiriéndose a un mayor número de watts por metro cuadrado que abandonan el cuerpo.
2. El color o tipo de radiación cambia hacia una menor longitud de onda, esto es, del IR al VIS y al UV, a medida que aumenta la temperatura.

La fotósfera se encuentra a unos 6000 °K y, por tanto, emite cierto flujo de energía correspondiente a esa temperatura. Su distribuciónpectral es como se indica en la figura 1.1. Esta figura muestra la irradianciaespectral (energía por unidad de tiempo, en la unidad de área, por unidad de longitud de onda) en función de la longitud de onda. La línea continua pero irregular corresponde a la irradiancia observada, medida desde la Tierra. La curva discontinua representa la irradianciaespectral que tendría un cuerpo negro (radiador ideal), que se encontrara a la temperatura de 5762 °K.

Solar Radiation Spectrum

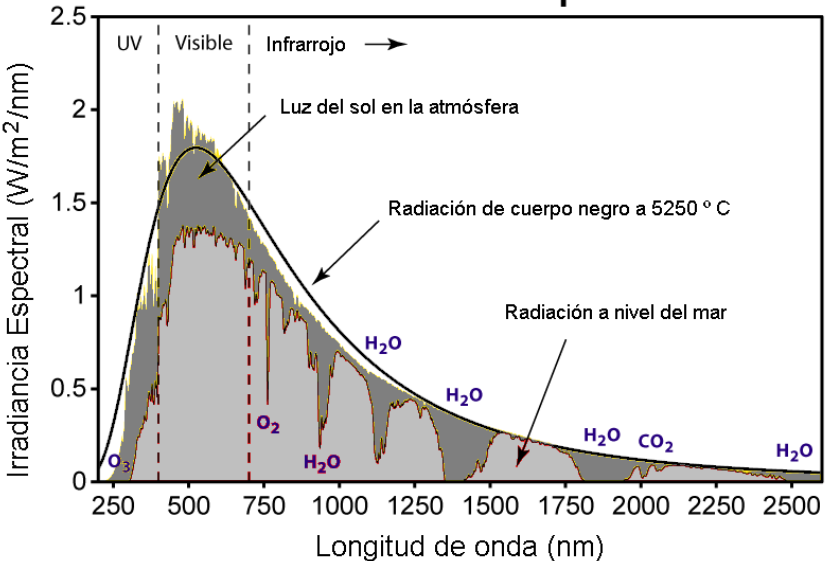


Figura 1.1 Radiación del Sol en la atmósfera y a nivel del mar; Irradiancia espectral de un cuerpo negro con una temperatura de 5250 ° C.

1.1.2 Constante solar.

La combinación de tres factores: la distancia Tierra-Sol, el diámetro solar y la temperatura del Sol, determinan un flujo luminoso, un flujo de energía que incide sobre la superficie de la Tierra.

Se llama flujo de “algo” (materia, energía) a la cantidad de ese “algo” que pasa a través de una superficie, por unidad de área y por unidad de tiempo. Por tanto, el flujo

luminoso, que es un flujo de energía, tiene unidades de energía por unidad de área y por unidad de tiempo, por ejemplo, $\text{J/m}^2\text{-s}$, equivalentes a W/m^2 .

Mucho se ha discutido acerca de si el sol emite un flujo de energía constante, o se trata de una estrella variable. Algunos estudios parecen indicar que la variación de energía que emite el sol, es menor al 1 % a lo largo de un ciclo solar, que dura 22 años. No se conoce a ciencia cierta la causa de estas variaciones, sin embargo, para fines del proyecto, la emisión de energía del sol puede considerarse constante.

El recurso energético solar está mucho más ligado, en la superficie terrestre, a las variaciones meteorológicas, que a las solares. La radiación emitida por el sol, junto con sus condiciones geométricas respecto de la Tierra, dan por resultado que, sobre la atmósfera terrestre, incide una cantidad de radiación solar casi constante. Esto ha dado lugar a la definición de la llamada constante solar.

La constante solar, G_{CS} , es el flujo de energía proveniente del sol, que incide sobre una superficie perpendicular a la dirección de propagación de la radiación solar, ubicada a la distancia media del Tierra al sol, fuera de toda atmósfera.

Aclaremos algunos puntos de esta definición. Primero, es un flujo de energía, es decir, la constante solar se refiere a una cantidad de energía que incide, instantáneamente, sobre una superficie de área unitaria. Segundo, esta superficie hipotética es perpendicular o normal a la dirección de la propagación de la luz. Es obvio que una superficie en posición oblicua respecto de la dirección del sol, recibiría un menor flujo de energía. Tercero, nuestra superficie hipotética se encuentra situada a la distancia media de la Tierra al sol. Como la órbita que describe la Tierra alrededor del sol no es circular, la distancia Tierra-sol no es constante. Por último, nuestra ya famosa superficie hipotética, debe estar colocada fuera de la atmósfera, para evitar la atenuación de la radiación causada por la diversidad de fenómenos físicos y químicos que se verifican en la atmósfera.

El valor comúnmente aceptado para G_{CS} ha variado en los últimos años, según las técnicas de medición que se han empleado, lo cual no indica que haya variado en sí la magnitud de la energía que se recibe del sol. En este proyecto usaremos el valor:

$$G_{CS} = 1353 \text{ W/m}^2$$

que, en otras unidades equivale a:

$$G_{CS} = 1.94 \text{ cal/cm}^2\text{-min} = 428 \text{ BTU/ft}^2\text{-hr} = 4871 \text{ MJ/m}^2\text{-hr}$$

Estos valores fueron aceptados por la NASA (1971) y por la ASTM.

1.1.3 Radiación extraterrestre.

La radiación extraterrestre que incide sobre la Tierra está sujeta a variaciones geométricas y a las condiciones físicas del propio sol. Por otro lado, la órbita que describe la Tierra alrededor del sol no es circular, sino casi elíptica. La pequeña excentricidad de la órbita hace que, alrededor del 1º de enero, cuando la Tierra se encuentra en el perihelio (mínima distancia al sol) la radiación extraterrestre sea máxima. Por otro lado, alrededor del 1º de julio – seis meses después – la Tierra se encuentra en el afelio (máxima distancia al sol) y entonces la radiación solar extraterrestre es mínima.

La ecuación que describe el flujo de energía sobre un plano normal a la radiación solar extraterrestre, a lo largo del año es:

$$G_{ON} = G_{CS} \left[1 + 0.033 \cos \left(\frac{360n}{365.242} \right) \right] \quad \text{Ec. 1.1}$$

En donde G_{ON} es el flujo de radiación extraterrestre, medida en un plano normal a la radiación, y n es el número del día del año. La tabla 1 del apéndice contiene información para calcular el valor de n .

1.1.4 Tipos de radiación.

La radiación solar sufre ciertas transformaciones al incidir sobre la atmósfera, de modo que es necesario manejar algunos conceptos específicos para los diversos tipos de radiación. Las siguientes definiciones ayudan a aclarar estos conceptos.

Se conoce como radiación directa, la que se recibe directamente del sol, sin sufrir ninguna dispersión atmosférica. La radiación extraterrestre es, por tanto, radiación directa. La radiación difusa es la que se recibe del sol después de ser desviada por dispersión atmosférica. Es radiación difusa la que se recibe a través de las nubes, así como la que proviene del cielo que se ve azul. De no haber radiación difusa, el cielo se vería negro, aun de día, como sucede por ejemplo en la luna. Por otro lado, se conoce como radiación terrestre la que proviene de objetos terrestres, por ejemplo, la que refleja una pared blanca, un charco o un lago, etc.

Se conoce como radiación total, la suma de las radiaciones directa, difusa y terrestre que se reciben sobre una superficie. Por ejemplo, sobre una pared o una ventana, incide la radiación directa del sol, la difundida por las nubes y por el cielo y, además, puede entrar la luz reflejada por algún otro objeto frente a la pared o ventana. Un caso particular, pero de mucho interés práctico en el estudio de la energía solar, es el medir la radiación total sobre una superficie horizontal “viendo” hacia arriba. En este caso puede considerarse que no existe radiación terrestre y se conoce también como radiación global. Por tanto, la radiación global es la suma de la directa más la difusa.

1.2 Irradiación e irradiancia.

Para expresar la potencia solar, y en general, de cualquier radiación, se utiliza el término irradiancia. La irradiancia, W/m^2 , es la rapidez de incidencia de energía radiante sobre una superficie, por unidad de área. Generalmente se usa el símbolo G para la irradiancia. Nótese que la irradiancia tiene la virtud de indicar muy claramente que la radiación es un fenómeno que transcurre en el tiempo, que no es estático. Es energía que incide instantáneamente sobre una superficie.

Cuando incide la radiación sobre un plano, durante un tiempo determinado, puede hablarse entonces de que incidió una cierta cantidad de energía. La cantidad de energía por unidad de área que incide durante un período de tiempo dado, recibe el nombre de irradiación, J/m^2 , y no es otra cosa que la integral de la irradiancia durante el período en cuestión.

Generalmente se usa el símbolo I para la insolación por hora, mientras que H se usa para la insolación en el período de un día. De acuerdo con lo anterior, la relación entre la irradiación y la irradiancia está dada por la expresión:

$$I = \int_{t_1}^{t_2} G(t)dt \quad \text{Ec. 1.2}$$

en donde la irradiación se está calculando desde el tiempo t_1 hasta el tiempo t_2 y la irradiancia se considera función del tiempo.

El flujo de energía sobre una superficie determinada depende no solo de la irradiancia que exista, sino también de la orientación que tenga la superficie en cuestión respecto de la dirección de propagación de la radiación. La irradiancia será máxima sobre un plano que esté en

posición normal a la dirección de propagación de la radiación (es decir, que le “de frente” o “de cara”). En cambio, será mínima si el plano es paralelo a la radiación (es decir “de canto”). La intensidad de radiación sobre la superficie dependerá pues, del ángulo θ que forme la normal de la superficie, respecto de la dirección de propagación de la radiación. Este ángulo θ se conoce con el nombre de ángulo de incidencia³.

Entonces, la irradiancia incidente sobre la superficie será:

$$G_S = G_N \cos \theta \quad \text{Ec. 1.3}$$

En donde G_S se refiere a la irradiancia sobre un plano con cualquier inclinación y G_N se refiere a la irradiancia medida sobre un plano normal a la dirección de propagación de la radiación. Si se conoce la irradiancia normal (por ejemplo, la constante solar G_{CS} es una irradiancia normal) y se conoce el ángulo θ , mediante la ecuación anterior se puede calcular la irradiancia sobre un plano con cualquier inclinación. Como el sol describe un movimiento aparente a lo largo del día de oriente a poniente, y otro a lo largo del año de sur a norte y viceversa, el valor del ángulo θ varía con la hora y con la fecha, además de hacerlo con la

³ Se habla de éste ángulo en un apartado del Capítulo 2, p. p. 15-16.

orientación del plano, su inclinación respecto de la horizontal y la latitud geográfica⁴ del lugar donde se encuentre el plano en cuestión.

Otros factores que influyen son las pérdidas por la refracción de la irradiación en la atmósfera así como la cantidad de nubes que existe en ella. En este caso usamos la ecuación:

$$K_T = \frac{H_T}{H_0} \quad \text{Ec. 1.4}$$

En donde K_T es el índice de pérdidas, H_T es la irradiación total en un tiempo determinado y H_0 es la irradiación que existiría con una irradiancia directa.

1.3 Procesos fototérmicos de la energía solar.

Recientemente, el hombre ha aprendido a obtener electricidad a partir de la energía solar mediante procesos fototérmicos y fotovoltaicos. Los primeros operan bajo principios semejantes a los de las centrales térmicas convencionales. Los denominados fotovoltaicos, presentan una importante simplificación respecto a los procesos energéticos convencionales, debido a que transforman una

⁴ Se explica este concepto en otro apartado del Capítulo 2, p. p. 11-12.

energía primaria, la solar, en electricidad de un modo directo, es decir, sin transformaciones intermedias en otras formas de energía.

Se denomina proceso fototérmico a la recolección de la energía solar que se logra por medio de captadores solares con la finalidad de calentar algún medio, generalmente a través de un fluido compresible (gases) o incompresible (líquidos). La climatización de viviendas, el calentamiento de agua para uso doméstico, la calefacción, la refrigeración, el secado, etc., son aplicaciones que implican procesos fototérmicos.

CAPÍTULO II

ÁNGULOS SOLARES.

2.1 Ángulos solares básicos.

Los ángulos que los rayos incidentes del sol forman con la Tierra y que dependen de la posición que tenga respecto del sol son llamados ángulos solares básicos, aunque se incluye la latitud que técnicamente no es un ángulo solar sino que se trata de una coordenada geográfica.

2.1.1 Declinación solar.

La declinación solar es la posición angular del sol al mediodía solar, respecto del plano del ecuador, positivo hacia el norte. La declinación solar es cero el día que comienza la primavera y el día que comienza el otoño (equinoccios). En estos días, el sol se encuentra en el ecuador celeste, que es la extrapolación del ecuador terrestre en la bóveda celeste. La declinación es máxima en el solsticio de verano (23.45°) y mínima en el solsticio de invierno (-23.45°). A menudo se representa con δ .

El movimiento aparente del Sol es cíclico, por lo tanto es evidente que δ es una función senoidal que depende del día del año (Ver figura 2.1). Así pues, la ecuación para la declinación solar resulta dependiendo del punto de referencia. Si consideramos como referencia el equinoccio de primavera, de la tabla 1 del apéndice observamos que n

= 80, como $\delta = 0$ y va creciendo hacia la derecha (números positivos) se deduce la siguiente ecuación.

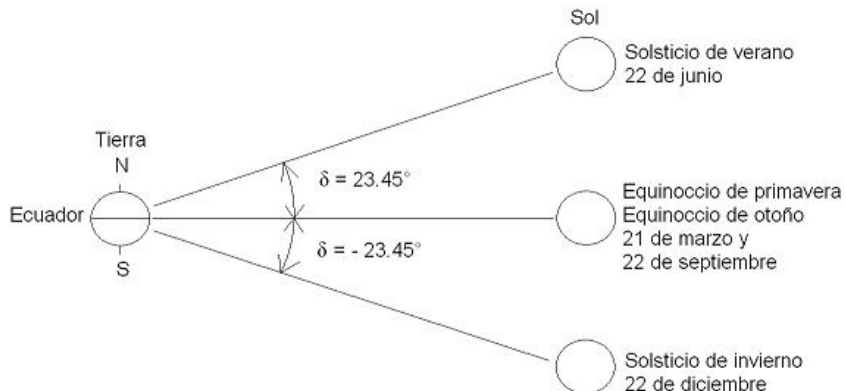


Figura 2.1 Declinación solar δ en todas las estaciones del año.

$$\delta = 23.45 \operatorname{sen} \left[\frac{360}{365.242} (n - 80) \right] \quad \text{Ec. 2.1}$$

Haciendo un análisis análogo para el solsticio de verano, el equinoccio de otoño y el solsticio de invierno respectivamente resultan las siguientes tres ecuaciones alternativas.

$$\delta = 23.45 \cos \left[\frac{360}{365.242} (n - 173) \right] \quad \text{Ec. 2.2}$$

$$\delta = 23.45 \operatorname{sen} \left[\frac{360}{365.242} (265 - n) \right] \quad \text{Ec. 2.3}$$

$$\delta = 23.45 \cos \left[\frac{360}{365.242} (356 - n) \right] \quad \text{Ec. 2.4}$$

En la tabla 2 y en la gráfica 1 se muestran los valores de δ en todos los días del año.

2.1.2 Ángulo horario.

El ángulo horario ω es el desplazamiento angular del sol, al este o al oeste del meridiano local, debido a la rotación de la Tierra a la velocidad angular de 15° por hora (360° en 24 horas). Negativo por la mañana y positivo por la tarde. Por ejemplo, de la figura 2.2, si el mediodía solar es a las 12 horas, a las 10 horas del tiempo solar¹, corresponde $\omega = -30^\circ$, mientras que a las 16 horas del tiempo solar, corresponde $\omega = 60^\circ$. El mediodía solar es por definición, $\omega = 0^\circ$. Obsérvese que, debido a los movimientos del sol hacia el norte (primavera) y hacia el sur (otoño), la salida y la puesta del sol no corresponden, en general a $\omega = -90^\circ$ y $\omega = 90^\circ$, respectivamente. Esto sucede únicamente en los equinoccios en cualquier latitud, o en el ecuador en cualquier fecha.

¹ El tiempo civil y el tiempo solar son distintos. Ver Capítulo 3, pag. 18.

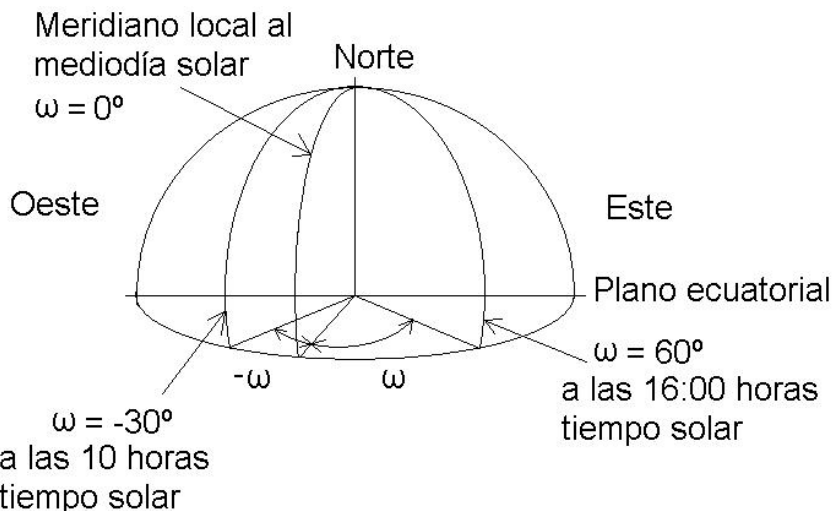


Figura 2.2 Ángulo horario antes del mediodía solar, en el mediodía solar y después del mediodía solar.

2.1.3 Latitud.

La latitud φ simboliza la latitud geográfica, esto es la posición angular del lugar en donde se encuentre el plano en cuestión, respecto del ecuador terrestre, positivo en el hemisferio norte ($-90^\circ \leq \varphi \leq 90^\circ$).

En la figura 2.3 se aprecian algunas latitudes geográficamente importantes, ya que dividen a la Tierra en zonas. Así, de la figura 2.3 se definen los siguientes conceptos.

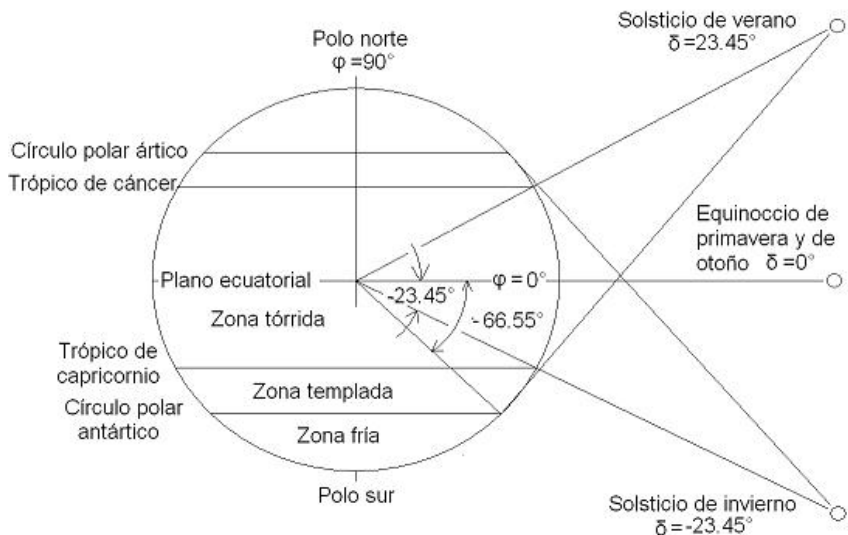


Figura 2.3 Latitudes en los trópicos, en los círculos polares y en los polos.

Trópicos – Son las latitudes donde existe solo un paso cenital², en el solsticio de verano ($\varphi = \delta = 23.45^\circ$) para el norte y en el solsticio de invierno ($\varphi = \delta = -23.45^\circ$) para el sur.

Círculos polares – Son las latitudes donde el día o la noche dura 24 horas en los solsticios según la ubicación (norte o sur). En el mediodía, el sol se encuentra en el horizonte ($\varphi = \pm 66.55^\circ$).

² Un paso cenital ocurre cuando los rayos del sol inciden perpendicularmente sobre la Tierra durante el mediodía solar. Solamente en el Ecuador ocurren todos los días y dos veces en la zona comprendida entre los dos trópicos.

Polos³ – Son las latitudes donde el día y la noche duran medio año ($\varphi = \pm 90^\circ$).

Zona tórrida – Es la zona entre los trópicos y donde los rayos del sol inciden perpendicularmente en la Tierra durante el mediodía dos veces al año.

Zona templada – Es la zona entre un trópico y un círculo polar. Las zonas templadas se caracterizan por recibir oblicuos los rayos del sol todos los días del año. Y por tener días y noches menores a 24 horas.

Zona fría – Es la zona comprendida entre un círculo polar y un polo. Son zonas donde los días y las noches duran entre 24 horas y 6 meses.

2.2 Ángulos solares derivados.

Los ángulos solares básicos, incluyendo la latitud, determinan otro tipo de ángulos llamados ángulos solares derivados. A pesar de la curvatura de la Tierra, un terreno pequeño puede representarse prácticamente como un plano; los ángulos solares derivados son ángulos formados

³ Nos referimos a los polos geográficos que son distintos a los polos magnéticos.

con respecto a un plano horizontal teórico que contiene el eje norte-sur y que es tangente a la superficie de la Tierra y a otro plano vertical que contiene al rayo incidente.

Tanto la altura solar como el ángulo de azimut son los ángulos solares derivados con los que se definen las trayectorias del sol en cualquier punto geográfica de la Tierra, por lo tanto, dependen de los ángulos solares básicos.

2.2.1 Ángulo de cenit y altura solar.

Tanto el ángulo de cenit ψ como la altura solar β son ángulos que se forman en el plano vertical que contiene el rayo incidente y están entre el rango $0^\circ \leq \psi \text{ o } \beta \leq 90^\circ$, ambos son complementarios, es decir, $\psi + \beta = 90^\circ$.

De la figura 2.4, sean los cosenos directores del vector del rayo incidente **I** que se encuentra en el plano xz; $\cos \alpha_1$, $\cos \beta_1$ y $\cos \gamma_1$ con respecto al sistema coordenado xyz.

Sean los cosenos directores del vector **OP** colineal con la vertical **V** $\cos \alpha_2$, $\cos \beta_2$ y $\cos \gamma_2$ con respecto al sistema coordenado xyz.

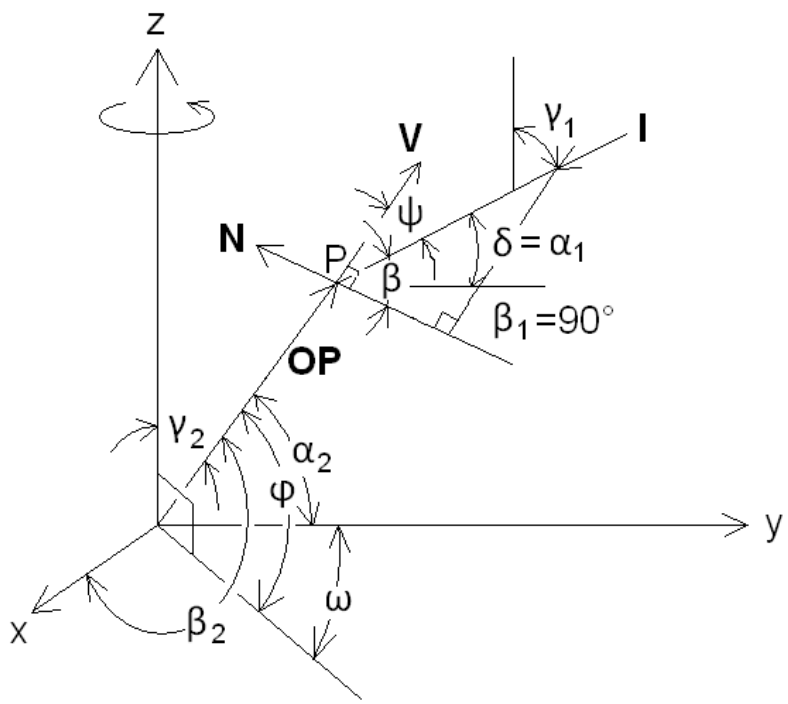


Figura 2.4 Diagrama para la deducción del ángulo cenital y la altura solar.

I – vector del rayo incidente.

N – vector norte-sur.

OP – vector del radio terrestre.

V – vector vertical.

ψ – ángulo cenital.

β – altura solar.

δ – declinación solar.

φ – latitud.

ω – ángulo horario.

α_1 – ángulo entre I y el eje x.

β_1 – ángulo entre \mathbf{I} y el eje y.

γ_1 – ángulo entre \mathbf{I} y el eje z.

α_2 – ángulo entre \mathbf{OP} y el eje x.

β_2 – ángulo entre \mathbf{OP} y el eje y.

γ_2 – ángulo entre \mathbf{OP} y el eje z.

De acuerdo con el diagrama de la figura, se sabe por la geometría analítica la siguiente relación:

$$\cos \psi = \frac{\vec{I} \cdot \vec{V}}{\|\vec{I}\| \cdot \|\vec{V}\|} \quad \text{Ec. 2.5}$$

Suponiendo que \mathbf{I} y \mathbf{V} son vectores unitarios, entonces la ecuación 2.5 nos queda en términos de los cosenos directores.

$$\cos \psi = \cos \alpha_1 \cdot \cos \alpha_2 + \cos \beta_1 \cdot \cos \beta_2$$

$$+ \cos \gamma_1 \cdot \cos \gamma_2 \quad \text{Ec. 2.6}$$

Del diagrama de la figura, se obtienen las siguientes relaciones:

$$\cos \alpha_1 = \cos \delta ; \cos \beta_1 = 0 ; \cos \gamma_1 = \operatorname{sen} \delta$$

$$\cos \alpha_2 = \cos \varphi \cdot \cos \omega ; \cos \beta_2 = \cos \varphi \cdot \operatorname{sen} \omega ;$$

$$\cos \gamma_2 = \operatorname{sen} \varphi$$

Sustituyendo las relaciones anteriores en la ecuación 2.6 se obtiene

$$\cos \psi = \cos \delta \cdot \cos \varphi \cdot \cos \omega + \operatorname{sen} \delta \cdot \operatorname{sen} \varphi \quad \text{Ec. 2.7}$$

siendo ψ y β complementarios, entonces

$$\operatorname{sen} \beta = \cos \delta \cdot \cos \varphi \cdot \cos \omega + \operatorname{sen} \delta \cdot \operatorname{sen} \varphi \quad \text{Ec.}$$

2.8

En las tablas 3, 4, 5, 6, 7, 8, 9 del apéndice se muestran los valores de la altura solar para la latitud $\varphi = 19.68^\circ$ correspondiente a la FES Cuautitlán a diferentes horas del tiempo solar a lo largo del año.

2.2.2 Ángulo de azimut.

El ángulo de azimut γ está formado en la superficie horizontal tangente a la curvatura de la Tierra entre el meridiano local (vector norte-sur) y la proyección horizontal del rayo incidente. Su valor está dentro del rango $0^\circ \leq \gamma < 90^\circ$ si el sol se ubica hacia el sur y $90^\circ < \gamma \leq 90^\circ$ si se ubica

hacia el norte, aunque también puede estar indefinido cuando ocurre un paso cenital⁴.

La trayectoria del sol es simétrica respecto del vector norte-sur, ello implica que cuando el sol está en el este, dos horas antes del mediodía solar, por ejemplo; el ángulo de azimut tiene el mismo valor hacia el oeste dos después del mediodía solar.

De la figura 2.5, sean los cosenos directores del vector norte-sur **N**, $\cos \alpha_3$, $\cos \beta_3$ y $\cos \gamma_3$ con respecto al eje coordenado xyz.

Sean los cosenos directores de la proyección horizontal del vector del rayo incidente **I_h**, que se encuentra en el plano xz; $\cos \alpha_4$, $\cos \beta_4$ y $\cos \gamma_4$ con respecto al eje coordenado xyz.

⁴ El rayo incidente cae normal a la superficie, por lo tanto no existe una proyección horizontal del rayo incidente.

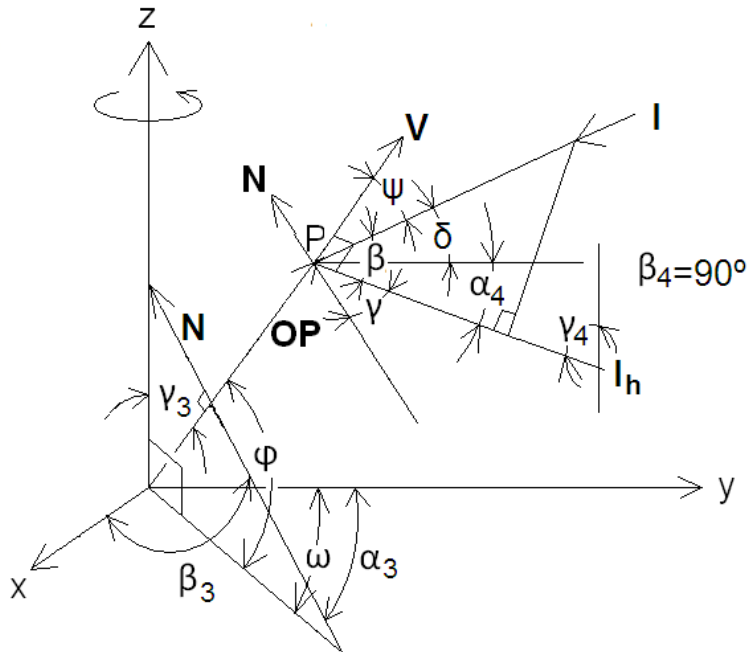


Figura 2.5 Diagrama para la deducción del ángulo de acimut.

I - vector del rayo incidente.

I_h – Proyección de **I** sobre la horizontal.

N – vector norte-sur.

OP – vector del radio terrestre

V – vector vertical.

γ – ángulo de acimut.

ψ – ángulo cenital.

β – altura solar.

δ – declinación solar.

φ – latitud.

ω – ángulo horario.

α_3 – ángulo entre **N** y el eje x.

β_3 – ángulo entre \mathbf{N} y el eje y.

γ_3 – ángulo entre \mathbf{N} y el eje z.

α_3 – ángulo entre \mathbf{N} y el eje x.

β_3 – ángulo entre \mathbf{N} y el eje y.

γ_3 – ángulo entre \mathbf{N} y el eje z.

Suponiendo que \mathbf{N} y \mathbf{I}_h son vectores unitarios y aplicando la ecuación 2.5 resulta la ecuación

$$\cos \gamma = \cos \alpha_3 \cdot \cos \alpha_4 + \cos \beta_3 \cdot \cos \beta_4$$

$$+ \cos \gamma_3 \cdot \cos \gamma_4 \quad \text{Ec. 2.9}$$

Pero de la figura obtenemos las siguientes equivalencias.

$$\cos \alpha_3 = -\sin \varphi \cdot \cos \omega ; \cos \beta_3 = -\sin \varphi \cdot \sin \omega ;$$

$$\cos \gamma_3 = \cos \varphi$$

$$\cos \alpha_4 = \frac{\cos \delta}{\cos \beta} ; \cos \beta_4 = 0 ; \cos \alpha_4 = \frac{\sin \delta}{\cos \beta}$$

Sustituyendo las igualdades anteriores en la ecuación 2.9 se obtiene

$$\cos \gamma = \frac{1}{\cos \beta} (\cos \varphi \sin \delta - \sin \varphi \cos \omega \cos \delta) \quad \text{Ec. 2.10}$$

En las tablas 10, 11, 12, 13, 14, 15, 16 se muestran los valores del ángulo de azimut para la latitud $\varphi = 19.68^\circ$ correspondiente a la FES Cuautitlán a diferentes horas del tiempo solar a lo largo del año.

2.3 Ángulo de incidencia.

El ángulo de incidencia θ_i se forma entre el rayo incidente y la normal de una superficie.

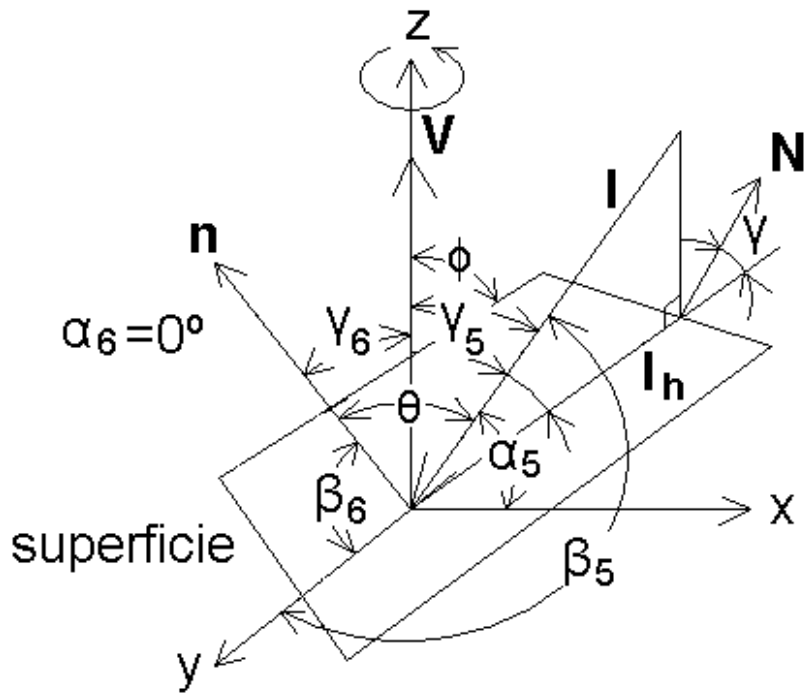


Figura 2.6 Diagrama para la deducción del ángulo de acimut.

I - vector del rayo incidente.

I_h – Proyección de **I** sobre la horizontal.

N – vector norte-sur.

n – vector normal a la superficie.

V – vector vertical.

θ – ángulo de incidencia.

ϕ – ángulo entre la superficie y la vertical.

γ – ángulo de acimut.

β – altura solar.

δ – declinación solar.

α_5 – ángulo entre **N** y el eje x.

β_5 – ángulo entre **N** y el eje y.

γ_5 – ángulo entre **N** y el eje z.

α_6 – ángulo entre **N** y el eje x.

β_6 – ángulo entre **N** y el eje y.

γ_6 – ángulo entre **N** y el eje z.

De la figura 2.6, sean los cosenos directores del vector del rayo incidente **I**; $\cos \alpha_5$, $\cos \beta_5$ y $\cos \gamma_5$ con respecto al eje coordenado xyz.

Sean los cosenos directores del vector **n**, que es normal a la superficie; $\cos \alpha_6$, $\cos \beta_6$ y $\cos \gamma_6$ con respecto al eje coordenado xyz.

Suponiendo nuevamente que los vectores **I** y **n** son unitarios y utilizando la ecuación 2.5 se obtiene

$$\cos \theta_i = \cos \alpha_5 \cdot \cos \alpha_6 + \cos \beta_5 \cdot \cos \beta_6 \\ + \cos \gamma_5 \cdot \cos \gamma_6$$

Ec. 2.11

De la figura se deducen las siguientes relaciones

$$\cos \alpha_5 = \cos \beta \cdot \operatorname{sen} (180^\circ - \gamma) ; \cos \beta_5 = \cos \beta \cdot \cos (180^\circ - \gamma)$$

;

$$\cos \gamma_5 = \operatorname{sen} \beta$$

$$\cos \alpha_6 = 0 ; \cos \beta_6 = \cos \emptyset ; \cos \gamma_6 = \operatorname{sen} \emptyset$$

Entonces la ecuación 2.11 se transforma en la siguiente ecuación

$$\cos \theta_i = \cos \beta \cdot \cos (180^\circ - \gamma) \cdot \cos \emptyset + \operatorname{sen} \beta \cdot \operatorname{sen} \emptyset \quad \text{Ec.} \\ 2.12$$

Se hace uso de la identidad trigonométrica que relaciona el coseno de la resta de dos ángulos.

$$\cos (180^\circ - \gamma) = \cos 180^\circ \cdot \cos \gamma + \operatorname{sen} 180^\circ \cdot \operatorname{sen} \gamma$$

$$\cos (180^\circ - \gamma) = - \cos \gamma \quad \text{Ec. 2.13}$$

Sustituyendo la igualdad de la ecuación 2.13 en la ecuación 2.12 se obtiene

$$\cos \theta_i = \sin \beta \cdot \sin \phi - \cos \beta \cdot \cos \gamma \cdot \cos \phi \quad \text{Ec. 2.14}$$

CAPÍTULO III

**ECUACIÓN DEL
TIEMPO.**

La Tierra tiene períodos de rotación ligeramente irregulares que dependen principalmente de su aceleración o su desaceleración en distintas épocas del año, es decir, de su cercanía hacia el sol. En palabras más simples, lo anterior equivale a decir que un ciclo completo del movimiento aparente del sol en cualquier posición geográfica no es exactamente de 24 horas, sino que es un poco más en enero (perihelio) y un poco menos en julio (afelio).

Debido a lo anterior, es necesario, al determinar el tiempo solar a partir del tiempo civil considerar esas pequeñas variaciones que son representadas mediante la ecuación del tiempo.

3.1 Tiempo solar y tiempo civil.

El tiempo solar es el tiempo real del movimiento aparente del sol visto desde una posición geográfica que puede medirse mediante relojes de sol y es con lo que se determina el ángulo horario mediante la siguiente ecuación:

$$T.S. = 12 \pm \frac{\omega}{15} \quad \text{Ec. 3.1}$$

El signo negativo se utiliza para antes del mediodía.

El tiempo civil es el tiempo convencional medido por los relojes mecánicos o electrónicos. Actualmente ya no usamos relojes solares, por ello, utilizaremos la ecuación del tiempo, la cual relaciona el tiempo civil con el tiempo solar; y así, poder determinar el ángulo horario.

Se debe considerar otro factor en el tiempo civil; el desfase entre la longitud geográfica y el huso horario.

3.2 Longitud geográfica y husos horarios.

La longitud es una coordenada geográfica medida en un ángulo formado entre el meridiano de Greenwich y el meridiano local de un lugar, se divide en dos partes, Este y Oeste abarcando desde 0° hasta 180° .

Se le llama huso horario a cada una de las 24 zonas horarias en forma de huso trazadas convencional y arbitrariamente sobre la superficie terrestre con los polos geográficos como extremos. Cada huso está separado de sus meridianos vecinos por una longitud de 15° . Los husos están enumerados de 0 a 23 –de Este a Oeste- a partir del meridiano de Greenwich. Este meridiano, elegido de forma

arbitraria para determinar las longitudes, debe su nombre a la localidad inglesa tomada como referencia.



Figura 3.1 Husos horarios de la República Mexicana.

La hora local se obtiene añadiendo a la hora universal – la del meridiano de Greenwich – un número de horas correspondiente al número del huso. Si se pasa del duodécimo huso, es necesario restar un día al calendario universal. La línea internacional de cambio de fecha no coincide exactamente con el meridiano 180° (el antimeridiano de Greenwich) para no separar desde un punto de vista horario algunos archipiélagos situados sobre dicho meridiano. En principio, cada país adopta la hora local del huso que contiene la mayoría de su territorio. No obstante, existen excepciones a esta regla, como por

ejemplo España, Que adopta el horario centroeuropeo correspondiente al huso vecino. Por lo tanto, la longitud de una localidad no coincide con la longitud de su huso horario.

En México se han adoptado tres husos horarios: el correspondiente al Tiempo del Pacífico (longitud 120° Oeste), al Tiempo de la Montaña (longitud 105° Oeste) y al Tiempo del Centro (longitud 90° Oeste)¹. En la figura 3.1 se muestra el mapa de la República Mexicana con la distribución por estados de los tres husos horarios.

3.3 Ecuación del tiempo.

En la mayoría de los cálculos solares se requiere la hora solar, mientras que los relojes indican la hora civil. La hora solar es la que indica un reloj de Sol, i.e., el mediodía (12:00 hrs.) corresponde exactamente al paso del sol donde $\gamma = 0^\circ$ o $\gamma = 180^\circ$ por el meridiano. Como en la práctica esto haría que lugares relativamente cercanos tuvieran horas distintas, se han establecido los husos horarios. Esto evita que Mérida, el Distrito Federal, Querétaro, Morelia y Guadalajara tengan horas distintas,

¹ Para el horario de verano utilizamos también el tiempo del Este (longitud 75° Oeste).

por estar cada una de ellas más al poniente que la anterior. Como en cada una de estas ciudades la hora solar es diferente, pero la hora civil es la misma, existe una diferencia entre ellas, dada por la ecuación:

$$T.S. = T.C. - \frac{L_{loc} - L_{st}}{15} \quad \text{Ec. 3.2}$$

donde L_{st} corresponde a la longitud geográfica del meridiano de referencia, mientras que L_{loc} es la longitud geográfica del meridiano local. La tabla 5 del apéndice contiene los meridianos de referencia para la República Mexicana.

En el caso de Guadalajara, el meridiano de referencia tiene $L_{st} = 90^\circ$, mientras que $L_{loc} = 103^\circ$ (Vease tabla 17 del apéndice). Esto hace que Guadalajara este 13° al oeste del meridiano de referencia. Supongamos que en cierto momento, el sol se encuentra en este meridiano de referencia. (Que por cierto corresponde a Mérida, Yucatán). Entonces, en hora solar, en Mérida son las 12:00 horas. Como el sol “viaja”, a 15° por hora hacia el oeste, tardara $13/15$ de hora en llegar al meridiano de Guadalajara. Esto equivale a 52 minutos para que sea el mediodía solar. Y a la inversa, cuando es el mediodía solar, el reloj marca las 12:52 ¡Casi la una de la tarde!

Otra corrección necesaria está dada por el hecho de que el sol se adelanta y se atrasa respecto de la hora solar media, debido a dos efectos astronómicamente bien conocidos y estudiados: la excentricidad de la órbita terrestre y la inclinación del eje polar de la Tierra respecto de la órbita. Esto da lugar a otra corrección que se conoce como la ecuación del tiempo., que está dada por la expresión:

$$ET = 0.1236 \sin x - 0.0043 \cos x + 0.1538 \sin 2x + 0.0608 \cos 2x \quad \text{Ec. 3.3}$$

donde

$$x = \frac{360(N - 1)}{365.242}$$

Y N es el número de día del año. Entonces, la ecuación para convertir de hora civil a hora solar queda:

$$T.S. = T.C. - \frac{L_{loc} - L_{st}}{15} - ET \quad \text{Ec. 3.4}$$

La gráfica 2 del apéndice muestra una curva de la ecuación del tiempo, según las ecuaciones anteriores y en la tabla 18 se muestran los valores de ET para cada día del

año. Nótese que el sol se “atrasa” o se “adelanta”, según la fecha, hasta más de 15 minutos, respecto de la hora solar media. Aunque para cálculos aproximados se puede despreciar la ecuación del tiempo, en términos generales no es despreciable esta corrección.

La ecuación del tiempo se traduce físicamente, por ejemplo, en que el mediodía solar varía de una fecha a otra, efecto que se suma a la variación debida al meridiano de referencia. Por otro lado, la combinación de la ecuación del tiempo, junto con el de la declinación solar a lo largo del año (efectos separados que no coinciden) y otros factores que no expondremos, se traducen en una variación en las horas de salida y puesta del sol, todavía mayor que lo anterior. Nótese que, aunque el día más “largo” es en el solsticio de verano y el más “corto” en el de invierno, estos no coinciden con las fechas extremas de salida y puesta del sol.

CAPÍTULO IV

**PRINCIPIOS DE
TRANSFERENCIA DE
CALOR.**

La transferencia de calor se define como la transmisión de energía de una región a otra, resultado de la diferencia de temperatura existente entre ellas. Puesto que las diferencias de temperaturas existen sobre todo el universo, los fenómenos de flujo de calor son universales; sin embargo el flujo de calor está regido por una combinación de varias leyes de la física independientes.

La transferencia de calor generalmente reconoce tres modelos distintos de transferencia de calor: conducción, convección y radiación.

4.1 Transferencia de calor por conducción.

La conducción es un proceso mediante el cual fluye el calor desde una región de temperatura alta a una región de temperatura baja debido al contacto directo de las moléculas del material; puede aparecer en los sólidos, líquidos y gases. Sin embargo, en el caso de líquidos y gases que puedan estar en circulación, la conducción se encuentra normalmente en combinación con la convección.

Por consiguiente, la conducción pura tiene lugar fundamentalmente en los sólidos opacos, en donde el movimiento de masa se encuentra impedido y la transferencia de calor se lleva desde la región de mayor

temperatura hacia la de menor temperatura. No se comprende en su totalidad el mecanismo exacto de la conducción de calor en los sólidos, pero se cree que se debe, en parte, al movimiento de los electrones libres que transportan energía cuando existe una diferencia de temperatura. Esta teoría explica porqué los buenos conductores eléctricos también tienden a ser buenos conductores de calor. En 1822, el matemático francés Joseph Fourier dio una expresión matemática precisa que hoy se conoce como ley de Fourier de la conducción del calor.

4.1.1 Ley de Fourier.

Esta ley afirma que la velocidad de conducción de calor a través de un cuerpo por unidad de sección transversal es proporcional al gradiente de temperatura que existe en el cuerpo (con el signo cambiado).

$$q = -K \frac{\partial T}{\partial x} \quad \text{Ec. 4.1}$$

q – flujo de calor por unidad de área.

K – conductividad térmica del material.

∂T – derivada de temperatura.

∂x – dirección del flujo y el área normal a éste.

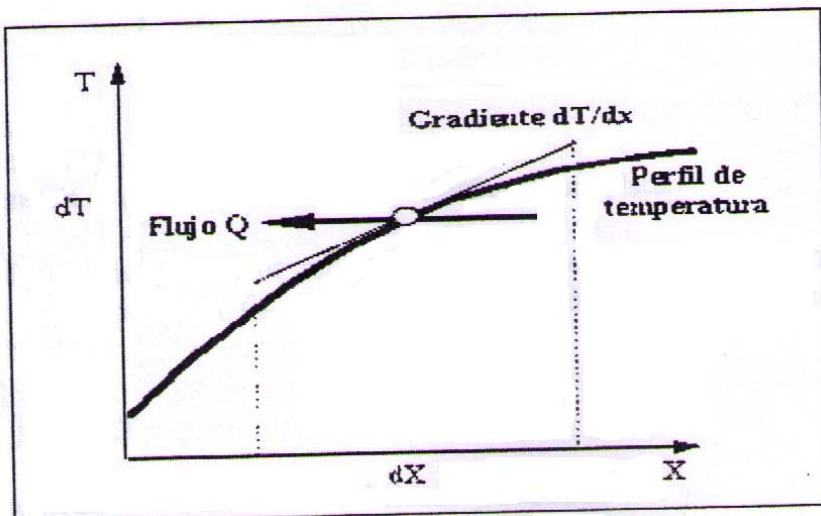


Figura 4.1 Dirección del flujo del calor por conducción y gradiente de temperatura.

La conductividad térmica es una propiedad física de cada sustancia, y puede variar ligeramente en función de la temperatura y de las características particulares del material, como puede ser el contenido de humedad de los materiales constructivos. En los casos que el material no sea homogéneo, como las fábricas de ladrillo, o que su estructura sea anisótropa, como es el caso de la madera, será preciso determinar la conductividad para la dirección del flujo considerado.

4.2 Transferencia de calor por convección.

La convección se produce a través del desplazamiento de materia entre regiones con diferentes temperaturas; por lo tanto para que exista transmisión de calor por convección se considera que el calor fluirá a través de un medio cuyas moléculas o partículas presentan movimiento relativo, es decir, un medio líquido, gaseoso, o más genéricamente un medio fluido.

Supongamos, por ejemplo, que calentamos desde abajo una cacerola llena de agua. El líquido más próximo al fondo se calienta por el calor que se ha transmitido por conducción a través de la cacerola. Al expandirse, su densidad disminuye y como resultado de ello el agua caliente asciende y parte del fluido más frío baja hacia el fondo, con lo que se inicia un movimiento de circulación. El líquido más frío vuelve a calentarse por conducción, mientras que el líquido más caliente situado arriba pierde parte de su calor por radiación y lo cede al aire situado por encima.

La transferencia de calor por convección usualmente se clasifica como convección natural o libre y convección forzada.

4.2.1 Ley de Newton del enfriamiento.

Considérese una placa cuya superficie se mantiene a una temperatura T_s (ver figura 4.2), la cual disipa el calor hacia un fluido cuya temperatura es T_∞ . La velocidad del fluido influye sobre la transferencia de calor en la superficie. El tipo de fluido; aire; agua o aceite influye también en el flujo de calor. Se deduce entonces que las propiedades y el estado del fluido tienen un efecto importante sobre la transferencia de calor.

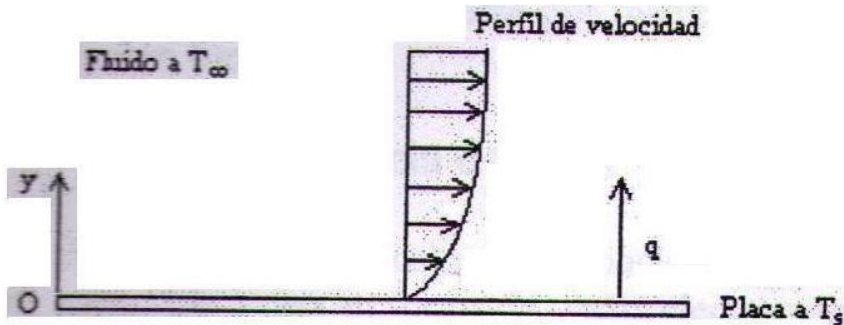


Figura 4.2 Transferencia de calor entre un fluido y la superficie de una placa.

Para calcular el flujo de calor entre la superficie de una placa con una temperatura T_s y un fluido a otra temperatura T_∞ , empleamos la ecuación conocida como ley de Newton del enfriamiento:

$$q = hA(T_s - T_\infty) = hA\Delta T \quad \text{Ec. 4.2}$$

A – área de la interfaz de contacto entre el fluido y el sólido.

H – coeficiente de transferencia de calor, Watt/m²-°K.

T_∞ - temperatura media del fluido.

T_s – temperatura de la pared sólida.

q = hAΔT = ΔT / (1/hA) – potencial/resistencia.

Debe notarse que está expresión, define al coeficiente de transferencia de calor h. Aún cuando la anterior ecuación aparenta ser sencilla, el proceso de transferencia de calor por convección es muy complejo, ya que el coeficiente h depende de muchos factores.¹

4.2.2 Transferencia de calor por convección natural.

Es debida al gradiente térmico, y se justifica: por la diferencia de densidad o de peso específico que aparece debido a las diferentes temperaturas. Esto produce que el fluido más frío circule hacia abajo y el más caliente hacia arriba, produciendo una corriente ascendente.

4.2.2.1 Viento sobre una placa plana.

¹ Ver capítulo V.

McAdams recomienda la siguiente expresión para determinar el coeficiente de transferencia de calor en una placa expuesta al viento. Es de la forma,

$$\bar{h}_v = 5.7 + 3.8\bar{V} \quad \text{Ec. 4.3}$$

En donde \bar{h}_v está en $\text{W/m}^2\text{-}^\circ\text{K}$ y la velocidad del viento \bar{V} está en m/s.

4.2.3 Transferencia de calor por convección forzada.

Se provoca el flujo de un fluido sobre una superficie sólida por medio de una fuerza externa como lo es una bomba, un ventilador u otro dispositivo mecánico. Es decir, cuando el fluido es obligado a moverse por medios mecánicos existe la transferencia de calor por convección forzada.

4.3 Transferencia de calor por radiación.

La transmisión de calor por radiación se caracteriza porque la energía se transporta de una superficie a otra en forma de ondas electromagnéticas, que se propagan en línea recta a la velocidad de la luz y no requieren de un medio físico para transmitirse. Mientras que en la conducción y la convección era precisa la existencia de un medio material para transportar la energía, en la radiación el calor se

transmite a través del vacío, o atravesando un medio transparente como el aire.

Cuando la radiación incide sobre un cuerpo, es parcialmente absorbida, parcialmente reflejada y parcialmente transmitida.

La relación entre energía absorbida, la energía reflejada y la energía transmitida es:

$$\alpha + \rho + \tau = 1 \quad \text{Ec. 4.4}$$

α - absorptancia, esto es, la fracción de la radiación incidente absorbida por el cuerpo.

ρ - reflectividad, esto es, la fracción de la radiación incidente reflejada por la superficie del cuerpo.

τ - transmisividad, esto es, la fracción de la radiación incidente transmitida a través del cuerpo.

La mayoría de los materiales sólidos que se encuentran, absorben prácticamente toda la radiación en una capa superficial muy delgada, menor de 1.3 mm de profundidad.

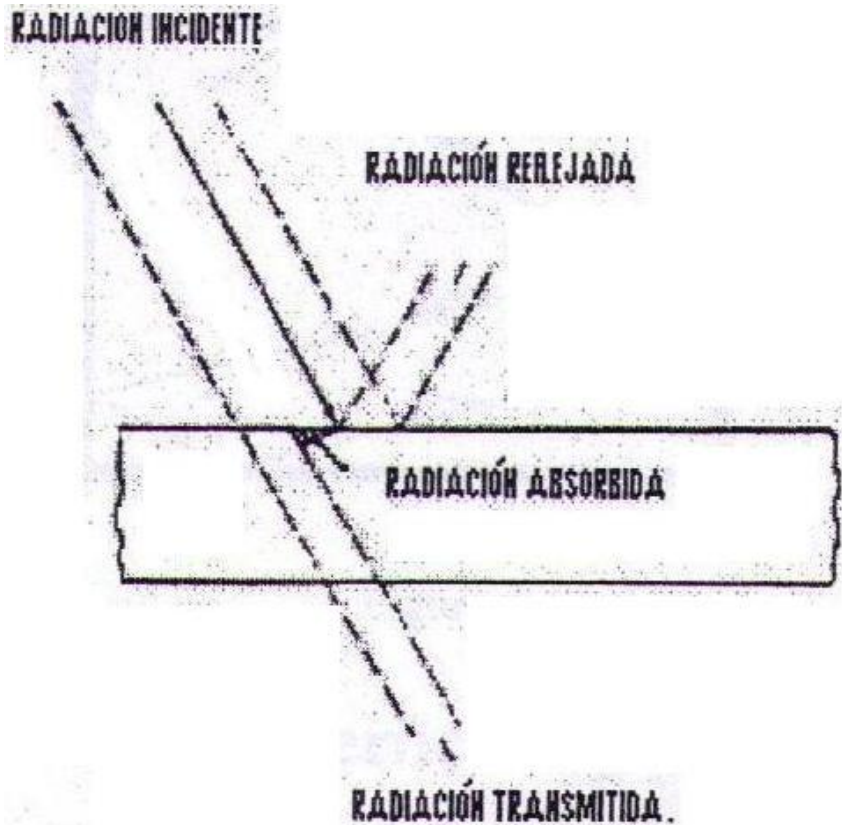


Figura 4.3 Reflexión, absorción y transmisión de la radiación.

Por lo tanto, las superficies opacas solo pueden absorber o reflejar la radiación incidente. Generalmente, las superficies mates y rugosas absorben más calor que las superficies brillantes y pulidas, y las superficies brillantes reflejan más energía radiante que las superficies mates. Además, las sustancias que absorben mucha radiación también son buenos emisores (superficie negra ideal o cuerpo negro $\Rightarrow \epsilon = 0$).

Algunas sustancias, entre ellas muchos gases y el vidrio, son capaces de transmitir grandes cantidades de radiación. Se observa experimentalmente que las propiedades de absorción, reflexión y transmisión de una sustancia dependen de la longitud de onda de la radiación incidente. El vidrio, por ejemplo, transmite grandes cantidades de radiación ultravioleta, de baja longitud de onda, pero es un mal transmisor de los rayos infrarrojos, de alta longitud de onda.

4.3.1 Cuerpo negro.

No todas las superficies emiten o absorben la misma cantidad de energía radiante cuando se calientan a la misma temperatura. Un cuerpo que absorba o emita a una temperatura determinada la máxima cantidad de energía se denomina superficie negra o simplemente cuerpo negro.

Un cuerpo negro perfecto no existe en la realidad, sino que es ente ideal que se utiliza como referencia respecto a otros radiadores. No obstante, existen numerosas superficies que son cuerpos negros casi perfectos, sobre todo para radiaciones de onda larga, por lo que para casos prácticos son considerados como tales con suficiente exactitud.

Sin embargo, un cuerpo negro se puede sustituir con gran aproximación por una cavidad con una pequeña abertura (Ver figura 4.4). La energía radiante incidente a través de la abertura, es absorbida por las paredes en múltiples reflexiones y solamente una mínima proporción escapa (se refleja) a través de la abertura. Podemos por tanto decir, que toda la energía incidente es absorbida.

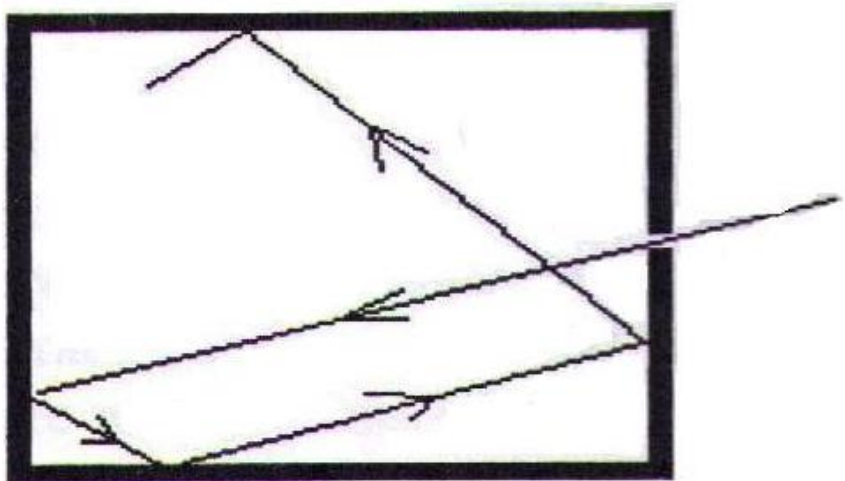


Figura 4.4 Simulación de un cuerpo negro a través de una caja con una pequeña abertura por donde entra un haz de luz.

4.3.2 Propiedades de las superficies opacas.

La emitancia y la absortancia monocromáticas están relacionadas entre sí a través de la ley de Kirchhoff,

$$\alpha_\lambda = \varepsilon_\lambda$$

donde

α_λ – es la absorbancia hemisférica monocromática.

ε_λ – es la emitancia hemisférica monocromática.

Está igualdad solamente es válida cuando la radiación hemisférica incidente está uniformemente polarizada y distribuida a través de todos los ángulos.

Aun cuando α y ε parecen no estar relacionadas entre sí, existen algunos casos particulares en que estás son numéricamente iguales:

$$\alpha = \varepsilon \quad \text{Ec. 4.5}$$

A la luz de los conceptos enunciados anteriormente es evidente que, para un material opaco,

$$\rho + \alpha = 1 \quad \text{Ec. 4.6}$$

y para un cuerpo gris ($\alpha = \varepsilon$),

$$\rho = 1 - \varepsilon \quad \text{Ec. 4.7}$$

4.3.3 Superficies selectivas.

Para que un colector sea eficiente térmicamente, se requiere que absorba la máxima cantidad posible de radiación en el espectro solar y emita la mínima posible a mayores longitudes de onda. Una superficie, selectiva debe tener una alta absorción monocromática en el espectro solar – en el intervalo de 0.3 a 2.5 μm – y una emisión monocromática muy baja en el infrarrojo para poderlo utilizar en colectores solares. En otras palabras, en el espectro solar debe ser no reflejante, mientras que a longitudes de onda mayores debe comportarse como un reflector perfecto. La figura 4.5 muestra las características esenciales de una superficie semigris o selectiva ideal, con una reflectancia uniforme de 0.05 por debajo de 2.5 de μm y 0.95 por encima de esta misma longitud de onda. Para aplicaciones en que la temperatura sea hasta de 300 $^{\circ}\text{K}$ el punto de transición entre absorción y la reflexión ocurre alrededor de 2.5 μm . Sin embargo, este punto se mueve hacia menores longitudes de onda a medida que la temperatura de operación del colector aumenta.

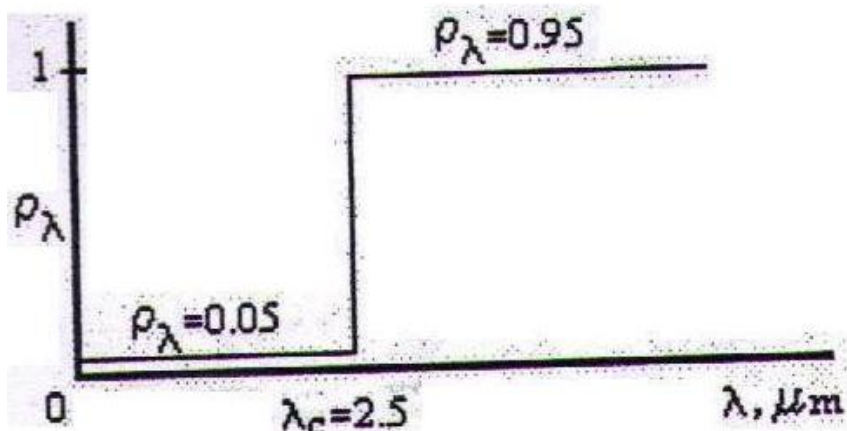


Figura 4.5 Características espectrales de una superficie selectiva ideal.

Dado que sólo las superficies con alta conductividad térmica tienen una emitancia térmica baja, la base para cualquier superficie selectiva de baja emitancia en el infrarrojo debe ser usualmente metálica. Así, un plástico o un vidrio primero se metaliza. Lo anterior conduce a tres tipos fundamentales de superficies selectivas:

- Cuando se aplica adicionalmente a la base una película delgada que absorbe la radiación solar y transmite la infrarroja.
- Cuando la superficie metálica se convierte químicamente en un compuesto que tenga las propiedades del tipo (a).

c) Cuando la topología de la superficie se ajusta para lograr las propiedades ópticas deseadas. Por ejemplo, una simple superficie lisa con corrugación en forma de V, puede diseñarse para que la radiación solar incidente experimente sólo dos reflexiones antes de salir de la V. Puede demostrarse que este fenómeno incrementa la absortancia "media" de la superficie del material. A cualquier superficie selectiva se le pueden mejorar sustancialmente sus propiedades con esta técnica. La figura 4.6 ilustra en forma esquemática las múltiples absorciones que se obtienen con varios ángulos de incidencia de la radiación solar cuando las V's tienen un ángulo de 30° .

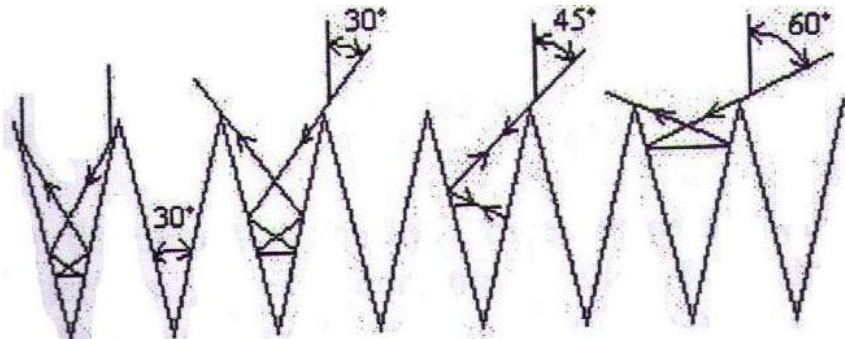


Figura 4.6 Comportamiento de la radiación incidente en una superficie con corrugaciones en V.

La tabla 19 en el apéndice muestra algunos valores de la absortancia y la emitancia a distintas temperaturas.

4.3.4 Radiación en medios semitransparentes.

En el caso de las superficies opacas, la suma de la absortancia y la reflectancia debe ser igual a la unidad; pero si la superficie es transparente a la radiación incidente, la suma de la absortancia, la reflectancia y la transmitancia debe ser igual a la unidad.

La teoría electromagnética permite predecir la reflectancia monocromática en la dirección especular de superficies pulidas que se encuentran física y químicamente limpias. La energía radiante que incide o emana de una superficie puede descomponerse en una componente paralela y en otra perpendicular al plano de incidencia, como se ilustra en la figura 4.7. Así, la reflectancia especular correspondiente a cada componente se define como el cociente de la intensidad monocromática reflejada. La figura 4.8 define los ángulos que se emplearán en el análisis de la reflexión y transmisión de la radiación especular. El ángulo θ_i se conoce como el ángulo de incidencia, mientras que el ángulo θ_r corresponde al ángulo de refracción. Ambos están relacionados entre sí con los

índices de refracción de los dos medios por la ley de Snell.
Esto es,

$$\frac{\operatorname{sen}\theta_i}{\operatorname{sen}\theta_r} = \frac{n_r}{n_i} n \quad \text{Ec. 4.8}$$

En donde n_i y n_r son los índices de refracción de cada una de las sustancias que forman la interfase y n es el cociente de ellos. La tabla 20 del apéndice muestra distintos valores del índice de refracción para varias sustancias en el intervalo visible.

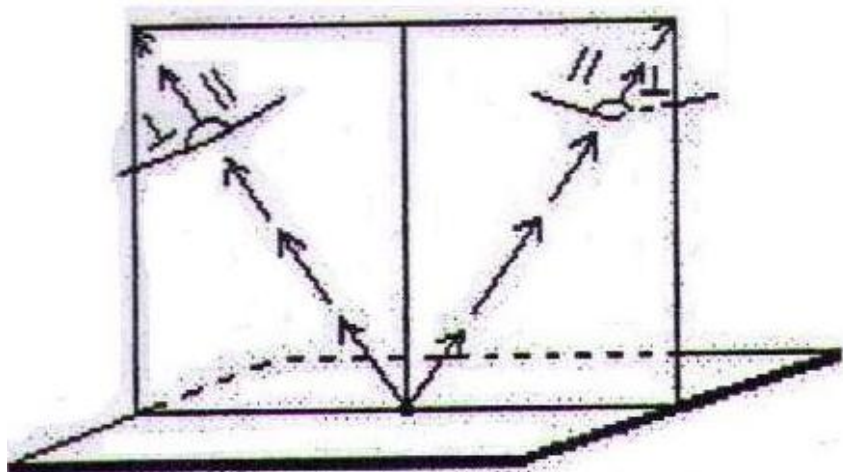


Figura 4.7 Representación de las componentes de polarización para el haz incidente y el haz reflejado.

Los componentes de polarización perpendicular y paralela de la reflectancia especular pueden calcularse, respectivamente por las expresiones

$$\rho_{\perp} = \frac{\sin^2(\theta_i - \theta_r)}{\sin^2(\theta_i + \theta_r)} \quad \text{Ec. 4.9}$$

$$\rho_{\parallel} = \frac{\tan^2(\theta_i - \theta_r)}{\tan^2(\theta_i + \theta_r)} \quad \text{Ec. 4.10}$$

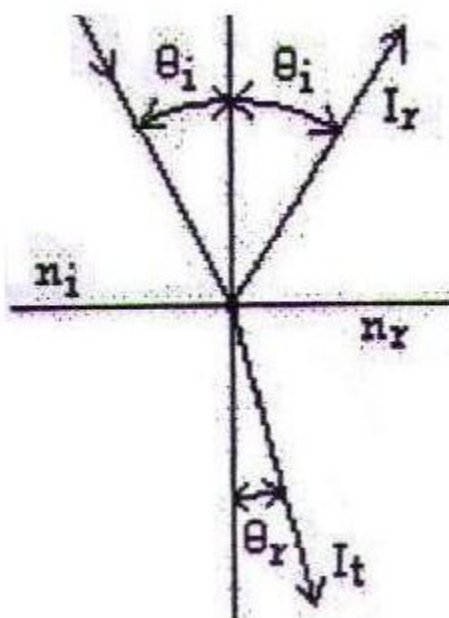


Figura 4.8 Haces de radiación incidente y reflejado en una interfase.

En términos del ángulo de incidencia θ_i solamente, las ecuaciones anteriores quedan

$$\rho_{\perp} = \left[\frac{(n^2 - \sin^2 \theta_i)^{\frac{1}{2}} - \cos \theta_i}{(n^2 - \sin^2 \theta_i)^{\frac{1}{2}} + \cos \theta_i} \right]^2 \quad \text{Ec. 4.11}$$

$$\rho_{\parallel} = \left[\frac{n^2 \cos \theta_i - (n^2 - \sin^2 \theta_i)^{\frac{1}{2}}}{n^2 \cos \theta_i + (n^2 - \sin^2 \theta_i)^{\frac{1}{2}}} \right]^2 \quad \text{Ec. 4.12}$$

Estas expresiones se conocen como las ecuaciones de Fresnel. Para incidencia normal ($\theta_i = 0$).

$$\rho_{\perp} = \rho_{\parallel} = \frac{(n-1)^2}{(n+1)^2} \quad \text{Ec. 4.13}$$

y para incidencia de lado ($\theta_i = \pi/2$)

$$\rho_{\perp} = \rho_{\parallel} = 1 \quad \text{Ec. 4.14}$$

Si la radiación incidente está uniformemente polarizada entonces los dos componentes son de igual intensidad. En este caso, la reflectancia especular monocromática es el promedio de ambas.

$$\rho(\theta_i) = \frac{1}{2}(\rho_{\perp} + \rho_{\parallel}) \quad \text{Ec. 4.15}$$

En el caso de la cubierta de un colector se tienen dos interfaes. Suponiendo que estas son con aire por ambos lados y que la absorcin es despreciable $(1 - \rho)$ del haz de radiacin incidente a la cubierta llega a la segunda interfase. De esta cantidad, $(1 - \rho)^2$ pasa a travs de la segunda interfase $(1 - \rho)\rho$ se refleja de regreso hacia la primera como se muestra en la figura. El proceso continua para cada componente de polarizacin. Sumando los flujos de radiacin que atraviesan la cubierta se obtiene las componentes de polarizacin de la transmitancia de la cubierta,

$$\tau_{r.1} = (1 - \rho)^2 + (1 - \rho)^2\rho^2 + (1 - \rho)^2\rho^4 + \dots$$

$$= (1 - \rho)^2 \sum_{n=0}^{\infty} \rho^{2n} = \frac{(1 - \rho)}{(1 + \rho)}$$

$$\tau_{r.1} = \frac{(1 - \rho)}{(1 + \rho)} \quad \text{Ec. 4.16}$$

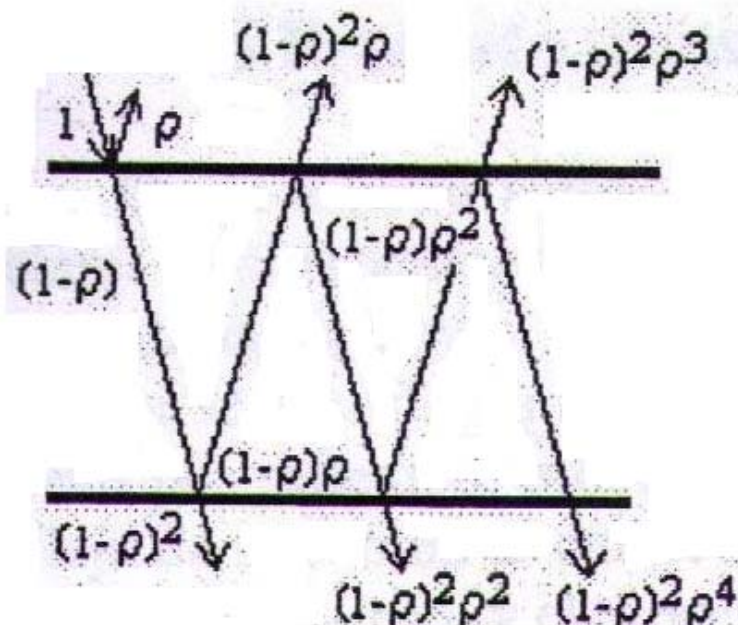


Figura 4.9 Transmisión a través de una cubierta.

Mediante un análisis similar puede demostrarse que para n cubiertas del mismo material,

$$\tau_{r,n} = \frac{1-\rho}{1+(2n-1)\rho} \quad \text{Ec. 4.17}$$

En el análisis anterior se supuso que la absorción en la cubierta es insignificante. Sin embargo, la realidad es que cuando pasa a través de un medio parcialmente transparente, una fracción de la radiación incidente es absorbida. La disminución en intensidad puede describirse suponiendo que la atenuación es proporcional a la intensidad local en el medio. Si $I(x)$ es la intensidad de la radiación después de que ha corrido una distancia x en el medio, la ley de Bouger indica que

$$-dI(x) = I(x)Kdx$$

En donde K es el coeficiente de extinción, el cual se supone constante. Integrando la expresión anterior entre 0 y L se obtiene que

$$\tau_a = \frac{I_L}{I_0} = e^{-KL} \quad \text{Ec. 4.18}$$

En donde L es la longitud de la trayectoria que sigue la radiación en el medio y τ_a es la transmitancia considerando únicamente absorción.

También se puede emplear la ecuación siguiente,

$$\tau_a = e^{\frac{32L}{\cos\theta_r}} \quad \text{Ec. 4.19}$$

Los efectos de la reflexión y la absorción sobre la transmitancia pueden tomarse en cuenta meramente multiplicando las dos transmitancias τ_r y τ_a .

$$\tau = \tau_r \tau_a \quad \text{Ec. 4.20}$$

4.3.5 Producto transmitancia-absortancia.

Un parámetro sumamente importante en el diseño y evaluación de los colectores solares es el producto ($\tau\alpha$) del conjunto cubierta-placa de absorción. Como se muestra en el esquema de la figura 4.10, una fracción $\tau\alpha$ de la energía incidente sobre la cubierta del colector se absorbe en la placa de absorción, mientras que una fracción $\tau(1-\alpha)$ regresa de nuevo por reflexión, probablemente difusa, hacia la cubierta. Una cantidad $\tau(1-\alpha)\rho_d$ se refleja de nuevo en la cubierta hacia la placa de absorción. En esta última se absorbe una fracción $\tau\alpha(1-\alpha)\rho_d$ y el proceso continúa. Según este razonamiento,

$$\begin{aligned}
 (\tau\alpha) &= \tau\alpha + \tau\alpha(1-\alpha)\rho_d + \tau\alpha(1-\alpha)^2\rho_d^2 + \dots \\
 &= \tau\alpha \sum_{n=0}^{\infty} [(1-\alpha)\rho_d]^n = \frac{\tau\alpha}{1-(1-\alpha)\rho_d}
 \end{aligned}$$

$$(\tau\alpha) = \frac{\tau\alpha}{1-(1-\alpha)\rho_d} \quad \text{Ec. 4.21}$$

donde ρ_d es la reflectancia difusa y es,

$$\rho_d = \tau_a - \tau \quad \text{Ec. 4.22}$$

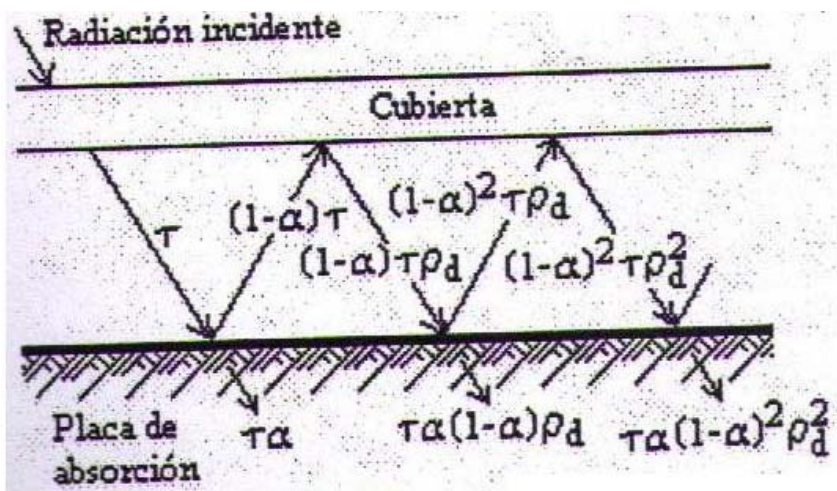


Figura 4.10 Absorción de la radiación solar en un colector.

La reflectancia difusa ρ_d puede estimarse suponiendo condiciones de reflexión especular en la cubierta para un ángulo de incidencia de 60° . Así, para 1, 2, 3 o 4 cubiertas, los valores de ρ_d son aproximadamente 0.16, 0.24, 0.29 y 0.32, respectivamente.

CAPÍTULO V

**COLECTORES
SOLARES PLANOS.**

Un colector solar es una especie de intercambiador de calor que transforma la energía radiante en calor. La transferencia de energía se hace desde una fuente radiante (sol), hacia un fluido (agua o aire generalmente) que circula por los tubos o ductos del colector. El flujo de energía radiante que finalmente intercepta el colector, proviene básicamente del rango visible del espectro solar (longitudes de onda entre 0.35 y 0.75 μm) y es por naturaleza variable con el tiempo. En condiciones óptimas podemos esperar como máximo, flujos de 1100 W/m^2 . De esta forma, un análisis de colectores solares presenta problemas relacionados con radiación y flujos de energía pequeños y variables.

Dentro de los diversos tipos de colectores solares, los colectores solares planos son los más comunes. Estos pueden ser diseñados y utilizados en aplicaciones donde se requiere que la energía sea liberada a bajas temperaturas, debido a que la temperatura de operación de este tipo de colectores, difícilmente pasa los 100°C .

Las ventajas que podemos obtener de este tipo de colectores con respecto a los colectores de enfoque, que concentran la radiación solar; es que éstos utilizan la energía solar directa y difusa, no requieren movimiento continuo para dar seguimiento al sol, prácticamente no

necesitan mantenimiento y son mecánicamente de construcción más simple que los colectores concentradores. Las principales aplicaciones de estos dispositivos son en el campo del calentamiento de agua a nivel doméstico e industrial, acondicionamiento calorífico de edificios y secado de fruta y granos.

Las partes más importantes de un colector solar plano se presentan en la figura 5.1.

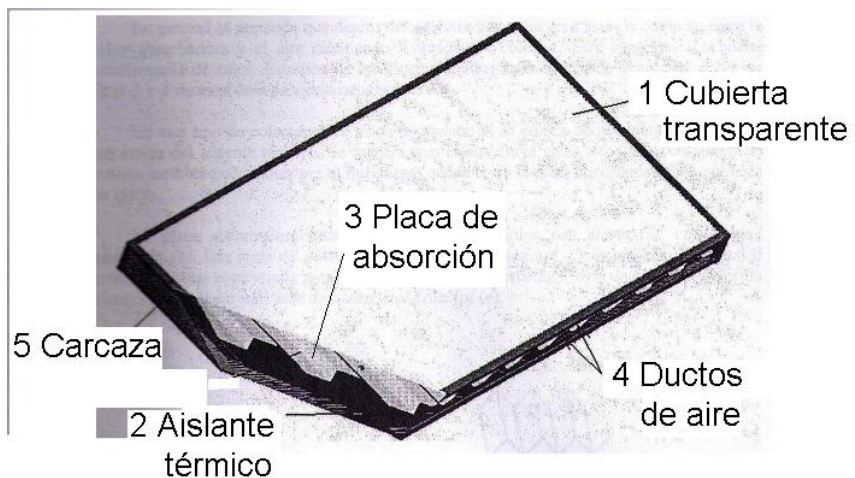


Figura 5.1 Partes de un colector solar plano.

Esta muestra un corte transversal de uno de estos dispositivos que maneja un líquido como fluido de trabajo. En el diagrama se puede observar que la energía solar incidente, tiene que atravesar una o varias capas de vidrio o algún otro material transparente adecuado, antes de

alcanzar la placa de absorción negra que es el elemento más importante del colector solar, al cual está unido el tubo o ducto. En esta placa, es donde la energía radiante es convertida en calor. Este calor, posteriormente es transferido por conducción hacia el fluido de trabajo (agua, aire), que es el que finalmente remueve la energía térmica del colector y la transfiere al tanque de almacenamiento térmico o al espacio o producto que va a ser calentado, según la aplicación que se le esté dando. El vidrio o su equivalente, además de permitir la entrada de la radiación solar hasta la placa de absorción, sirve también para minimizar las pérdidas de calor por radiación y convección hacia el medio ambiente por la parte superior del colector.

El aislante térmico (espuma de poliuretano, poliestireno, lana de fibra de vidrio o algún otro) colocado en la parte posterior y lados del colector, disminuye también las pérdidas de calor hacia el medio ambiente en esas partes. Todas las partes mencionadas se encuentran dentro de una caja que sirve como parte estructural del colector y que puede ser hecha de diversos materiales como lámina metálica, madera o plástico.

El diseño de cada colector depende fundamentalmente de la aplicación específica a la cual vaya a destinarse. Este debe ser diferente si por ejemplo se trata de calentar agua

para una alberca (22 - 30 °C), agua para uso doméstico (40 - 60 °C) o aire para el acondicionamiento calorífico de edificios (90 - 100 °C).

Algunos de los parámetros más importantes que se tienen que tomar en cuenta para su diseño y funcionamiento, son los siguientes: tipo de tubo o ducto, diámetro nominal, longitud, número de tubos y espaciamiento entre ellos; material, espesor y acabado de la placa de absorción o aleta; número y tipo de capas o cubiertas transparentes; tipo de aislante y espesor; tipo de fluido de trabajo y flujo de masa del mismo; inclinación y orientación del colector; condiciones ambientales como velocidad del viento y temperatura del aire y, por supuesto, la intensidad de la radiación solar.

5.1 Tipos de colectores solares planos.

Los colectores solares planos pueden ser divididos en dos categorías básicas: los que utilizan como fluido de trabajo un líquido (agua) y los que utilizan un gas (aire). En general los que calientan aire manejan flujos mucho más grandes que los que calientan agua. También podemos decir que cuando se trabaja con un líquido, este fluye normalmente por un tubo adherido a la placa absorbadora o aleta; mientras que cuando se utiliza un gas, este fluye

por un ducto que forma parte de la placa de absorción y que además puede tener muy diversas formas.

5.1.2. Placas absorbedoras para calentamiento de gases.

Existe un gran número de configuraciones de placas de absorción para el calentamiento de gases. En la figura 5.2, se muestra una serie de este tipo de placas absorbedoras.

En general se pretende que dentro del colector haya una gran área de contacto entre la placa absorbedora y el aire circulando a través del colector, para asegurar una buena transferencia de calor. Estudios de laboratorio indican que el área de absorción debe ser entre 2 y 4 veces el área de vidrio expuesto al sol.

En este tipo de colectores, la placa de absorción se coloca unos cuantos centímetros por arriba del aislante térmico, de manera que el aire fluya entre estos dos componentes, aunque también podría fluir por el hueco que queda entre la placa absorbedora y la cubierta de vidrio.

La placa absorbedora puede ser una simple lámina con aletas (a), una lámina

corrugada (b), una serie de ductos grandes hechos de lámina (c), un relleno de metal o mallas de forma entreverada para formar una matriz absorbedora (d) o una lámina en forma triangulada para dar más área de contacto al colector (e).

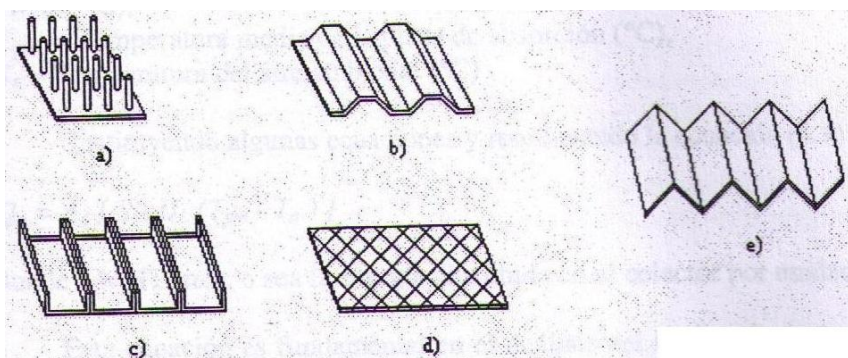


Figura 5.2 Diferentes tipos de placas de absorción para colectores solares planos que utilizan gas o aire como fluido de trabajo.

5.2 Balance de energía en un colector solar plano.

En estado estable, el funcionamiento de un colector solar piano se puede describir mediante un balance de energía. Este se puede representar de manera sencilla mediante la siguiente ecuación:

$$Q_{abs} = Q_u + Q_{(pérdidas)} + \frac{du}{dt} \quad \text{Ec. 5.1}$$

donde Q_{abs} es el calor total incidente absorbido por unidad de tiempo en el colector (W), Q_u el calor útil que finalmente se transfiere al fluido de trabajo (W), $Q_{(\text{pérdidas})}$ las pérdidas de calor hacia los alrededores por radiación, convección y conducción (W) y $\frac{du}{dt}$ la rapidez de el cambio de energía interna almacenada en el colector (W). El valor del último término es muy pequeño y generalmente despreciable.

Haciendo un desglose más detallado de los términos de la ecuación anterior, encontramos que cada uno de ellos puede ser representado por otra ecuación. Así,

$$Q_{\text{abs}} = H_T A_C (\tau \alpha) \quad \text{Ec. 5.2}$$

H_T - Energía solar incidente (W/m^2)

A_C - Área efectiva del colector (m^2)

$\tau \alpha$ - El producto de la trasmitancia del vidrio y la absorptancia de la placa colectora que representa la fracción de la radiación solar que es absorbida por el colector

$$Q_u = m C_p \frac{dT}{dt} \quad \text{Ec. 5.3}$$

$m C_p$ - la capacidad calorífica del fluido de trabajo ($\text{J/}^\circ\text{C}$)

dT/dt - la rapidez de cambio de temperatura con respecto al tiempo ($^{\circ}\text{C}/\text{s}$)

$$Q_{(\text{Pérdidas})} = U_L A_C (T_{pm} - T_a) \quad \text{Ec. 5.4}$$

U_L - Coeficiente global de pérdidas de calor por radiación, convección y conducción
($\text{W}/\text{m}^2 \cdot ^{\circ}\text{C}$),

T_{pm} - Temperatura media de la placa de absorción ($^{\circ}\text{C}$),

T_a - Temperatura del aire ambiente ($^{\circ}\text{C}$)

Sustituyendo algunas ecuaciones y reordenando la ecuación (4.1) tenemos que:

$$Q_u = A_C [S - U_L (T_{pm} - T_a)] \quad \text{Ec. 5.5}$$

donde $S = H_T(T_a)$, o sea la energía absorbida en el colector por unidad de área.

Esta ecuación es fundamental en el análisis del funcionamiento de un colector solar. El único problema es que el calor útil queda como función de la T_{pm} que es difícil de calcular o medir, debido a que ésta es función del diseño del colector y de variables que cambian continuamente con el tiempo como la radiación solar incidente y la temperatura del fluido de trabajo al entrar al colector. Debido a esto, parte de este capítulo se destina a

modificar la ecuación para que quede en términos de variables que si puedan ser calculadas o medidas más fácilmente.

Por otro lado, tenemos que la forma de medir el funcionamiento del colector es mediante la eficiencia de colección (η_c). Esta se define como la relación entre el calor útil y la energía solar incidente sobre el colector en un mismo período de tiempo. Analíticamente se representa,

$$\eta_c = \frac{Q_u}{H_T A_C} \quad \text{Ec. 5.6}$$

De la ecuación anterior, vemos que se hace necesario conocer el calor útil para poder calcular la eficiencia del colector. Si se quiere conocer Q_u por medio de la ecuación 5.5, primero se tienen que conocer las pérdidas de calor, que son función del coeficiente total de pérdidas de calor, U_L . Conociendo alguno de estos dos términos, Q_u o $Q_{\text{pérdidas}}$, podemos resolver la ecuación del balance de energía, dado que el calor absorbido lo podemos obtener por medición experimental y conociendo las características ópticas ($\tau\alpha$) de los materiales utilizados en la construcción del colector. A continuación se analiza cómo podemos evaluar alguna de las variables mencionadas para poder conocer el funcionamiento del colector.

5.3 Coeficiente total de pérdidas de calor.

Aunque aparentemente la ecuación 4.4, que representa las pérdidas de calor, es sencilla; la evaluación numérica del coeficiente total de pérdidas de calor (U_L) requiere de un análisis detallado. Debido a que es indispensable conocer el valor de U_L para poder evaluar el calor útil o las pérdidas de calor, a continuación se presenta un modelo matemático de cómo obtenerlo. El modelo toma en cuenta cómo contribuyen las distintas pérdidas de calor al coeficiente total, dando la oportunidad de analizar cada una por separado, y además hace los siguientes supuestos:

1. El colector opera en estado estable.
2. Los cabezales proveen un flujo uniforme por los tubos.
3. La absorción de la energía solar en las cubiertas es despreciable.
4. El flujo de calor a través de las cubiertas y el fondo del colector es unidimensional.
5. Las cubiertas son opacas a la radiación infrarroja.
6. La irradiación sobre la superficie del colector es uniforme.

7. El firmamento se comporta como un cuerpo negro que emite radiación infrarroja a una temperatura equivalente.

El proceso para calcular U_L se basa en un circuito térmico de un colector solar como el que se presenta en la figura 5.3.a y 5.3.b, que en este caso utiliza dos cubiertas de vidrio, c_1 y c_2 . Este nos muestra que, de la energía absorbida en el colector (S) a través de la placa absorbedora (p), que se encuentra a la temperatura T_p ; parte se convierte en calor útil (Q_u) y parte tiende a disiparse hacia los alrededores que se encuentran a la temperatura ambiente T_a , a través de las cubiertas de vidrio que se encuentran respectivamente a las temperaturas T_{c1} y T_{c2} . Esto también ocurre a través del fondo y lados del colector que se encuentran a una temperatura T_b . La cantidad de energía disipada depende de las diversas resistencias que vienen esquematizadas en el diagrama y que en este caso son 5.

De la figura 5.3.a, se puede observar que las resistencias R_1 , R_2 , R_3 y R_5 , son a la vez resistencias equivalentes que representan la oposición a las pérdidas de calor por convección ($1/h$) y radiación ($1/h_r$) a través del aislante térmico por la parte posterior y lados del colector. La R_5 es usualmente muy pequeña y por lo tanto despreciable. La

idea es tratar de obtener una resistencia equivalente (R_{eq}) como la que representa la figura 5.3.b. Esta resistencia es igual al inverso del coeficiente total de pérdidas de calor, $R_{eq} = 1/U_L$.

Podemos decir entonces que, que U_L es la suma de varios coeficientes de pérdidas de calor que se pueden expresar también como el inverso de sus resistencias, así:

$$U_{lados} + U_{fondo} + U_t = U_L \quad \text{Ec. 5.7}$$

donde U_t es el coeficiente total de transferencia de calor para la parte superior del colector, y es igual al inverso de la suma de las primeras tres resistencias,

$$U_t = \frac{1}{R_1 + R_2 + R_3} \quad \text{Ec. 5.8}$$

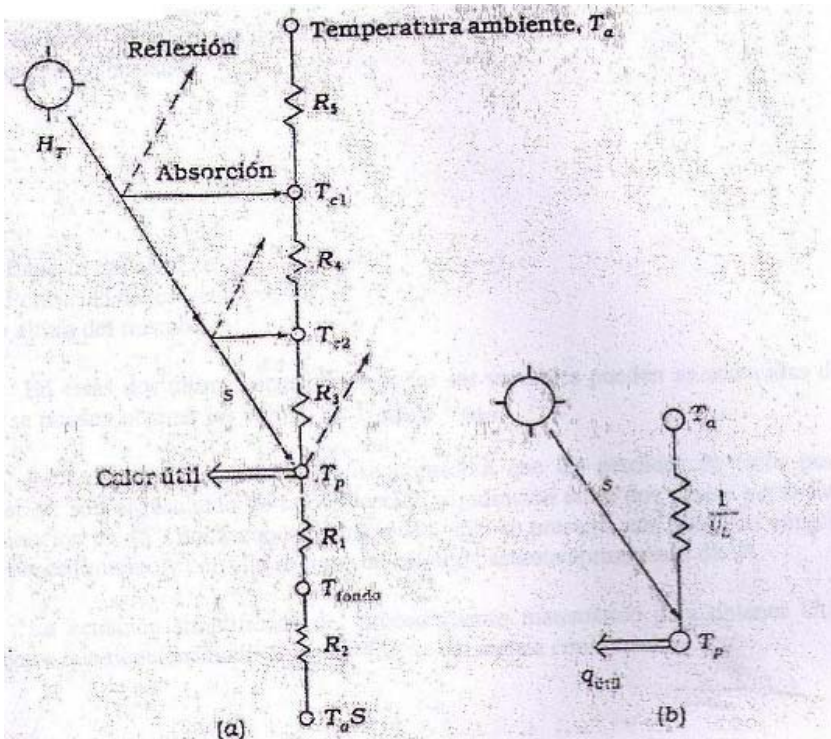


Figura 5.3 Circuito térmico para un colector plano con dos cubiertas. a) En términos de resistencias por conducción, convección y radiación. b) En términos de resistencias por placas.

y U_{fondo} y U_{lados} , son los coeficientes de pérdida de calor por conducción por el fondo y lados respectivamente que tienen que ver con R_4 . Además, estos coeficientes también tienen relación con las dimensiones del colector y el tipo y grosor del aislante utilizado de manera que podemos escribir las siguientes relaciones:

$$(U_{fondo} + U_{lados}) = \frac{1}{R_4} \quad \text{Ec. 5.9}$$

donde,

$$R_4 = \frac{1}{k_a}$$

$$U_{fondo} = \frac{1}{\frac{l}{k_a} + \frac{1}{h_\infty}} \quad \text{Ec. 5.10}$$

k_a = conductividad térmica del aislante

l = espesor del aislante

$$U_{lados} = \frac{1}{\frac{l}{k_a} + \frac{1}{h_\infty}} \quad \text{Ec. 5.11}$$

En estas dos últimas ecuaciones, todas las variables pueden ser conocidas de manera que se pueden obtener los valores de U_{fondo} y U_{lados} .

Para calcular el valor de U_t , se considera que las pérdidas de calor por la parte superior, son el resultado de la convección y radiación entre dos placas paralelas con una inclinación de 45° . Por razones de brevedad, solo se presenta una ecuación simplificada de ese procedimiento y con ella se tiene un cálculo bastante aproximado de U_t .

La ecuación simplificada del procedimiento matemático para obtener U_t para un colector que tiene una inclinación de 45° , se presenta a continuación:

$$U_t = \left(\frac{N}{\frac{\left(\frac{344}{T_p}\right)(T_p - T_a)}{(N+f)^{0.31}}} + \frac{1}{h_w} \right)^{-1} + \frac{\sigma(T_p + T_a)(T_p^2 + T_a^2)}{\frac{1}{\varepsilon_p + 0.0425N(1-\varepsilon_p)} + \frac{2N+f-1}{\varepsilon_c} - N} \quad \text{Ec. 5.12}$$

donde:

$$f = (1 - 0.04h_w + 0.0005h_w^2)(1+0.058N)$$

y h_w que es el coeficiente de transferencia de calor por convección debido al aire soplando sobre la cubierta de vidrio.

Los demás parámetros en estas ecuaciones son los siguientes: N que es igual al número de cubiertas de vidrio, ε_p la emitancia infrarroja de la placa, ε_c la emitancia infrarroja de la cubierta interior y σ la constante de radiación de Stefan-Boltzmann ($5.6697 \times 10^{-8} \text{ W/m}^2\text{-K}^4$).

Para calcular el valor de U_t a cualquier ángulo s , se utiliza la ecuación:

$$\frac{U_t}{U_{t,45^\circ}} = 1 - (s - 45)(0.00259 - 0.00144\epsilon_\rho) \quad \text{Ec. 5.14}$$

CAPÍTULO VI

DISEÑO DE UN COLECTOR SOLAR PLANO PARA UN SECADOR SOLAR.

6.1 Planteamiento del problema.

Se requiere aumentar la eficiencia de un secador solar tipo invernadero para poder secar eficientemente todo tipo de granos en la zona del Totonakapan, sierra nororiental de Puebla, donde la humedad del medio ambiente es muy elevada.

El secador es muy eficiente cuando hay irradiación solar, pero ineficiente si hay alta nubosidad o de noche, por lo que se requiere de un captador de mayor irradiación y un sistema acumulador de la energía solar captada para utilizarla cuando no haya irradiación.

La solución que aquí se propone es solamente la de anexarle un colector solar plano de 2 m de ancho para aumentar la irradiación.

6.2 Diseño del secador.

Las condiciones promedio en el Tenexate, municipio de Hueytamalco, Puebla durante agosto son:

Temperatura mínima: $T_{\min} = 17^{\circ}\text{C}$

Temperatura máxima: $T_{\max} = 37^{\circ}\text{C}$

Temperatura promedio: $T_m = 37^{\circ}\text{C}$

Irradiación promedio: $H_{Tm} = 17820.66 \text{ kJ-día/m}^2$

Latitud: $\phi = 20.15^\circ$

Ángulo horario al amanecer: $\omega_s = 95.26^\circ$

6.2.1 Materiales a emplear y sus propiedades.

Policarbonato:

Conductividad térmica: $K_{pol} = 0.13 \text{ W/m} \cdot \text{K}$

Espesor: $l_{pol} = 0.004 \text{ m}$

Emitancia: $\epsilon_{pol} = 0.8$

Índice de refracción: $n = 1.59$

Absorbedor de aluminio con capa de pintura negro mate:

Absortancia: $\alpha_{abs} = 0.98$

Emitancia: $\epsilon_{abs} = 0.9$

Recubrimientos de aluminio:

Conductividad térmica: $K_{al} = 210 \text{ W/m} \cdot \text{K}$

Espesor: $l_{al} = 2 \times 0.0005 \text{ m} = 0.001 \text{ m}$

Alma de plástico:

Conductividad térmica: $K_{plas} = 0.13 \text{ W/m} \cdot \text{K}$

Espesor: $l_{plas} = 0.002 \text{ m}$

Lana mineral:

Conductividad térmica: $K_{lan} = 0.038 \text{ W/m} \cdot \text{K}$

Espesor: $l_{lan} = 0.0285 \text{ m}$ para la parte del fondo y $l_{lan} = 0.0439 \text{ m}$ para los lados

Lámina galvanizada:

Conductividad térmica: $K_{galv} = 80 \text{ W/m} \cdot \text{K}$

Espesor: $l_{galv} = 0.0012 \text{ m}$

6.2.2 Condiciones de operación.

El colector solar plano debe ser capaz de quitar la humedad del ambiente proporcionando un calor útil suficiente para secar aproximadamente 20 kg de grano con una temperatura $t_f = 80 \text{ }^{\circ}\text{C}$.

Con la irradiación en Hueytamalco, 6 kg de café por metro cuadrado se secan en 10 días. Por tanto la energía necesaria que se emplea para deshumidificar 20 kg de grano de café sería de:

$$E_u = (10 \text{ días}) \left(\frac{20 \text{ kg}}{6 \frac{\text{kg}}{\text{m}^2}} \right) H_{Tm} =$$

$$(10 \text{ días}) \left(\frac{20 \text{ kg}}{6 \frac{\text{kg}}{\text{m}^2}} \right) \left(17820.66 \frac{\text{kJ}}{\text{m}^2 \cdot \text{día}} \right) = 594022 \text{ kJ}$$

Si se pretende secar más rápido, por ejemplo en 5 días, el calor útil que se requiere es:

$$Q_u = \frac{594022\text{kJ}}{5\text{días}} \left(\frac{1\text{día}}{24 \times 3600\text{seg}} \right) \approx 1.4 \text{ kW}$$

6.2.3 Cálculo de las propiedades ópticas del colector.

Calculando la altura solar en Hueytamalco ($\phi = 20.15^\circ$) el 15 de agosto ($N=227$) al mediodía solar ($\omega = 0^\circ$). De la tabla 2 obtenemos $\delta = 13.49$.

$$\begin{aligned} \beta &= \operatorname{sen}^{-1}(\cos 13.49^\circ \cos 20.15^\circ \cos 0^\circ \\ &\quad + \operatorname{sen} 13.49^\circ \operatorname{sen} 20.15^\circ) = 83.27 \end{aligned}$$

Calculando el ángulo de acimut con los datos obtenidos.

$$\begin{aligned} \gamma &= \cos^{-1} \left[\frac{1}{\cos 83.27} (\cos 20.15^\circ \operatorname{sen} 13.49^\circ \right. \\ &\quad \left. - \operatorname{sen} 20.15^\circ \cos 0^\circ \cos 13.49^\circ) \right] \approx 180^\circ \end{aligned}$$

Calculando ángulo de incidencia utilizando la ecuación 2.14 y con $\Phi = 70^\circ$, con los valores anteriores.

$$\theta_i = \cos^{-1}[\operatorname{sen} 83.27^\circ \operatorname{sen} 70^\circ - \cos 83.27^\circ \cos 180^\circ \cos 70^\circ] = 13.27^\circ$$

Calculando ángulo de refracción θ_r con la ecuación 4.8 y de la tabla 20 $n = 1.59$ (policarbonato).

$$\theta_r = \operatorname{sen}^{-1} \left[\frac{\operatorname{sen} 13.27^\circ}{1.59} \right] = 8.30^\circ$$

Utilizando las ecuaciones 4.9 y 4.10 para calcular las componentes de polarización de la reflectancia, se obtiene.

$$\rho_{\perp} = \frac{\operatorname{sen}^2(13.27^\circ - 8.30^\circ)}{\operatorname{sen}^2(13.27^\circ + 8.30^\circ)} = 0.0555$$

$$\rho_{\parallel} = \frac{\tan^2(13.27^\circ - 8.30^\circ)}{\tan^2(13.27^\circ + 8.30^\circ)} = 0.048$$

De la ecuación 4.16 las componentes de polarización de la transmitancia son.

$$\tau_{\perp} = \frac{(1-0.0555)}{(1+0.0555)} = 0.8948$$

$$\tau_{\parallel} = \frac{(1-0.048)}{(1+0.048)} = 0.9083$$

Sacando el promedio.

$$\tau_m = \frac{(0.8948+0.9083)}{2} = 0.9016$$

Empleando la ecuación 4.19 para calcular la fracción absorbida por la cubierta. El ancho de la cubierta es de 4 mm.

$$\tau_a = e^{\frac{32(0.004)}{\cos 8.30^\circ}} = 0.8785$$

De acuerdo con la ecuación 4.20, la transmitancia total es

$$\tau = (0.8785)(0.9016) = 0.7921$$

Calculando la reflectancia difusa con la ecuación 4.22.

$$\rho_d = 0.8785 - 0.7921 = 0.0864$$

Obteniendo el producto transmitancia-absortancia para el conjunto cubierta- absorbedor con la ecuación 4.21.

$$(\tau\alpha) = \frac{(0.7921)(0.98)}{1-0.0864(1-0.98)} = 0.7776$$

6.2.4 Cálculo de las dimensiones del colector.

Calculando las pérdidas globales en los 2 lados del colector, de la ecuación 5.11.

$$U_{lados} = \frac{2}{\frac{0.001}{210} + \frac{0.002}{0.13} + \frac{0.0439}{0.038} + \frac{0.0012}{80} + \frac{1}{10}} = 1.57 \frac{W}{m^2 \cdot ^\circ K}$$

Calculando las pérdidas globales en la parte baja del colector con la ecuación 5.10.

$$U_{fondo} = \frac{1}{\frac{0.001}{210} + \frac{0.002}{0.13} + \frac{0.0285}{0.038} + \frac{0.0012}{80} + \frac{1}{10}} = 1.16 \frac{W}{m^2 \cdot ^\circ K}$$

Calculando las pérdidas en la parte superior del colector.

Para la temperatura inicial T_1 tomaremos la temperatura máxima en Ayotoxco $T_{max} = 37^\circ C$, para la temperatura final T_f tomaremos la que debe alcanzar el colector, es decir, $t_f = 80^\circ C$ y se considerará $h_\infty = 10 W/m^2 \cdot ^\circ K$.

De la ecuación 5.12

$$f = (1 + 0.089h_\infty - 0.1166 h_\infty \varepsilon_{pol})(1 + 0.07866N)$$

$$f = (1 + 0.089 \cdot 10 - 0.1166 \cdot 10 \cdot 0.9)(1 + 0.07866 \cdot 1) = 0.9067$$

$$U_t = \left(\frac{1}{\frac{\frac{(344)}{(353)}(353-310)}{(1+0.9067)^{0.31}}} + \frac{1}{10} \right)^{-1} + \frac{5.67 \cdot 10^{-8} (353+310)(353^2+310^2)}{\frac{1}{0.8+0.0425 \cdot 1(1-0.8)} + \frac{2 \cdot 1 + 0.9067 - 1}{0.9} - 1} = \\ 12.33 \frac{W}{m^2 \cdot ^\circ K}$$

Calculando las pérdidas totales

$$U_L = 1.57 + 1.16 + 12.33 = 15.06 \frac{W}{m^2 \cdot ^\circ K}$$

Calculando la irradiación H_0 en Ayotoxco por día integrando la ecuación 1.3.

$$H_0 = \frac{24 \cdot 3600 \cdot I_0}{\pi} \left[1 + 0.033 \cos \frac{360N}{365.242} \right] \left[\cos \varphi \cos \delta \sin \omega_s + \frac{2\pi \omega_s}{360} \sin \varphi \sin \delta \right]$$

Calculando ω_s ($\beta = 0^\circ$) de la ecuación 2.8 y con los valores obtenidos.

$$\omega_s = \cos^{-1}(-\tan 13.49^\circ \tan 20.15^\circ) = 95.05^\circ$$

$$H_0 = \frac{24 \cdot 3600 \cdot 1353}{\pi} \left[1 + 0.033 \cos \frac{360 \cdot 1}{365.242} \right] \left[\cos 20.15^\circ \cos 13.49^\circ \sin 95.05^\circ + \frac{2\pi \cdot 95.05^\circ}{360} \sin 20.15^\circ \sin 13.49^\circ \right] = 40077.66 \frac{kJ}{m^2 \cdot \text{día}}$$

Calculando el coeficiente K_T con la ecuación 1.4.

$$K_T = \frac{17820.66}{40077.66} = 0.44$$

Calculando la irradiancia I_T en Ayotoxco.

$$I_T = K_T I_0$$

$$I_T = 0.44 \cdot 1353 = 595.32 \frac{W}{m^2}$$

Despejando y calculando el área del colector, de la ecuación 5.5.

$$A_C = \frac{Q_u}{I_T(\tau\alpha) - U_L(T_f - T_0)}$$

$$A_C = \frac{1400}{595.32(0.7776) - 15.06(80 - 37)} = -7.58 m^2$$

Considerando la máxima irradiancia $I_T \approx 1000 \text{ W/m}^2$.

$$A_C = \frac{1400}{1000(0.7776) - 15.06(80 - 37)} = 10.98 m^2$$

El área promedio seria de 1.7 m^2 .

La propuesta es de un colector de $1.22 \text{ m} \times 2 \text{ m}$. de área con un absorbedor acanalado con los lados a 45° para mayor eficiencia, ello nos da un área de 2.44 m^2 en la parte baja, más la de los lados que es aproximadamente de 2 veces $0.11 \text{ m} \times 2 \text{ m}$, es decir 0.44 m^2 , lo cual da un total de 2.88 m^2 .

Calculando la eficiencia teórica promedio del colector para la irradiancia máxima y la irradiancia promedio con la ecuación 5.6.

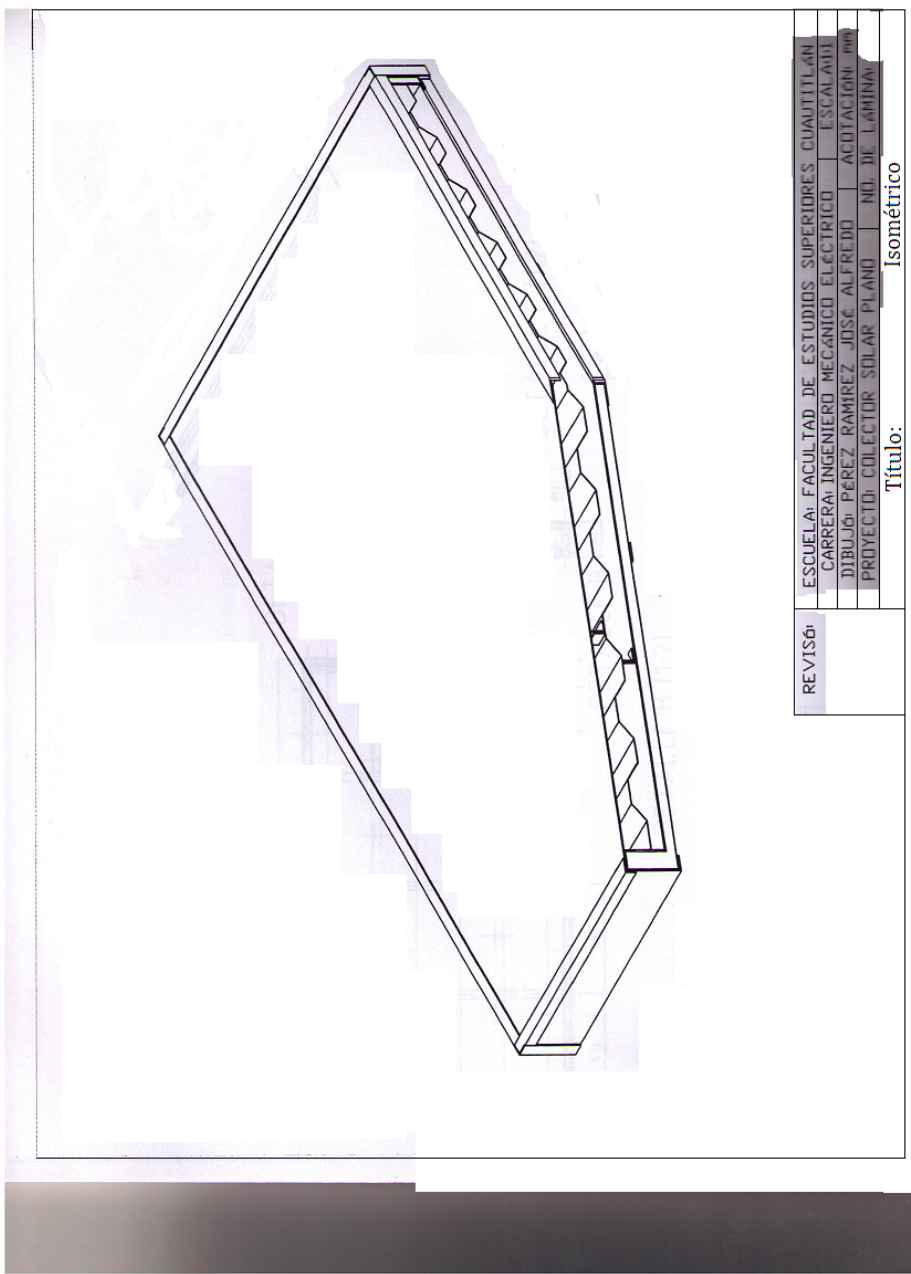
$$\eta_c = \frac{1400}{1000 \cdot 2.88} = 0.4861$$

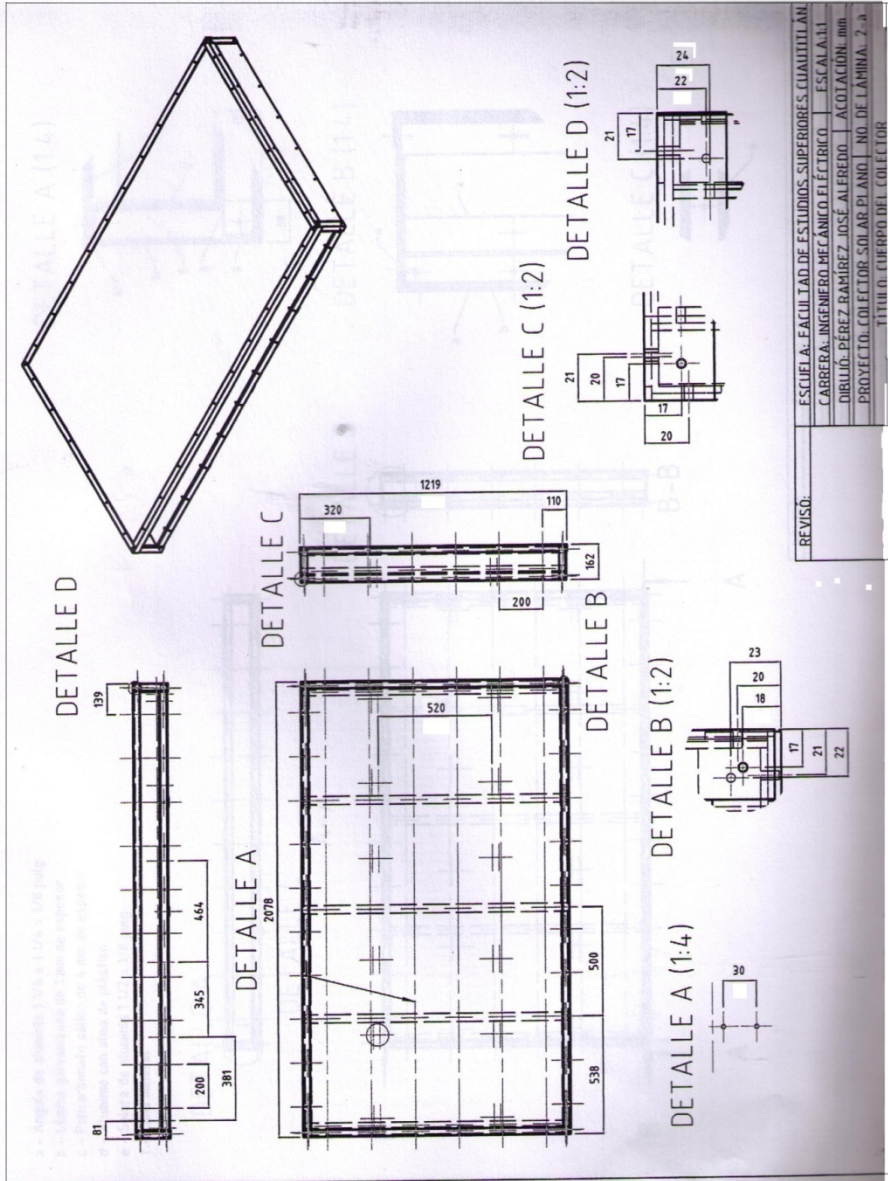
$$\eta_c = \frac{1400}{595.32 \cdot 2.88} = 0.8166$$

Entonces el rendimiento promedio del colector es teóricamente del 81.7 % y el rendimiento cuando la irradiancia es máxima es de 48.6 %.

CAPÍTULO VII

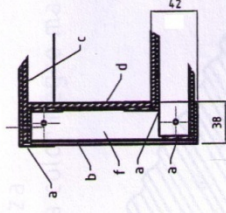
**PLANOS DEL
COLECTOR SOLAR
PLANO.**





- a - Ángulo de aluminio $1\frac{1}{4} \times 1\frac{1}{4} \times 1/8$ pulg
 b - Lámina galvanizada de 1 mm de espesor
 c - Policarbonato sólido de 4 mm de espesor
 d - Aluminio con alama de plástico
 e - Sollera de aluminio $1\frac{1}{2} \times 1/8$ pulg
 f - Lana mineral

DETALLE A (1:4)



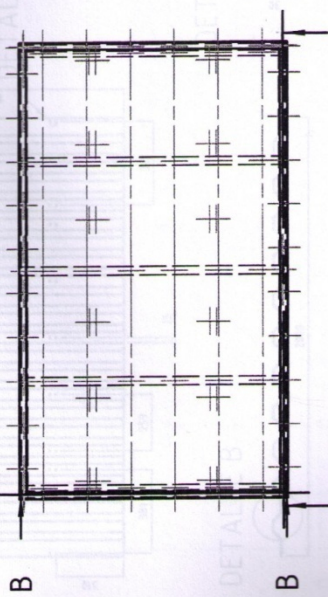
DETALLE A



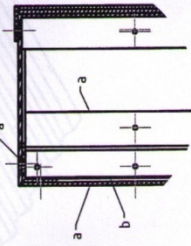
DETALLE C

A-A

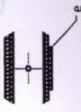
DETALLE B



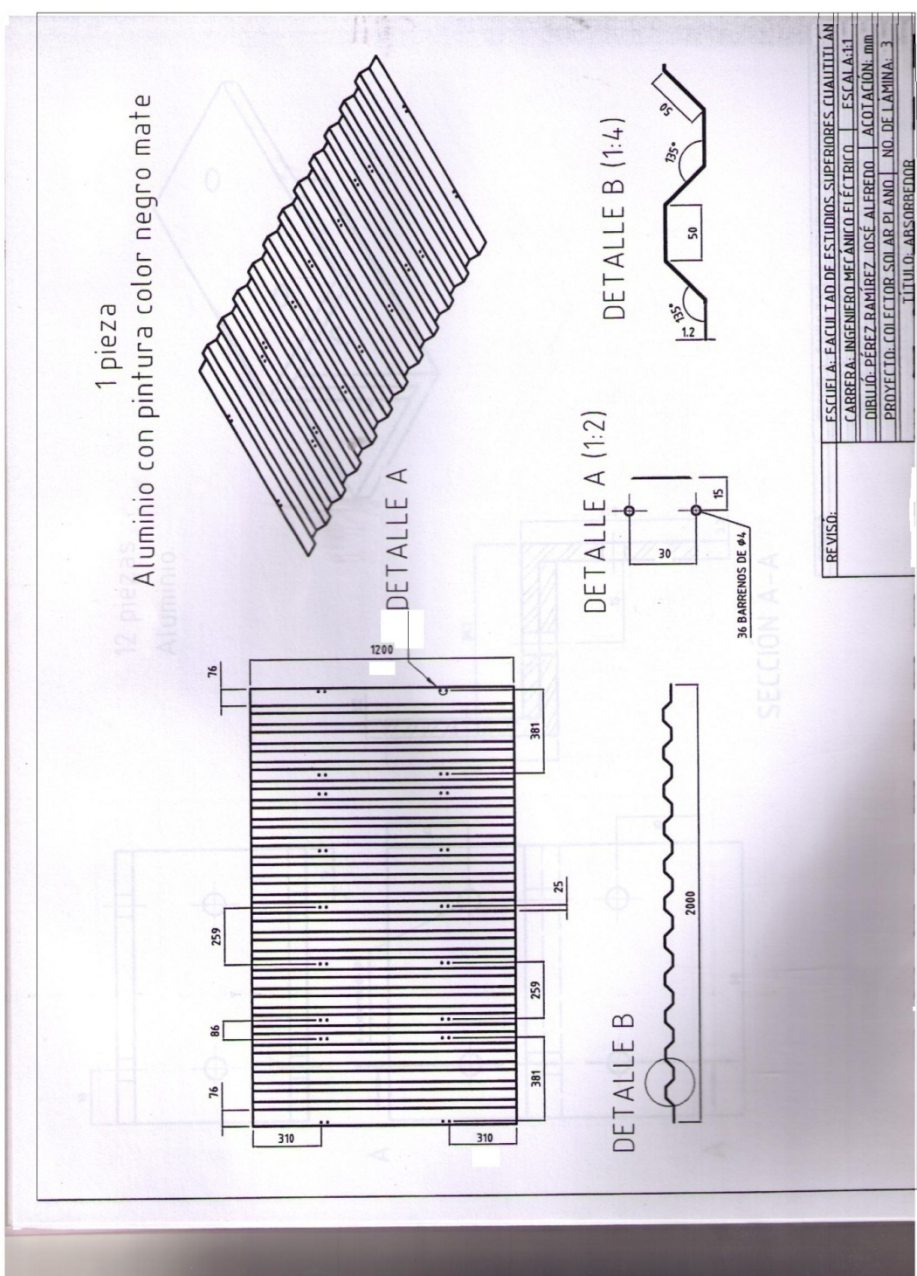
DETALLE B (1:4)

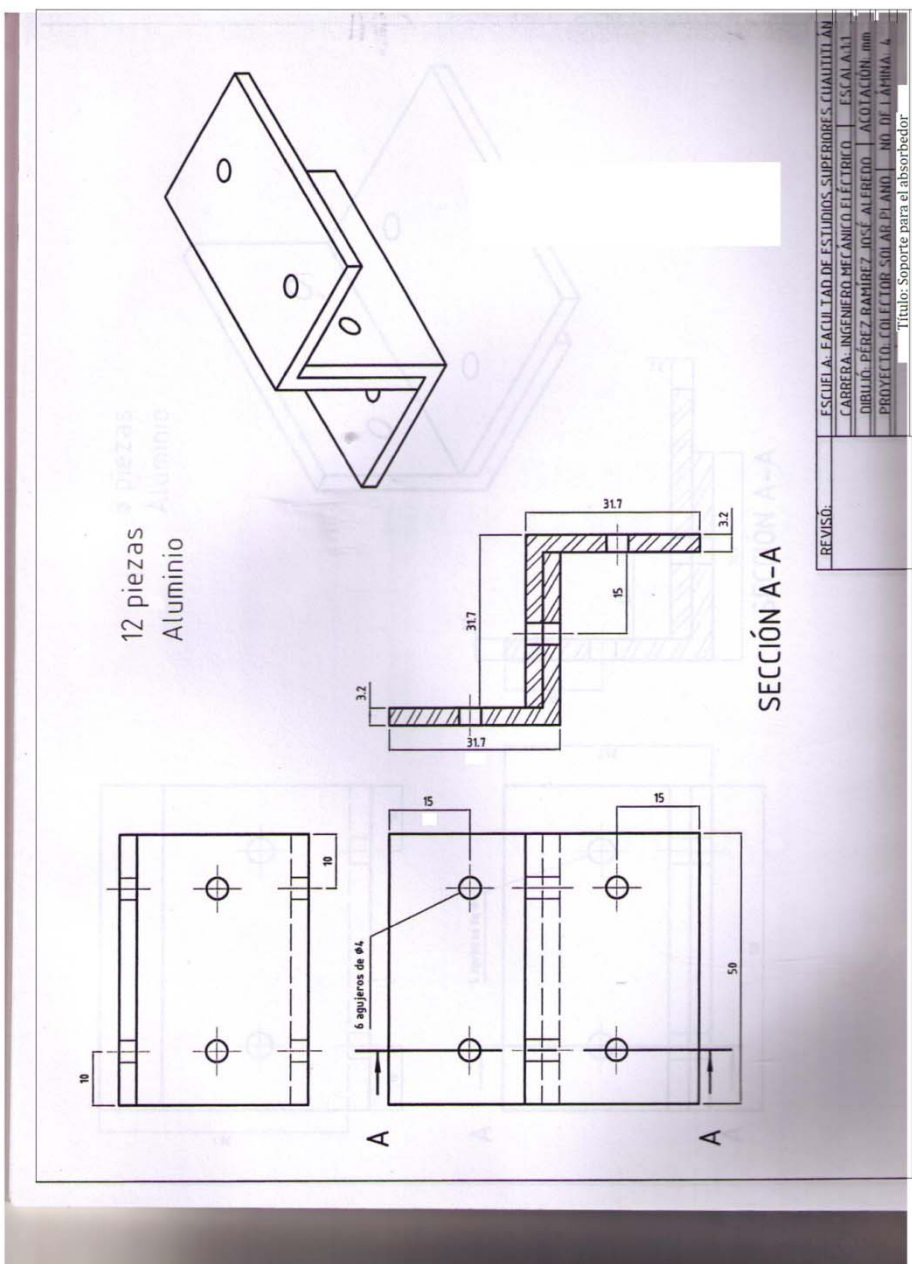


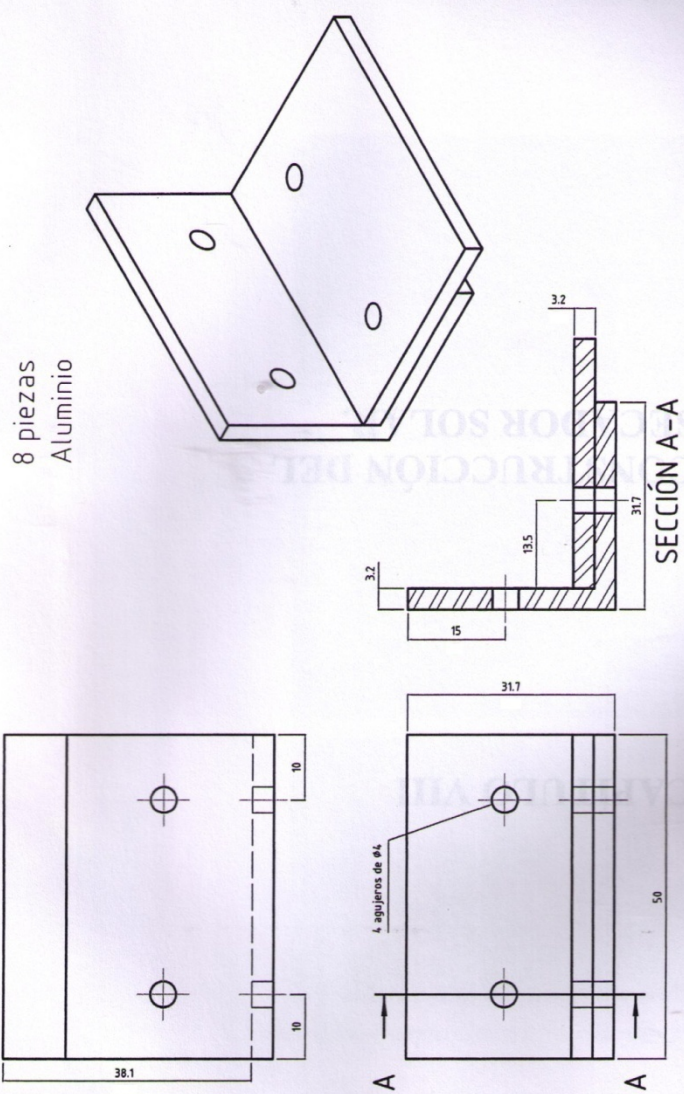
DETALLE C (1:4)



REVISÓ: _____
 ESCUELA: FACULTAD DE ESTUDIOS SUPERIORES CUAUHTÉMOC
 TALLER: INGENIERO MECÁNICO ELÉCTRICO ESCALA 1:1
 DIBUJO: PÉREZ RAMÍREZ JOSE ALFREDO ACOTACIONES mm
 PROYECTO: COLECCIÓN SOLAR PLANO. NO. DE LÁMINA: 2-h
 TÍTULO: CUERPO DEL COLECTOR





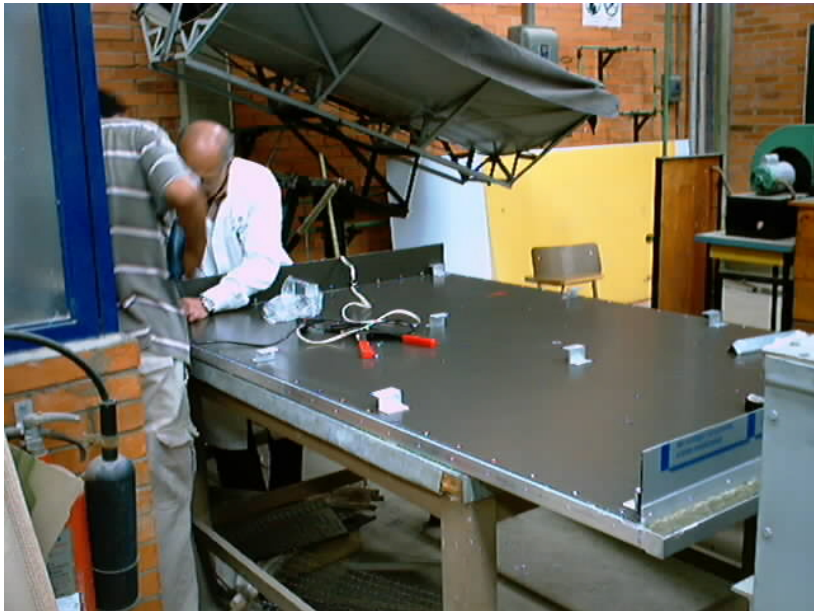


CAPÍTULO VIII

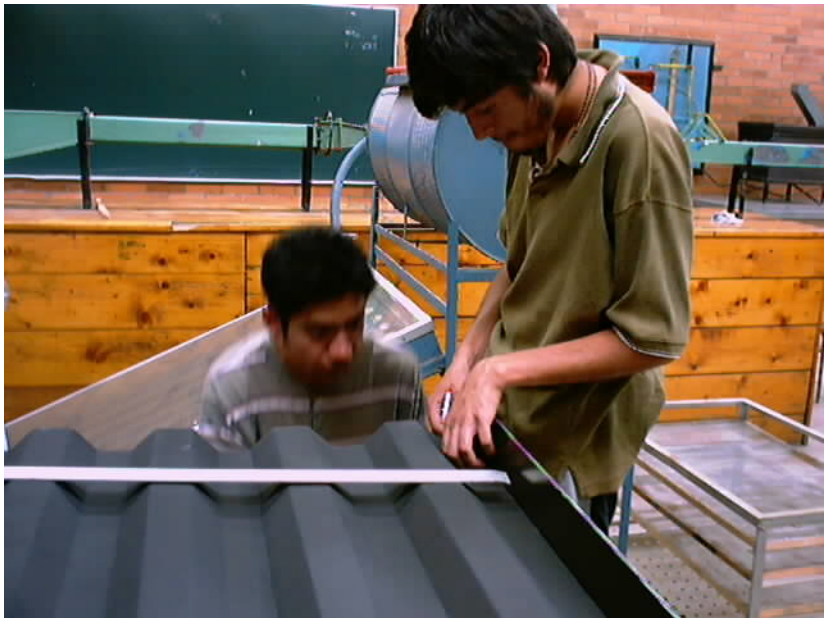
CONSTRUCCIÓN DEL SECADOR SOLAR.

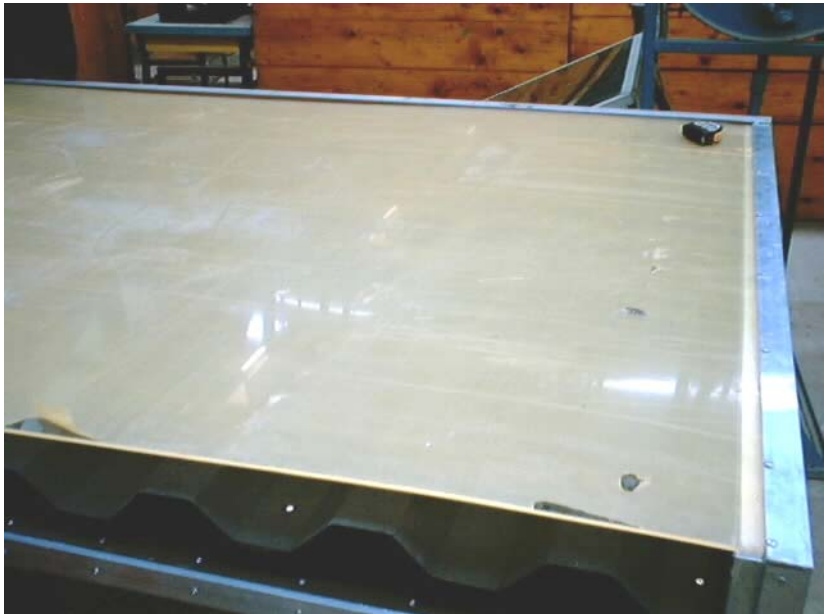
8.1 Construcción del secador solar.



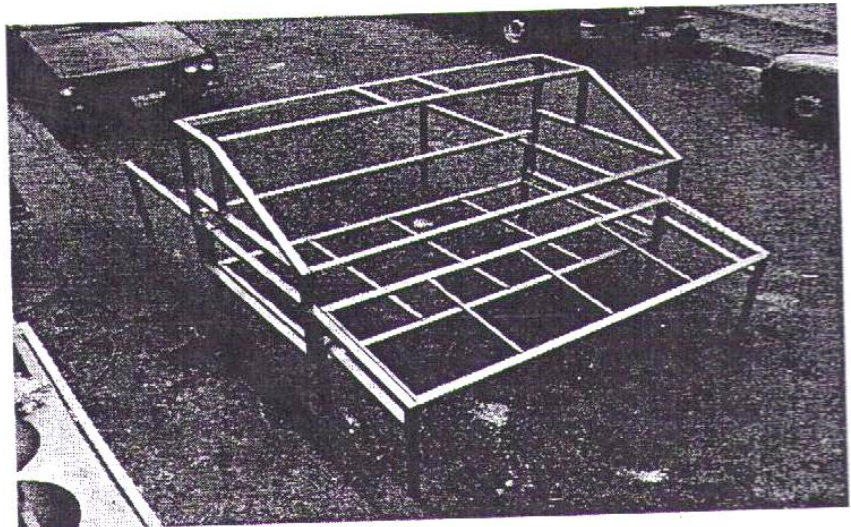
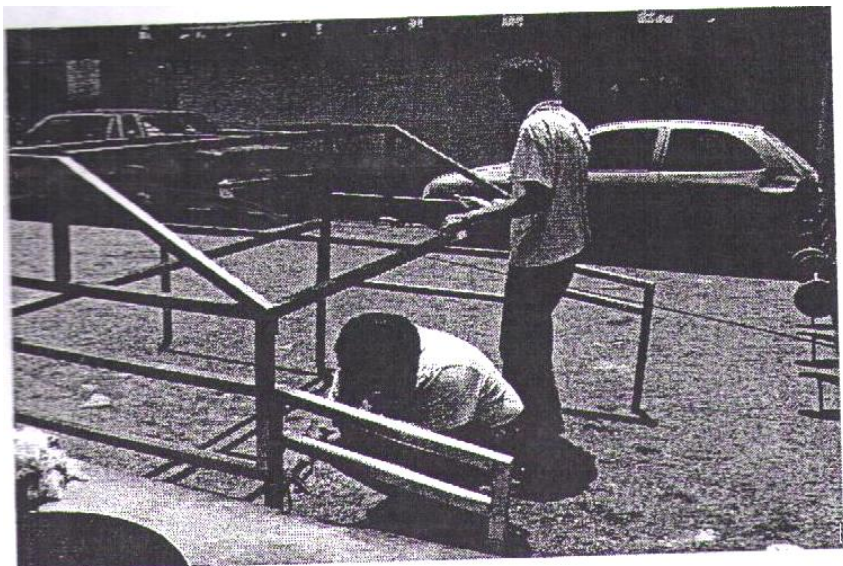




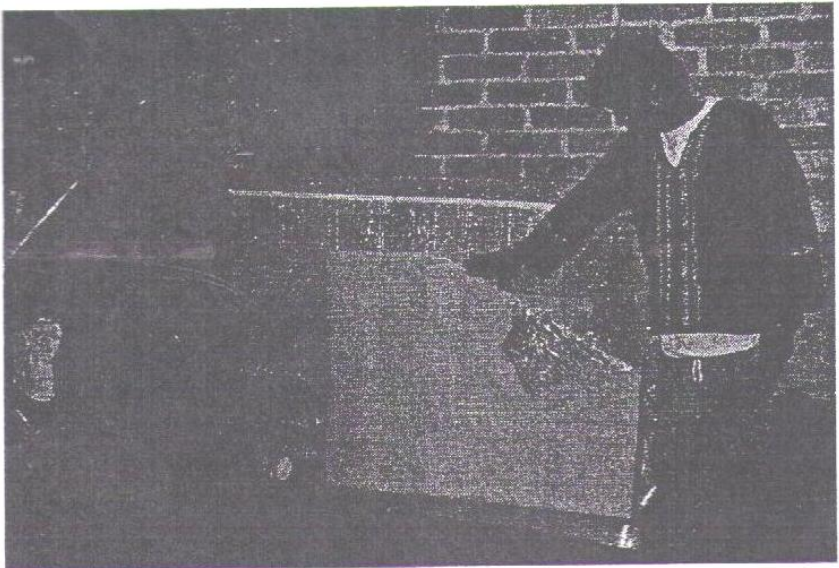
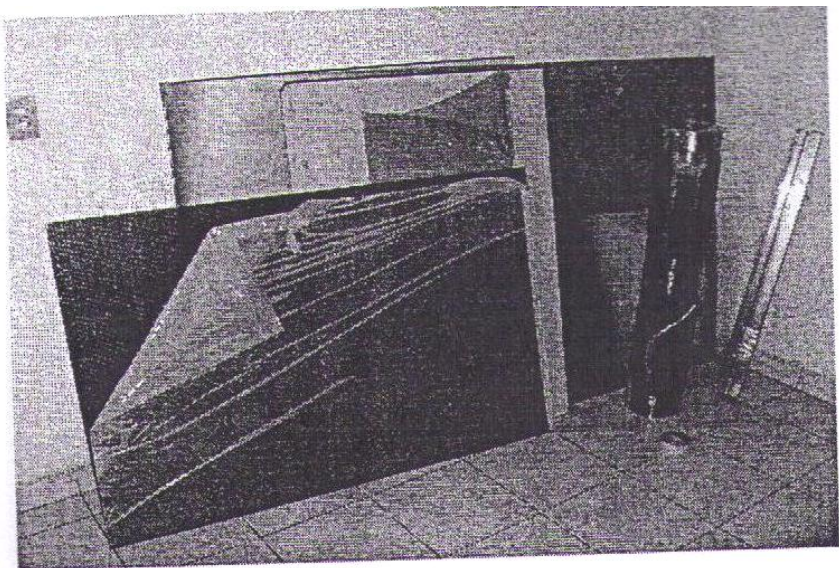


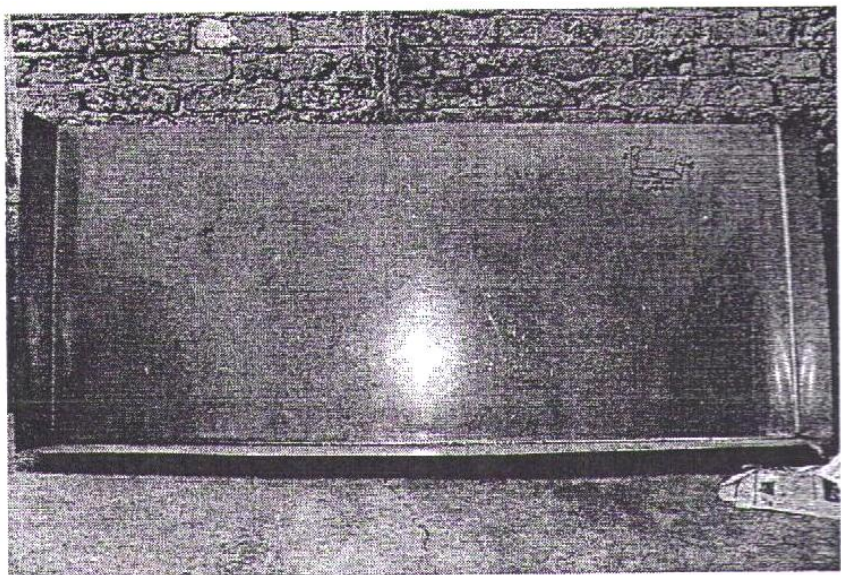


8.2 Construcción de la estructura del secador solar.

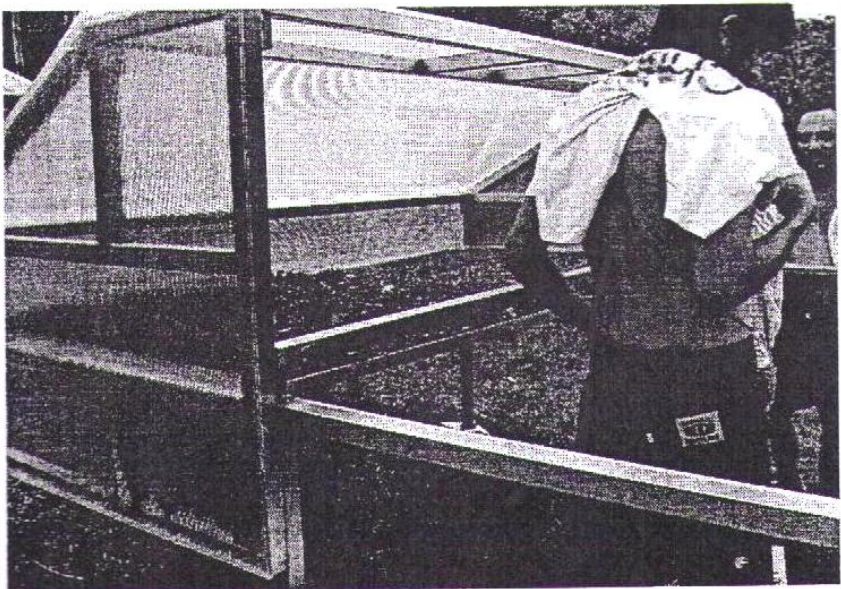


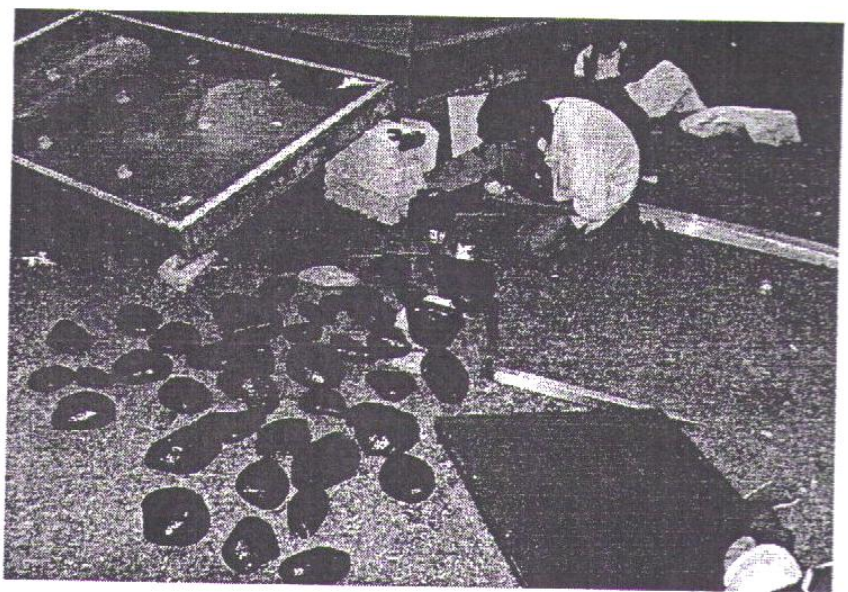
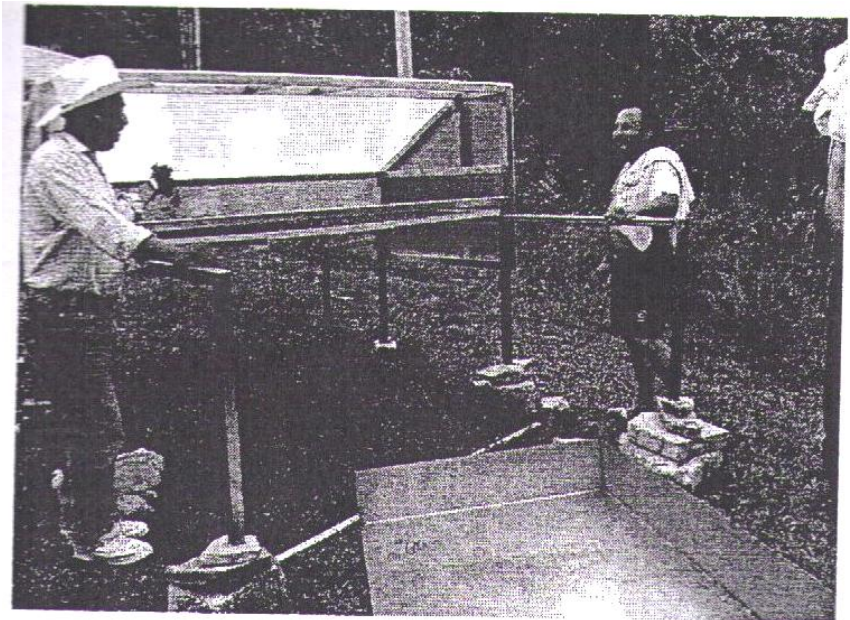
8.3 Materiales de construcción del secador solar.

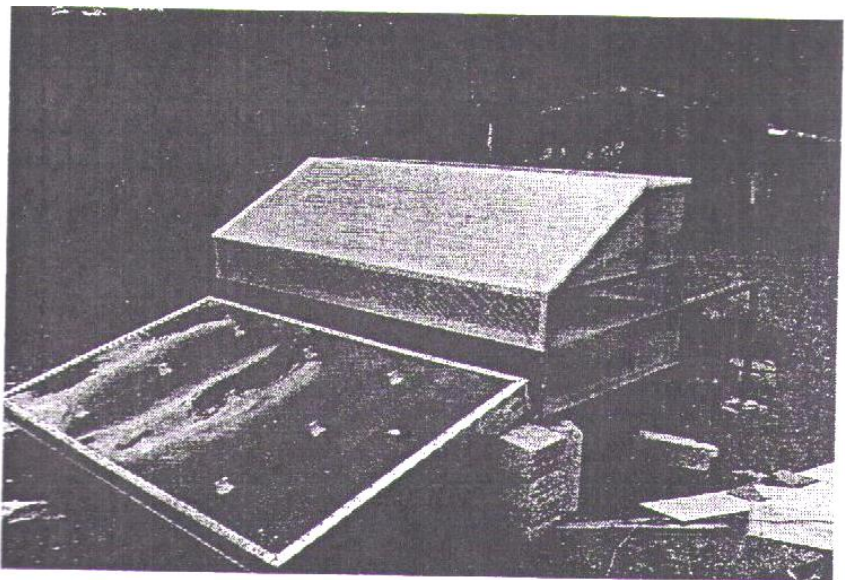




8.4 Instalación del secador solar.







CAPÍTULO IX

PRUEBAS DE ESTANCIAMIENTO Y PRUEBAS A FLUJO ABIERTO

9.1 Registro de lecturas.

Se tomaron algunas medidas a las 14:30 (hora civil) el 17 de Octubre de 2005 (N = 290).

Temperatura ambiente $T_A = 26 \text{ } ^\circ\text{C}$

Velocidad del viento $V_1 = 1.52 \text{ m/s}$; $V_2 = 1.14 \text{ m/s}$; $v_3 = 1.70 \text{ m/s}$; $v_m = 1.45 \text{ m/s}$

Las lecturas para pruebas de estancamiento fueron:

Tiempo de duración de la prueba $t = 5 \text{ min}$

Temperatura a la entrada en el absorbedor $T_{Eabs} = 76 \text{ } ^\circ\text{C}$

Temperatura a la entrada por arriba del absorbedor $T_{E1} = 60 \text{ } ^\circ\text{C}$

Temperatura a la entrada por abajo del absorbedor $T_{E2} = 52 \text{ } ^\circ\text{C}$

Temperatura a la salida en el absorbedor $T_{Sabs} = 85 \text{ } ^\circ\text{C}$

Temperatura a la salida por arriba del absorbedor $T_{S1} = 108 \text{ } ^\circ\text{C}$

Temperatura a la salida por abajo del absorbedor $T_{S2} = 96 \text{ } ^\circ\text{C}$

Las lecturas para las pruebas a flujo abierto fueron:

Temperatura a la entrada en el absorbedor $T_{Eabs} = 40 \text{ } ^\circ\text{C}$

Temperatura a la entrada por arriba del absorbedor $T_{E1} = 57 \text{ } ^\circ\text{C}$

Temperatura a la entrada por abajo del absorbedor $T_{E2} = 44 \text{ } ^\circ\text{C}$

Temperatura a la salida en el absorbedor $T_{Sabs} = 64 \text{ } ^\circ\text{C}$

Temperatura a la salida por arriba del absorbedor $T_{S1} = 70 \text{ } ^\circ\text{C}$

Temperatura a la salida por abajo del absorbedor $T_{S2} = 50 \text{ } ^\circ\text{C}$

Velocidad del flujo termosifónico $v_t = 0.45 \text{ m/s}$

9.2 Cálculo de las propiedades ópticas.

De la tabla. $ET = -0.2496$

Para la FES Cuautitlán: $L_{loc} = 99.2$ y $L_{st} = 90$

Transformando la hora civil en hora solar con la ecuación 3.3.

$$TS = 14.5 - \frac{99.2 - 90}{15} - (-0.2496) = 14.1363$$

Calculando el ángulo horario con la ecuación 3.1.

$$\omega = 15(14.1363 - 12) = 32.04$$

De las tablas para la FES Cuautitlán. $\phi = 19.68$ y extrapolando entre los valores de las 14 y 15 horas.

$$\beta = 36.31 + \frac{47.67 - 36.31}{30 - 45} (32.04 - 45) = 46.13$$

$$\gamma = 120.41 + \frac{133.14 - 120.41}{30 - 45} (32.04 - 45) = 131.41$$

Calculando el ángulo de incidencia con un ángulo de inclinación del colector de 70° con respecto a la vertical usando la ecuación 2.14.

$$\theta_i = \cos^{-1}[\sin 46.13^\circ \sin 70^\circ - \cos 46.13^\circ \cos 131.41^\circ \cos 70^\circ] = 33.46^\circ$$

Calculando el ángulo de refracción con la ecuación 4.72.

$$\theta_r = \sin^{-1} \left[\frac{\sin 33.46^\circ}{1.59} \right] = 20.29^\circ$$

Utilizando las ecuaciones 4.73 y 4.74 se obtiene.

$$\rho_{\perp} = \frac{\sin^2(33.46^\circ - 20.29^\circ)}{\sin^2(33.46^\circ + 20.29^\circ)} = 0.0798$$

$$\rho_{\parallel} = \frac{\tan^2(33.46^\circ - 20.29^\circ)}{\tan^2(33.46^\circ + 20.29^\circ)} = 0.0294$$

De la ecuación 4.80.

$$\tau_{\perp} = \frac{(1-0.0798)}{(1+0.0798)} = 0.8522$$

$$\tau_{\parallel} = \frac{(1-0.0294)}{(1+0.0294)} = 0.9429$$

Sacando el promedio.

$$\tau_m = \frac{(0.8522+0.9429)}{2} = 0.8976$$

Empleando la ecuación 4.19. El ancho de la cubierta es de 2 mm.

$$\tau_a = e^{\frac{32(0.002)}{\cos 20.29^\circ}} = 0.9341$$

De acuerdo con la ecuación 4.20, la transmitancia total es

$$\tau = 0.9341 \cdot 0.8976 = 0.8384$$

Calculando la reflectancia difusa con la ecuación 4.86.

$$\rho_d = 0.9341 - 0.8384 = 0.0957$$

Obteniendo el producto transmitancia-absortancia con la ecuación 4.85.

$$(\tau\alpha) = \frac{(0.8384)(0.98)}{1 - 0.0957(1 - 0.98)} = 0.8232$$

9.3 Cálculos en pruebas de estancamiento.

En estas condiciones:

$$Q_{\text{absorbido}} = Q_{\text{perdidas}}$$

$$A_C I_T (\tau\alpha) = (U_{\text{lados}} A_{\text{lados}} + U_{\text{piso}} A_{\text{piso}} + U_{\text{cubierta}} A_{\text{cubierta}})(T_{\text{pm}} - T_a)$$

donde $A_{\text{lados}} = 0.44 \text{ m}^2$, $A_{\text{piso}} = A_{\text{cubierta}} = 2.44 \text{ m}^2$, $A_C = 2.44 \text{ m}^2$.

Calculando Pérdidas Globales con la ecuación 4.11

$$\bar{h}_v = 5.7 + 3.8 \times 1.45 = 11.21$$

$$U_{\text{lados}} = \frac{2}{\frac{0.001}{210} + \frac{0.002}{0.13} + \frac{0.0439}{0.038} + \frac{0.0012}{80} + \frac{1}{11.21}} = 1.59 \frac{W}{m^2 \cdot ^\circ K}$$

$$U_{fondo} = \frac{1}{\frac{0.001}{210} + \frac{0.002}{0.13} + \frac{0.0285}{0.038} + \frac{0.0012}{80} + \frac{1}{11.21}} = 1.17 \frac{W}{m^2 \cdot ^\circ K}$$

Cálculo de las demás variables.

$$f = (1 + 0.089 \cdot 11.21 - 0.1166 \cdot 11.21 \cdot 0.9)(1 + 0.07866 \cdot 1) = 0.8859$$

$$U_t = \left(\frac{1}{\frac{(344)}{(381)}(381-299)} + \frac{1}{11.21} \right)^{-1} + \frac{5.67 \cdot 10^{-8} (381+299)(381^2+299^2)}{\frac{1}{0.8+0.0425 \cdot 1(1-0.8)} + \frac{2 \cdot 1 + 0.8859 - 1}{0.9} - 1} = \\ 8.16 \frac{W}{m^2 \cdot ^\circ K}$$

Despejando y calculando I_T de la ecuación 6.1.

$$I_T = \frac{[(1.59)(0.44) + (1.17)(2.44) + (8.16)(2.44)](381-299)}{(2.88)(0.8232)} = 690.15 \frac{W}{m^2}$$

9.4 Cálculos en pruebas a flujo abierto.

Calculando las pérdidas en la cubierta.

$$U_t = \left(\frac{1}{\frac{(344)}{(343)}(381-299)} + \frac{1}{11.21} \right)^{-1} + \frac{5.67 \cdot 10^{-8} (343+299)(343^2+299^2)}{\frac{1}{0.8+0.0425 \cdot 1(1-0.8)} + \frac{2 \cdot 1 + 0.8859 - 1}{0.9} - 1} = \\ 4.18 \frac{W}{m^2 \cdot ^\circ K}$$

Calculando el calor útil

$$Q_{\text{útil}} = Q_{\text{absorbido}} - Q_{\text{pérdidas}}$$

$$Q_{\text{abs}} = (2.88)(690.15)(0.8232) = 1636.22 \text{ W}$$

$$\begin{aligned}Q_{\text{pérd}} &= [(1.59)(0.44) + (1.17)(2.44) + (4.18)(2.44)](343 - 299) \\&= 452.32 \text{ W}\end{aligned}$$

$$Q_{\text{útil}} = 1183.90 \text{ W}$$

9.5 Eficiencia del colector.

Calculando la eficiencia del colector.

$$\eta_C = \frac{1183.9}{(2.88)(822.39)} 100 = 49.99\%$$

CONCLUSIONES.

Los resultados en las pruebas son relativamente satisfactorias considerando las condiciones en que se realizaron. Primero, las pruebas se realizaron en la FES Cuautitlán y no en el Tenexate por dificultades de transporte. No obstante, si el colector funcionó bien en la FES Cuautitlán, es muy probable que funcione también en el Tenexate y en cualquier lugar.

Los materiales empleados tuvieron un costo muy elevado considerando el tipo de lugar donde se harían las pruebas, el cual es un lugar muy húmedo por tratarse de un lugar subtropical. No necesariamente se tienen que emplear esos materiales, más bien se debe procurar emplear preferentemente los materiales con propiedades similares que se encuentren por la región.

La eficiencia de casi un 50 % entra dentro de lo calculado, por lo que podemos concluir al respecto que se alcanzaron las expectativas al menos con las pruebas realizadas en la FES Cuautitlán.

En el caso de el calor útil entregado por el colector (1.18 kW) está por debajo de lo calculado en casi una cuarta parte. Lo anterior quiere decir que va a secar una menor

cantidad de granos en un mismo tiempo o la misma cantidad de granos en un mayor tiempo. Considerando que la prueba se hizo en un tiempo en que la irradiación es alta y en un lugar con menor humedad, esta diferencia puede acrecentarse considerablemente cambiando tales condiciones.

Aún así, se proponen otras soluciones para incrementar la eficiencia del secador aparte del colector solar plano.

Una de las soluciones propuestas que es al parecer más viable es el anexo de una batería de piedras cubiertas de pintura negra para conservar mejor el calor.

Al aumentar la eficiencia de este modo, no aumentará el calor útil entregado pero si la velocidad de secado al disminuir el calor rechazado.

Se puede considerar el colector solar plano solo como uno de los dispositivos para solucionar el problema de la falta de eficiencia térmica del secador solar tipo invernadero ya existente.

APÉNDICE.

Tabla 1 Ecuaciones para convertir el día del mes en el número del año.

Mes	“n” para el i-ésimo día del mes
Enero	i
Febrero	31 + i
Marzo	59 + i
Abril	90 + i
Mayo	120 + i
Junio	151 + i
Julio	181 + i
Agosto	212 + i
Septiembre	243 + i
Octubre	273 + i
Noviembre	304 + i
Diciembre	334 + i

Tabla 2 Valores de la declinación solar δ a lo largo de los 365 días del año.

día	$\bar{\delta}$	día	$\bar{\delta}$	día	$\bar{\delta}$
1	-22.9261116	123	15.80720952	245	7.000047358
2	-22.8379294	124	16.10283436	246	6.614017523
3	-22.7429888	125	16.3936939	247	6.226030407
4	-22.6413179	126	16.67970208	248	5.836200829
5	-22.5329467	127	16.96077424	249	5.444644149
6	-22.4179075	128	17.23682722	250	5.051476241
7	-22.2962341	129	17.50777932	251	4.656813454
8	-22.1679626	130	17.77355036	252	4.260772581
9	-22.0331309	131	18.03406169	253	3.863470822
10	-21.8917791	132	18.28923622	254	3.465025749
11	-21.7439488	133	18.53899843	255	3.065555275
12	-21.5896838	134	18.78327441	256	2.665177613
13	-21.4290298	135	19.02199188	257	2.264011248
14	-21.2620344	136	19.25508018	258	1.862174897
15	-21.0887469	137	19.48247035	259	1.459787473
16	-20.9092186	138	19.70409509	260	1.056968057
17	-20.7235027	139	19.91988882	261	0.653835852
día	$\bar{\delta}$	día	$\bar{\delta}$	día	$\bar{\delta}$
18	-20.5316541	140	20.12978767	262	0.250510159
19	-20.3337295	141	20.33372953	263	-0.15288967
20	-20.1297877	142	20.53165405	264	-0.55624425
21	-19.9198888	143	20.72350266	265	-0.95943422
22	-19.7040951	144	20.90921858	266	-1.36234027
23	-19.4824704	145	21.08874686	267	-1.76484316
24	-19.2550802	146	21.26203436	268	-2.16682379
25	-19.0219919	147	21.42902981	269	-2.56816319
26	-18.7832744	148	21.58968379	270	-2.96874259
27	-18.5389984	149	21.74394875	271	-3.36844346
28	-18.2892362	150	21.89177905	272	-3.7671475
29	-18.0340617	151	22.03313094	273	-4.16473674
30	-17.7735504	152	22.16796258	274	-4.56109351
31	-17.5077793	153	22.29623407	275	-4.95610053
32	-17.2368272	154	22.41790746	276	-5.34964088
33	-16.9607742	155	22.53294675	277	-5.74159813
34	-16.6797021	156	22.64131788	278	-6.13185626
35	-16.3936939	157	22.74298878	279	-6.52029981
36	-16.1028344	158	22.83792937	280	-6.90681381

día	δ	día	δ	día	δ
37	-15.8072095	159	22.92611156	281	-7.29128388
38	-15.5069069	160	23.00750925	282	-7.67359624
39	-15.2020153	161	23.08209834	283	-8.05363777
40	-14.892625	162	23.14985677	284	-8.43129599
41	-14.5788275	163	23.21076449	285	-8.80645915
42	-14.2607157	164	23.26480347	286	-9.17901622
43	-13.9383838	165	23.31195771	287	-9.54885695
44	-13.6119271	166	23.35221327	288	-9.9158719
45	-13.2814422	167	23.38555823	289	-10.2799525
46	-12.947027	168	23.41198273	290	-10.6409909
47	-12.6087803	169	23.43147894	291	-10.9988803
48	-12.2668024	170	23.44404109	292	-11.3535149
49	-11.9211943	171	23.44966547	293	-11.7047896
50	-11.5720585	172	23.44835042	294	-12.0526005
51	-11.2194981	173	23.44009631	295	-12.3968447
52	-10.8636175	174	23.4249056	296	-12.7374203
53	-10.5045221	175	23.40278278	297	-13.0742266
54	-10.1423181	176	23.3737344	298	-13.4071638
55	-9.7771127	177	23.33776905	299	-13.7361334
día	δ	día	δ	día	δ
56	-9.40901395	178	23.29489738	300	-14.0610382
57	-9.0381308	179	23.24513206	301	-14.3817818
58	-8.66457301	180	23.18848784	302	-14.6982695
59	-8.28845111	181	23.12498148	303	-15.0104075
60	-7.90987643	182	23.05463175	304	-15.3181035
61	-7.52896098	183	22.9774595	305	-15.6212664
62	-7.1458175	184	22.89348754	306	-15.9198066
63	-6.76055935	185	22.80274074	307	-16.2136356
64	-6.37330057	186	22.70524594	308	-16.5026665
65	-5.98415574	187	22.60103201	309	-16.7868138
66	-5.59324002	188	22.49012977	310	-17.0659934
67	-5.2006691	189	22.37257204	311	-17.3401227
68	-4.80655915	190	22.24839363	312	-17.6091205
69	-4.4110268	191	22.11763126	313	-17.8729073
70	-4.0141891	192	21.98032365	314	-18.131405
71	-3.61616349	193	21.83651142	315	-18.384537
72	-3.21706774	194	21.68623713	316	-18.6322286
73	-2.81701998	195	21.52954526	317	-18.8744063
74	-2.41613857	196	21.36648217	318	-19.1109985

día	δ	día	δ	día	δ
75	-2.01454216	197	21.19709611	319	-19.3419353
76	-1.61234959	198	21.02143722	320	-19.5671482
77	-1.20967987	199	20.83955747	321	-19.7865706
78	-0.80665218	200	20.6515107	322	-20.0001376
79	-0.40338578	201	20.45735254	323	-20.207786
80	0	202	20.25714046	324	-20.4094542
81	0.403385778	203	20.0509337	325	-20.6050828
82	0.806652182	204	19.83879328	326	-20.7946137
83	1.209679875	205	19.620782	327	-20.9779909
84	1.612349588	206	19.39696435	328	-21.15516
85	2.01454216	207	19.16740657	329	-21.3260688
86	2.416138571	208	18.93217661	330	-21.4906665
87	2.817019976	209	18.69134406	331	-21.6489046
88	3.217067743	210	18.4449802	332	-21.8007361
89	3.616163486	211	18.19315794	333	-21.9461161
90	4.014189101	212	17.93595179	334	-22.0850016
91	4.411026801	213	17.67343787	335	-22.2173516
92	4.80655915	214	17.40569387	336	-22.3431267
93	5.200669099	215	17.13279902	337	-22.4622899
día	δ	día	δ	día	δ
94	5.593240018	216	16.85483408	338	-22.5748059
95	5.984155736	217	16.5718813	339	-22.6806413
96	6.373300567	218	16.28402442	340	-22.7797648
97	6.760559354	219	15.99134862	341	-22.8721472
98	7.145817495	220	15.69394052	342	-22.957761
99	7.528960982	221	15.39188813	343	-23.036581
100	7.909876429	222	15.08528083	344	-23.1085837
101	8.288451115	223	14.77420935	345	-23.173748
102	8.664573007	224	14.45876576	346	-23.2320545
103	9.0381308	225	14.1390434	347	-23.2834859
104	9.409013948	226	13.81513689	348	-23.3280271
105	9.777112695	227	13.48714207	349	-23.3656648
106	10.14231811	228	13.15515602	350	-23.396388
107	10.50452212	229	12.81927698	351	-23.4201875
108	10.86361754	230	12.47960434	352	-23.4370562
109	11.21949809	231	12.13623862	353	-23.4469893
110	11.57205847	232	11.78928143	354	-23.4499837
111	11.92119434	233	11.43883546	355	-23.4460386
112	12.26680239	234	11.0850044	356	-23.4351551

día	δ	día	δ	día	δ
113	12.60878033	235	10.72789297	357	-23.4173365
114	12.94702696	236	10.36760684	358	-23.392588
115	13.28144422	237	10.00425264	359	-23.360917
116	13.61192707	238	9.637937882	360	-23.3223328
117	13.93838378	239	9.268770983	361	-23.2768468
118	14.26071571	240	8.896861185	362	-23.2244725
119	14.57882748	241	8.522318547	363	-23.1652255
120	14.89262496	242	8.145253908	364	-23.0991232
121	15.20201527	243	7.765778852	365	-23.0261852
122	15.50690687	244	7.384005676		

Gráfica 1 Curva de la declinación solar a lo largo del año.

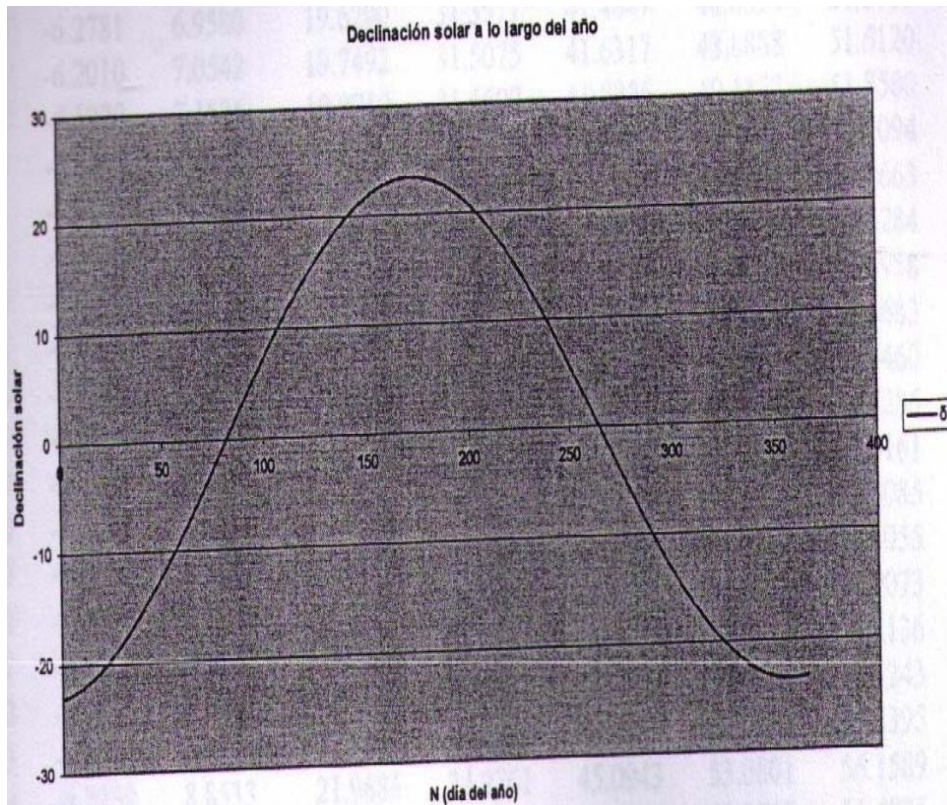


Tabla 3 Valores de los ángulos de altura solar β para la latitud $\varphi = 19.68$ correspondiente a la FES Cuautitlán cuando $\omega = 90^\circ$ a lo largo de los 365 días del año.

día	$\beta (\omega = 90^\circ)$	día	$\beta (\omega = 90^\circ)$	día	$\beta (\omega = 90^\circ)$
1	-7.53809259	123	5.263466639	245	2.352182646
2	-7.51049506	124	5.359600768	246	2.22299434
3	-7.48076438	125	5.454060376	247	2.093060693
4	-7.44890544	126	5.546821472	248	1.962424176
5	-7.41492355	127	5.637860793	249	1.831127692
6	-7.37882442	128	5.7271558	250	1.699214546
7	-7.34061417	129	5.814684673	251	1.566728427
8	-7.30029938	130	5.900426302	252	1.433713382
9	-7.25788704	131	5.984360286	253	1.300213786
10	-7.21338463	132	6.06646692	254	1.166274318
11	-7.16680006	133	6.146727192	255	1.031939935
12	-7.11814173	134	6.225122772	256	0.897255842
13	-7.06741854	135	6.301636002	257	0.762267466
14	-7.01463988	136	6.37624989	258	0.627020428
15	-6.95981564	137	6.448948096	259	0.491560513
16	-6.90295626	138	6.519714924	260	0.355933642
17	-6.84407269	139	6.588535312	261	0.220185842
18	-6.78317644	140	6.655394816	262	0.084363217
19	-6.72027961	141	6.720279605	263	-0.05148808
20	-6.65539482	142	6.783176445	264	-0.18732188
21	-6.58853531	143	6.844072687	265	-0.32309202
22	-6.51971492	144	6.902956257	266	-0.45875238
23	-6.4489481	145	6.959815643	267	-0.59425691
24	-6.37624989	146	7.014639881	268	-0.72955967
25	-6.301636	147	7.067418545	269	-0.86461483
26	-6.22512277	148	7.118141733	270	-0.99937674
27	-6.14672719	149	7.166800057	271	-1.13379991
28	-6.06646692	150	7.213384627	272	-1.26783908
29	-5.98436029	151	7.257887041	273	-1.40144923
30	-5.9004263	152	7.300299375	274	-1.53458562
31	-5.81468467	153	7.340614169	275	-1.66720379
32	-5.7271558	154	7.378824417	276	-1.79925962
33	-5.63786079	155	7.414923552	277	-1.93070932
34	-5.54682147	156	7.448905444	278	-2.0615095
35	-5.45406038	157	7.480764379	279	-2.19161715
36	-5.35960077	158	7.510495059	280	-2.3209897
37	-5.26346664	159	7.538092585	281	-2.44958502
38	-5.16568271	160	7.563552453	282	-2.57736145

día	$\beta (\omega = 90^\circ)$	día	$\beta (\omega = 90^\circ)$	día	$\beta (\omega = 90^\circ)$
39	-5.06627443	161	7.586870542	283	-2.70427781
40	-4.965268	162	7.60804311	284	-2.83029347
41	-4.86269035	163	7.627066784	285	-2.9553683
42	-4.75856913	164	7.643938552	286	-3.07946274
43	-4.65293274	165	7.658655762	287	-3.2025378
44	-4.54581032	166	7.671216111	288	-3.32455506
45	-4.43723173	167	7.681617645	289	-3.44547674
46	-4.32722756	168	7.68985875	290	-3.56526565
47	-4.21582911	169	7.695938152	291	-3.68388527
48	-4.10306842	170	7.699854915	292	-3.8012997
49	-3.98897822	171	7.701608436	293	-3.91747371
50	-3.87359194	172	7.701198445	294	-4.03237275
51	-3.75694371	173	7.698625006	295	-4.14596297
52	-3.63906833	174	7.693888514	296	-4.25821118
53	-3.52000129	175	7.686989697	297	-4.36908493
54	-3.39977873	176	7.677929622	298	-4.47855245
55	-3.27843741	177	7.666709689	299	-4.58658271
56	-3.15601477	178	7.653331641	300	-4.6931454
57	-3.03254882	179	7.637797564	301	-4.79821093
58	-2.90807819	180	7.620109892	302	-4.90175044
59	-2.7826421	181	7.600271413	303	-5.00373582
60	-2.65628032	182	7.578285276	304	-5.10413967
61	-2.52903318	183	7.554154992	305	-5.20293536
62	-2.40094152	184	7.527884446	306	-5.30009697
63	-2.2720467	185	7.499477904	307	-5.39559933
64	-2.14239057	186	7.468940017	308	-5.48941799
65	-2.01201541	187	7.436275835	309	-5.58152923
66	-1.88096398	188	7.401490814	310	-5.67191007
67	-1.74927943	189	7.364590822	311	-5.76053824
68	-1.6170053	190	7.325582155	312	-5.84739219
69	-1.48418551	191	7.284471545	313	-5.93245109
70	-1.35086432	192	7.241266167	314	-6.01569479
71	-1.21708629	193	7.195973658	315	-6.09710385
72	-1.08289627	194	7.148602121	316	-6.17665952
73	-0.94833938	195	7.09916014	317	-6.25434373
74	-0.81346097	196	7.047656794	318	-6.33013908
75	-0.67830659	197	6.994101664	319	-6.40402881
76	-0.54292196	198	6.938504849	320	-6.47599684
77	-0.40735295	199	6.880876978	321	-6.5460277
78	-0.27164556	200	6.821229221	322	-6.61410658

día	$\beta (\omega = 90^\circ)$	día	$\beta (\omega = 90^\circ)$	día	$\beta (\omega = 90^\circ)$
79	-0.13584586	201	6.7595733	323	-6.68021926
80	3.30478E-15	202	6.695921508	324	-6.74435215
81	0.135845863	203	6.630286713	325	-6.80649222
82	0.271645559	204	6.562682373	326	-6.86662704
83	0.407352949	205	6.493122552	327	-6.92474477
84	0.542921955	206	6.421621925	328	-6.9808341
85	0.678306587	207	6.348195794	329	-7.03488426
86	0.813460972	208	6.272860097	330	-7.08688504
87	0.948339383	209	6.195631421	331	-7.13682672
88	1.082896271	210	6.116527009	332	-7.18470011
89	1.217086288	211	6.035564771	333	-7.23049651
90	1.35086432	212	5.952763297	334	-7.27420769
91	1.484185514	213	5.868141859	335	-7.31582591
92	1.6170053	214	5.781720426	336	-7.35534388
93	1.749279426	215	5.693519666	337	-7.39275476
94	1.880963979	216	5.603560957	338	-7.42805216
95	2.012015411	217	5.511866392	339	-7.4612301
96	2.142390565	218	5.418458783	340	-7.49228303
97	2.272046702	219	5.323361669	341	-7.5212058
98	2.400941519	220	5.226599316	342	-7.54799366
99	2.529033176	221	5.128196724	343	-7.57264226
100	2.656280318	222	5.028179627	344	-7.59514762
101	2.782642097	223	4.926574494	345	-7.61550613
102	2.908078188	224	4.823408531	346	-7.63371457
103	3.032548815	225	4.718709681	347	-7.64977005
104	3.156014767	226	4.612506621	348	-7.66367007
105	3.278437414	227	4.504828759	349	-7.67541244
106	3.399778728	228	4.395706234	350	-7.68499534
107	3.520001295	229	4.285169909	351	-7.69241729
108	3.639068334	230	4.173251366	352	-7.69767714
109	3.756943708	231	4.059982899	353	-7.70077409
110	3.87359194	232	3.94539751	354	-7.70170765
111	3.98897822	233	3.829528898	355	-7.70047769
112	4.103068423	234	3.712411446	356	-7.69708439
113	4.215829114	235	3.59408022	357	-7.69152827
114	4.327227559	236	3.474570948	358	-7.6838102
115	4.437231732	237	3.353920013	359	-7.67393135
116	4.545810322	238	3.232164438	360	-7.66189327
117	4.652932742	239	3.10934187	361	-7.64769782
118	4.758569127	240	2.985490569	362	-7.63134723

día	$\beta (\omega = 90^\circ)$	día	$\beta (\omega = 90^\circ)$	día	$\beta (\omega = 90^\circ)$
119	4.862690348	241	2.860649385	363	-7.61284405
120	4.965268005	242	2.734857747	364	-7.59219122
121	5.066274434	243	2.608155642	365	-7.56939202
122	5.165682709	244	2.480583593		

Tabla 4 Valores de los ángulos de altura solar β para la latitud $\varphi = 19.68$ correspondiente a la FES Cuautitlán cuando $\omega = 75^\circ$ a lo largo de los 365 días del año.

día	$\beta (\omega = 75^\circ)$	día	$\beta (\omega = 75^\circ)$	día	$\beta (\omega = 75^\circ)$
1	5.35147971	123	19.0395503	245	16.4349282
2	5.38735311	124	19.119881	246	16.3120082
3	5.42596395	125	19.1984386	247	16.1877762
4	5.46729807	126	19.275221	248	16.0622653
5	5.51134029	127	19.3502266	249	15.9355098
6	5.55807438	128	19.4234549	250	15.8075449
7	5.60748311	129	19.494906	251	15.6784071
8	5.65954824	130	19.5645805	252	15.5481339
9	5.71425048	131	19.6324801	253	15.4167639
10	5.77156955	132	19.6986067	254	15.2843367
11	5.83148415	133	19.762963	255	15.150893
12	5.89397194	134	19.8255523	256	15.0164744

día	$\beta (\omega = 75^\circ)$	día	$\beta (\omega = 75^\circ)$	día	$\beta (\omega = 75^\circ)$
13	5.95900962	135	19.8863784	257	14.8811235
14	6.02657283	136	19.9454453	258	14.744884
15	6.09663624	137	20.0027579	259	14.6078002
16	6.16917351	138	20.0583213	260	14.4699175
17	6.24415731	139	20.1121407	261	14.3312823
18	6.32155932	140	20.1642222	262	14.1919415
19	6.40135021	141	20.2145716	263	14.051943
20	6.4834997	142	20.2631954	264	13.9113355
21	6.56797652	143	20.3101001	265	13.7701682
22	6.65474845	144	20.3552925	266	13.6284912
23	6.7437823	145	20.3987793	267	13.4863553
24	6.83504393	146	20.4405677	268	13.3438118
25	6.92849825	147	20.4806646	269	13.2009126
26	7.02410926	148	20.5190771	270	13.0577101
27	7.12184002	149	20.5558124	271	12.9142573
28	7.22165269	150	20.5908776	272	12.7706076
29	7.32350852	151	20.6242795	273	12.6268151
30	7.4273679	152	20.6560252	274	12.4829338
31	7.53319031	153	20.6861215	275	12.3390184
32	7.64093441	154	20.7145749	276	12.195124
33	7.75055799	155	20.741392	277	12.0513056
34	7.86201803	156	20.7665789	278	11.9076187
35	7.9752707	157	20.7901418	279	11.764119
36	8.09027136	158	20.8120864	280	11.6208623
37	8.20697461	159	20.8324181	281	11.4779045
38	8.32533431	160	20.8511421	282	11.3353016
39	8.44530356	161	20.8682634	283	11.1931096
40	8.56683477	162	20.8837863	284	11.0513845
41	8.68987966	163	20.897715	285	10.9101824
42	8.81438927	164	20.9100533	286	10.7695591
43	8.94031401	165	20.9208047	287	10.6295705
44	9.06760367	166	20.9299719	288	10.4902721
45	9.19620746	167	20.9375577	289	10.3517195
46	9.326074	168	20.9435641	290	10.2139678
47	9.45715142	169	20.9479928	291	10.0770721
48	9.5893873	170	20.9508452	292	9.94108701
49	9.72272877	171	20.9521219	293	9.80606685
50	9.8571225	172	20.9518234	294	9.67206563
51	9.99251475	173	20.9499496	295	9.53913693
52	10.1288514	174	20.9464999	296	9.40733391

día	$\beta (\omega = 75^\circ)$	día	$\beta (\omega = 75^\circ)$	día	$\beta (\omega = 75^\circ)$
53	10.266078	175	20.9414734	297	9.27670927
54	10.4041397	176	20.9348687	298	9.14731523
55	10.5429814	177	20.9266838	299	9.01920348
56	10.6825479	178	20.9169165	300	8.89242518
57	10.8227837	179	20.905564	301	8.7670309
58	10.9636329	180	20.8926234	302	8.64307062
59	11.1050398	181	20.8780909	303	8.52059369
60	11.2469484	182	20.8619627	304	8.39964881
61	11.3893028	183	20.8442346	305	8.28028402
62	11.5320468	184	20.8249018	306	8.16254663
63	11.6751245	185	20.8039595	307	8.04648327
64	11.8184798	186	20.7814022	308	7.9321398
65	11.962057	187	20.7572245	309	7.81956134
66	12.1058003	188	20.7314205	310	7.7087922
67	12.249654	189	20.703984	311	7.59987592
68	12.3935629	190	20.6749087	312	7.49285522
69	12.5374718	191	20.6441881	313	7.38777198
70	12.6813258	192	20.6118155	314	7.28466722
71	12.8250706	193	20.577784	315	7.18358113
72	12.9686519	194	20.5420867	316	7.08455299
73	13.1120161	195	20.5047165	317	6.98762122
74	13.2551099	196	20.4656665	318	6.8928233
75	13.3978805	197	20.4249293	319	6.80019582
76	13.5402756	198	20.3824981	320	6.70977444
77	13.6822436	199	20.3383656	321	6.62159389
78	13.8237333	200	20.2925251	322	6.53568795
79	13.9646943	201	20.2449697	323	6.45208945
80	14.1050768	202	20.1956926	324	6.37083024
81	14.2448317	203	20.1446875	325	6.29194123
82	14.3839106	204	20.091948	326	6.21545233
83	14.5222661	205	20.0374683	327	6.14139248
84	14.6598514	206	19.9812426	328	6.06978964
85	14.7966205	207	19.9232657	329	6.00067076
86	14.9325285	208	19.8635325	330	5.9340618
87	15.0675311	209	19.8020387	331	5.86998772
88	15.2015852	210	19.7387801	332	5.80847247
89	15.3346485	211	19.6737532	333	5.74953901
90	15.4666797	212	19.6069549	334	5.69320927
91	15.5976386	213	19.5383829	335	5.63950416
92	15.727486	214	19.4680351	336	5.58844359

día	$\beta (\omega = 75^\circ)$	día	$\beta (\omega = 75^\circ)$	día	$\beta (\omega = 75^\circ)$
93	15.8561836	215	19.3959106	337	5.54004645
94	15.9836944	216	19.3220086	338	5.49433061
95	16.1099823	217	19.2463295	339	5.45131291
96	16.2350124	218	19.1688741	340	5.41100918
97	16.358751	219	19.0896442	341	5.37343421
98	16.4811654	220	19.0086423	342	5.3386018
99	16.6022241	221	18.9258717	343	5.30652468
100	16.7218967	222	18.8413368	344	5.27721459
101	16.8401541	223	18.7550427	345	5.25068223
102	16.9569682	224	18.6669955	346	5.22693727
103	17.0723124	225	18.5772022	347	5.20598838
104	17.1861608	226	18.4856708	348	5.18784317
105	17.2984892	227	18.3924106	349	5.17250824
106	17.4092741	228	18.2974314	350	5.15998917
107	17.5184936	229	18.2007445	351	5.1502905
108	17.6261268	230	18.102362	352	5.14341576
109	17.7321539	231	18.0022973	353	5.13936744
110	17.8365563	232	17.9005649	354	5.13814701
111	17.9393168	233	17.7971801	355	5.13975491
112	18.0404189	234	17.6921598	356	5.14419056
113	18.1398477	235	17.5855218	357	5.15145235
114	18.237589	236	17.477285	358	5.16153764
115	18.3336301	237	17.3674697	359	5.17444278
116	18.4279591	238	17.2560971	360	5.19016307
117	18.5205652	239	17.1431898	361	5.20869279
118	18.6114388	240	17.0287716	362	5.23002522
119	18.7005712	241	16.9128672	363	5.25415259
120	18.7879548	242	16.7955029	364	5.28106609
121	18.8735829	243	16.6767057	365	5.31075592
122	18.9574496	244	16.5565043		

Tabla 5 Valores de los ángulos de altura solar β para la latitud $\varphi = 19.68$ correspondiente a la FES Cuautitlán cuando $\omega = 60^\circ$ a lo largo de los 365 días del año.

día	$\beta (\omega = 60^\circ)$	día	$\beta (\omega = 60^\circ)$	día	$\beta (\omega = 60^\circ)$
1	17.602999	123	33.005946	245	30.5524298
2	17.6486445	124	33.0744948	246	30.4276274
3	17.697753	125	33.1410206	247	30.3008156
4	17.750302	126	33.2055452	248	30.1720223
5	17.8062673	127	33.2680916	249	30.0412775
6	17.8656235	128	33.3286835	250	29.9086131
7	17.9283431	129	33.3873458	251	29.774063
8	17.9943974	130	33.4441039	252	29.6376633
9	18.0637559	131	33.498984	253	29.4994519
10	18.1363868	132	33.5520131	254	29.3594687
11	18.2122565	133	33.6032187	255	29.2177555
12	18.29133	134	33.6526288	256	29.0743562
13	18.3735708	135	33.7002718	257	28.9293162
14	18.4589407	136	33.7461764	258	28.782683
15	18.5474002	137	33.7903717	259	28.6345057
16	18.6389083	138	33.8328871	260	28.4848354
17	18.7334225	139	33.8737517	261	28.3337247
18	18.8308987	140	33.9129952	262	28.1812279
19	18.9312917	141	33.9506469	263	28.0274008
20	19.0345544	142	33.986736	264	27.8723011
21	19.1406388	143	34.0212918	265	27.7159875
22	19.2494952	144	34.0543432	266	27.5585207
23	19.3610726	145	34.0859188	267	27.3999623
24	19.4753187	146	34.1160467	268	27.2403757
25	19.5921799	147	34.1447547	269	27.0798252
26	19.7116013	148	34.1720702	270	26.9183765
27	19.8335265	149	34.1980198	271	26.7560966
28	19.9578982	150	34.2226296	272	26.5930533
29	20.0846577	151	34.2459249	273	26.4293157
30	20.2137452	152	34.2679304	274	26.2649539

día	$\beta (\omega = 60^\circ)$	día	$\beta (\omega = 60^\circ)$	día	$\beta (\omega = 60^\circ)$
31	20.3450995	153	34.2886699	275	26.1000387
32	20.4786585	154	34.3081663	276	25.9346419
33	20.614359	155	34.3264417	277	25.7688361
34	20.7521367	156	34.3435171	278	25.6026946
35	20.891926	157	34.3594125	279	25.4362915
36	21.0336607	158	34.3741471	280	25.2697013
37	21.1772734	159	34.3877387	281	25.1029991
38	21.3226959	160	34.4002041	282	24.9362606
39	21.4698589	161	34.4115589	283	24.7695618
40	21.6186925	162	34.4218176	284	24.6029791
41	21.7691257	163	34.4309932	285	24.4365891
42	21.9210871	164	34.4390978	286	24.2704688
43	22.0745044	165	34.4461419	287	24.1046953
44	22.2293044	166	34.4521349	288	23.9393456
45	22.3854136	167	34.4570847	289	23.774497
46	22.5427578	168	34.4609979	290	23.6102268
47	22.7012622	169	34.4638799	291	23.446612
48	22.8608516	170	34.4657345	292	23.2837297
49	23.0214503	171	34.4665643	293	23.1216567
50	23.1829822	172	34.4663703	294	22.9604695
51	23.345371	173	34.4651523	295	22.8002444
52	23.50854	174	34.4629087	296	22.6410573
53	23.6724123	175	34.4596364	297	22.4829838
54	23.8369108	176	34.455331	298	22.3260989
55	24.0019583	177	34.4499867	299	22.1704771
56	24.1674777	178	34.4435964	300	22.0161925
57	24.3333918	179	34.4361515	301	21.8633185
58	24.4996234	180	34.4276423	302	21.7119278
59	24.6660954	181	34.4180577	303	21.5620924
60	24.8327311	182	34.4073852	304	21.4138837
61	24.999454	183	34.3956112	305	21.2673722
62	25.1661876	184	34.3827209	306	21.1226275
63	25.3328562	185	34.3686981	307	20.9797186
64	25.4993844	186	34.3535258	308	20.8387133
65	25.6656971	187	34.3371854	309	20.6996786
66	25.83172	188	34.3196576	310	20.5626806
67	25.9973793	189	34.300922	311	20.4277842
68	26.1626021	190	34.2809572	312	20.2950534
69	26.327316	191	34.2597406	313	20.1645509
70	26.4914496	192	34.2372491	314	20.0363387

día	$\beta (\omega = 60^\circ)$	día	$\beta (\omega = 60^\circ)$	día	$\beta (\omega = 60^\circ)$
71	26.6549322	193	34.2134585	315	19.9104771
72	26.8176942	194	34.188344	316	19.7870258
73	26.979667	195	34.1618798	317	19.6660428
74	27.1407831	196	34.1340397	318	19.5475853
75	27.300976	197	34.1047968	319	19.4317088
76	27.4601804	198	34.0741235	320	19.3184679
77	27.6183324	199	34.041992	321	19.2079156
78	27.7753694	200	34.0083738	322	19.1001039
79	27.9312299	201	33.9732402	323	18.9950831
80	28.0858542	202	33.9365623	324	18.8929025
81	28.2391838	203	33.8983108	325	18.7936095
82	28.3911618	204	33.8584564	326	18.6972506
83	28.5417329	205	33.8169696	327	18.6038707
84	28.6908434	206	33.773821	328	18.513513
85	28.8384413	207	33.7289813	329	18.4262197
86	28.9844764	208	33.6824212	330	18.3420312
87	29.1289001	209	33.6341119	331	18.2609864
88	29.2716657	210	33.5840246	332	18.183123
89	29.4127282	211	33.5321312	333	18.1084767
90	29.5520447	212	33.4784037	334	18.0370822
91	29.6895741	213	33.422815	335	17.9689723
92	29.8252771	214	33.3653383	336	17.9041784
93	29.9591167	215	33.3059476	337	17.8427302
94	30.0910575	216	33.2446178	338	17.784656
95	30.2210663	217	33.1813244	339	17.7299825
96	30.3491112	218	33.116044	340	17.6787347
97	30.4751654	219	33.048754	341	17.6309362
98	30.5991994	220	32.979433	342	17.5866087
99	30.721189	221	32.9080606	343	17.5457726
100	30.8411113	222	32.8346178	344	17.5084465
101	30.9589452	223	32.7590865	345	17.4746475
102	31.0746721	224	32.6814503	346	17.444391
103	31.1882751	225	32.6016939	347	17.4176908
104	31.2997395	226	32.5198036	348	17.3945591
105	31.4090526	227	32.4357671	349	17.3750063
106	31.5162039	228	32.3495738	350	17.3590415
107	31.6211846	229	32.2612146	351	17.3466719
108	31.723988	230	32.170682	352	17.3379032
109	31.8246096	231	32.0779704	353	17.3327392
110	31.9230466	232	31.9830758	354	17.3311824

día	$\beta (\omega = 60^\circ)$	día	$\beta (\omega = 60^\circ)$	día	$\beta (\omega = 60^\circ)$
111	32.019298	233	31.8859961	355	17.3332334
112	32.1133648	234	31.786731	356	17.3388914
113	32.20525	235	31.6852821	357	17.3481538
114	32.2949581	236	31.5816528	358	17.3610163
115	32.3824955	237	31.4758486	359	17.3774731
116	32.4678702	238	31.3678768	360	17.3975168
117	32.551092	239	31.257747	361	17.421138
118	32.632172	240	31.1454705	362	17.4483262
119	32.7111231	241	31.0310607	363	17.4790689
120	32.7879597	242	30.9145332	364	17.5133521
121	32.8626975	243	30.7959054	365	17.5511601
122	32.9353534	244	30.6751971		

Tabla 6 Valores de los ángulos de altura solar β para la latitud $\varphi = 19.68$ correspondiente a la FES Cuautitlán cuando $\omega = 45^\circ$ a lo largo de los 365 días del año.

día	$\beta (\omega = 45^\circ)$	día	$\beta (\omega = 45^\circ)$	día	$\beta (\omega = 45^\circ)$
1	28.8177349	123	47.0846779	245	44.5782175
2	28.8750339	124	47.1458318	246	44.4399249
3	28.9366761	125	47.2044623	247	44.2986964
4	29.0026322	126	47.2606214	248	44.1545627
5	29.072871	127	47.3143626	249	44.0075581
6	29.1473594	128	47.3657408	250	43.85772
7	29.2260619	129	47.4148121	251	43.7050892
8	29.3089411	130	47.4616339	252	43.54971

día	$\beta (\omega = 45^\circ)$	día	$\beta (\omega = 45^\circ)$	día	$\beta (\omega = 45^\circ)$
9	29.3959577	131	47.5062645	253	43.3916295
10	29.4870702	132	47.5487632	254	43.2308982
11	29.5822351	133	47.5891898	255	43.0675698
12	29.6814069	134	47.6276049	256	42.9017007
13	29.7845383	135	47.6640695	257	42.7333506
14	29.8915796	136	47.6986446	258	42.5625819
15	30.0024796	137	47.7313919	259	42.3894597
16	30.1171849	138	47.7623727	260	42.2140522
17	30.2356402	139	47.7916484	261	42.0364298
18	30.3577883	140	47.81928	262	41.8566657
19	30.4835701	141	47.8453283	263	41.6748354
20	30.6129246	142	47.8698535	264	41.491017
21	30.7457889	143	47.8929151	265	41.3052906
22	30.8820985	144	47.9145719	266	41.1177386
23	31.0217868	145	47.934882	267	40.9284455
24	31.1647855	146	47.9539022	268	40.7374977
25	31.3110247	147	47.9716884	269	40.5449834
26	31.4604324	148	47.9882951	270	40.3509927
27	31.6129353	149	48.0037756	271	40.1556173
28	31.7684581	150	48.0181818	272	39.9589504
29	31.926924	151	48.0315638	273	39.7610867
30	32.0882545	152	48.0439704	274	39.5621224
31	32.2523696	153	48.0554485	275	39.3621547
32	32.4191877	154	48.0660432	276	39.1612819
33	32.5886255	155	48.0757976	277	38.9596037
34	32.7605986	156	48.084753	278	38.7572205
35	32.9350208	157	48.0929485	279	38.5542334
36	33.1118046	158	48.1004211	280	38.3507445
37	33.2908613	159	48.1072057	281	38.1468565
38	33.4721006	160	48.1133348	282	37.9426725
39	33.6554311	161	48.1188386	283	37.7382962
40	33.8407601	162	48.123745	284	37.5338316
41	34.0279939	163	48.1280795	285	37.3293829
42	34.2170373	164	48.131865	286	37.1250546
43	34.4077944	165	48.135122	287	36.9209513
44	34.600168	166	48.1378684	288	36.7171775
45	34.7940602	167	48.1401195	289	36.5138377
46	34.9893719	168	48.1418881	290	36.3110361
47	35.1860034	169	48.1431843	291	36.1088769
48	35.3838541	170	48.1440156	292	35.9074637

día	$\beta (\omega = 45^\circ)$	día	$\beta (\omega = 45^\circ)$	día	$\beta (\omega = 45^\circ)$
49	35.5828226	171	48.1443868	293	35.7068999
50	35.7828071	172	48.1443	294	35.5072885
51	35.9837049	173	48.1437549	295	35.3087316
52	36.185413	174	48.1427481	296	35.1113311
53	36.3878279	175	48.1412739	297	34.915188
54	36.5908458	176	48.1393237	298	34.7204026
55	36.7943624	177	48.1368865	299	34.5270744
56	36.9982734	178	48.1339486	300	34.3353019
57	37.2024742	179	48.1304936	301	34.145183
58	37.4068604	180	48.1265025	302	33.9568142
59	37.6113274	181	48.1219541	303	33.7702912
60	37.8157708	182	48.1168244	304	33.5857086
61	38.0200865	183	48.111087	305	33.4031598
62	38.2241705	184	48.1047132	306	33.2227371
63	38.4279193	185	48.0976718	307	33.0445313
64	38.6312301	186	48.0899294	308	32.8686321
65	38.8340003	187	48.0814504	309	32.6951279
66	39.0361282	188	48.0721969	310	32.5241056
67	39.2375129	189	48.062129	311	32.3556508
68	39.4380543	190	48.0512047	312	32.1898475
69	39.6376533	191	48.0393801	313	32.0267782
70	39.8362118	192	48.0266094	314	31.866524
71	40.0336331	193	48.012845	315	31.7091644
72	40.2298216	194	47.9980377	316	31.5547772
73	40.4246831	195	47.9821365	317	31.4034387
74	40.6181249	196	47.9650891	318	31.2552232
75	40.810056	197	47.9468418	319	31.1102039
76	41.000387	198	47.9273393	320	30.9684516
77	41.1890303	199	47.9065256	321	30.8300359
78	41.3759002	200	47.8843432	322	30.6950244
79	41.5609131	201	47.8607339	323	30.5634827
80	41.7439873	202	47.8356385	324	30.435475
81	41.9250435	203	47.8089972	325	30.3110633
82	42.1040047	204	47.7807497	326	30.190308
83	42.2807962	205	47.750835	327	30.0732673
84	42.4553457	206	47.7191919	328	29.9599978
85	42.6275838	207	47.6857591	329	29.8505541
86	42.7974433	208	47.6504751	330	29.7449886
87	42.9648603	209	47.6132785	331	29.6433522
88	43.1297733	210	47.5741081	332	29.5456936

día	$\beta (\omega = 45^\circ)$	día	$\beta (\omega = 45^\circ)$	día	$\beta (\omega = 45^\circ)$
89	43.2921239	211	47.5329033	333	29.4520593
90	43.4518567	212	47.4896036	334	29.3624941
91	43.6089192	213	47.4441495	335	29.2770408
92	43.7632622	214	47.3964819	336	29.1957401
93	43.9148395	215	47.346543	337	29.1186304
94	44.0636084	216	47.2942758	338	29.0457486
95	44.2095292	217	47.2396246	339	28.9771291
96	44.3525656	218	47.182535	340	28.9128044
97	44.4926849	219	47.1229542	341	28.852805
98	44.6298574	220	47.0608308	342	28.7971592
99	44.7640571	221	46.9961152	343	28.7458932
100	44.8952615	222	46.9287598	344	28.6990313
101	45.0234512	223	46.8587188	345	28.6565955
102	45.1486107	224	46.7859487	346	28.6186059
103	45.2707277	225	46.7104082	347	28.5850802
104	45.3897933	226	46.6320582	348	28.5560343
105	45.5058022	227	46.5508623	349	28.5314817
106	45.6187526	228	46.4667865	350	28.5114341
107	45.7286458	229	46.3797995	351	28.4959008
108	45.8354866	230	46.2898728	352	28.4848891
109	45.9392832	231	46.1969809	353	28.4784043
110	46.0400469	232	46.101101	354	28.4764492
111	46.1377924	233	46.0022135	355	28.479025
112	46.2325374	234	45.9003019	356	28.4861302
113	46.3243027	235	45.7953527	357	28.4977617
114	46.4131112	236	45.6873558	358	28.5139139
115	46.4989921	237	45.5763043	359	28.5345793
116	46.5819727	238	45.4621948	360	28.5597482
117	46.6620858	239	45.3450269	361	28.5894087
118	46.7393666	240	45.224804	362	28.623547
119	46.8138524	241	45.1015327	363	28.6621468
120	46.8855832	242	44.9752231	364	28.7051902
121	46.9546011	243	44.8458888	365	28.7526568
122	47.0209505	244	44.7135468		

Tabla 7 Valores de los ángulos de altura solar β para la latitud $\varphi = 19.68$ correspondiente a la FES Cuautitlán cuando $\omega = 30^\circ$ a lo largo de los 365 días del año.

día	$\beta (\omega = 30^\circ)$	día	$\beta (\omega = 30^\circ)$	día	$\beta (\omega = 30^\circ)$
1	38.3045059	123	61.2037317	245	58.2555095
2	38.3750359	124	61.2649439	246	58.0815022
3	38.4509281	125	61.3225658	247	57.9032768
4	38.5321502	126	61.3766932	248	57.7208932
5	38.6186676	127	61.427425	249	57.5344166
6	38.7104435	128	61.4748629	250	57.3439176
7	38.8074385	129	61.5191116	251	57.1494714
8	38.9096113	130	61.5602778	252	56.9511584
9	39.016918	131	61.5984705	253	56.7490633
10	39.1293125	132	61.6338003	254	56.5432754
11	39.2467464	133	61.6663794	255	56.3338882
12	39.3691691	134	61.696321	256	56.1209994
13	39.4965277	135	61.7237393	257	55.9047101
14	39.628767	136	61.7487489	258	55.6851256
15	39.7658296	137	61.771465	259	55.4623542
16	39.9076557	138	61.7920026	260	55.2365076
17	40.0541836	139	61.8104763	261	55.0077007
18	40.205349	140	61.8270003	262	54.776051
19	40.3610856	141	61.8416881	263	54.5416786
20	40.5213249	142	61.8546518	264	54.3047064
21	40.6859961	143	61.8660026	265	54.0652592
22	40.8550263	144	61.8758498	266	53.8234639
23	41.0283404	145	61.8843009	267	53.5794495
24	41.2058612	146	61.8914618	268	53.3333466
25	41.3875092	147	61.8974356	269	53.0852871
26	41.573203	148	61.9023233	270	52.8354045
27	41.762859	149	61.9062231	271	52.5838334

día	$\beta (\omega = 30^\circ)$	día	$\beta (\omega = 30^\circ)$	día	$\beta (\omega = 30^\circ)$
28	41.9563914	150	61.9092307	272	52.3307095
29	42.1537124	151	61.9114383	273	52.0761692
30	42.3547322	152	61.9129353	274	51.8203498
31	42.5593588	153	61.9138076	275	51.5633891
32	42.7674985	154	61.9141378	276	51.3054252
33	42.9790551	155	61.9140046	277	51.0465967
34	43.193931	156	61.9134833	278	50.7870422
35	43.4120261	157	61.9126449	279	50.5269004
36	43.6332387	158	61.9115569	280	50.2663099
37	43.8574652	159	61.9102823	281	50.0054093
38	44.0845999	160	61.9088801	282	49.7443366
39	44.3145355	161	61.9074051	283	49.4832295
40	44.5471627	162	61.9059075	284	49.2222252
41	44.7823704	163	61.9044333	285	48.9614604
42	45.020046	164	61.9030238	286	48.701071
43	45.2600748	165	61.901716	287	48.4411921
44	45.5023407	166	61.9005421	288	48.181958
45	45.7467259	167	61.8995296	289	47.9235021
46	45.9931109	168	61.8987015	290	47.6659566
47	46.2413747	169	61.8980758	291	47.4094529
48	46.4913947	170	61.8976661	292	47.1541209
49	46.7430471	171	61.897481	293	46.9000897
50	46.9962063	172	61.8975244	294	46.6474867
51	47.2507456	173	61.8977953	295	46.3964383
52	47.5065369	174	61.8982882	296	46.1470694
53	47.7634508	175	61.8989924	297	45.8995033
54	48.0213569	176	61.8998928	298	45.6538621
55	48.2801234	177	61.9009694	299	45.4102661
56	48.5396176	178	61.9021976	300	45.1688343
57	48.7997058	179	61.903548	301	44.9296838
58	49.0602534	180	61.9049865	302	44.6929302
59	49.321125	181	61.9064747	303	44.4586873
60	49.5821844	182	61.9079694	304	44.2270672
61	49.8432946	183	61.909423	305	43.9981804
62	50.1043184	184	61.9107835	306	43.7721354
63	50.3651177	185	61.9119945	307	43.5490388
64	50.6255544	186	61.9129956	308	43.3289956
65	50.8854899	187	61.9137219	309	43.1121087
66	51.1447856	188	61.9141048	310	42.8984792
67	51.4033028	189	61.9140714	311	42.6882062

día	$\beta (\omega = 30^\circ)$	día	$\beta (\omega = 30^\circ)$	día	$\beta (\omega = 30^\circ)$
68	51.6609028	190	61.9135452	312	42.4813868
69	51.9174472	191	61.912446	313	42.2781162
70	52.172798	192	61.91069	314	42.0784875
71	52.4268175	193	61.9081899	315	41.882592
72	52.6793689	194	61.9048552	316	41.6905185
73	52.930316	195	61.9005923	317	41.5023543
74	53.1795234	196	61.8953047	318	41.3181841
75	53.426857	197	61.888893	319	41.1380908
76	53.6721839	198	61.8812555	320	40.9621551
77	53.9153725	199	61.8722877	321	40.7904556
78	54.1562929	200	61.8618835	322	40.6230688
79	54.3948169	201	61.8499343	323	40.4600688
80	54.6308184	202	61.8363303	324	40.3015278
81	54.8641732	203	61.8209599	325	40.1475157
82	55.0947595	204	61.8037103	326	39.9981003
83	55.3224581	205	61.7844679	327	39.8533469
84	55.5471525	206	61.7631182	328	39.713319
85	55.7687291	207	61.7395464	329	39.5780776
86	55.9870773	208	61.7136374	330	39.4476814
87	56.20209	209	61.6852762	331	39.3221871
88	56.4136634	210	61.6543484	332	39.2016491
89	56.6216977	211	61.6207401	333	39.0861192
90	56.8260968	212	61.5843384	334	38.9756475
91	57.0267688	213	61.5450317	335	38.8702812
92	57.223626	214	61.5027099	336	38.7700658
93	57.4165854	215	61.457265	337	38.675044
94	57.6055685	216	61.4085908	338	38.5852566
95	57.7905019	217	61.356584	339	38.5007419
96	57.971317	218	61.3011436	340	38.4215359
97	58.1479505	219	61.242172	341	38.3476723
98	58.3203445	220	61.1795748	342	38.2791825
99	58.4884466	221	61.1132611	343	38.2160956
100	58.6522101	222	61.0431441	344	38.1584384
101	58.811594	223	60.9691409	345	38.1062351
102	58.9665633	224	60.8911731	346	38.0595081
103	59.1170887	225	60.8091669	347	38.0182769
104	59.2631473	226	60.7230533	348	37.9825591
105	59.4047222	227	60.6327683	349	37.9523696
106	59.5418026	228	60.5382534	350	37.9277213
107	59.6743841	229	60.4394551	351	37.9086245

día	$\beta (\omega = 30^\circ)$	día	$\beta (\omega = 30^\circ)$	día	$\beta (\omega = 30^\circ)$
108	59.8024683	230	60.3363259	352	37.8950872
109	59.9260632	231	60.2288237	353	37.8871153
110	60.0451829	232	60.1169125	354	37.884712
111	60.1598477	233	60.000562	355	37.8878783
112	60.2700841	234	59.8797483	356	37.8966129
113	60.3759243	235	59.7544533	357	37.9109122
114	60.4774069	236	59.6246652	358	37.9307701
115	60.5745758	237	59.4903785	359	37.9561782
116	60.6674811	238	59.3515938	360	37.9871259
117	60.7561779	239	59.208318	361	38.0236
118	60.840727	240	59.0605641	362	38.0655852
119	60.9211943	241	58.9083514	363	38.1130637
120	60.9976505	242	58.7517053	364	38.1660155
121	61.0701714	243	58.590657	365	38.2244181
122	61.138837	244	58.4252441		

Tabla 8 Valores de los ángulos de altura solar β para la latitud $\varphi = 19.68$ correspondiente a la FES Cuautitlán cuando $\omega = 15^\circ$ a lo largo de los 365 días del año.

día	$\beta (\omega = 15^\circ)$	día	$\beta (\omega = 15^\circ)$	día	$\beta (\omega = 15^\circ)$
1	44.9488639	123	75.2050544	245	70.6940667
2	45.0316453	124	75.2907179	246	70.4312126
3	45.1207532	125	75.3697777	247	70.1631225

día	$\beta (\omega = 15^\circ)$	día	$\beta (\omega = 15^\circ)$	día	$\beta (\omega = 15^\circ)$
4	45.216157	126	75.4423851	248	69.8899762
5	45.317824	127	75.5087051	249	69.6119558
6	45.4257194	128	75.5689162	250	69.3292462
7	45.5398062	129	75.6232093	251	69.0420336
8	45.6600452	130	75.6717866	252	68.7505057
9	45.786395	131	75.7148608	253	68.4548512
10	45.9188121	132	75.7526538	254	68.1552594
11	46.0572509	133	75.7853958	255	67.8519198
12	46.2016634	134	75.8133241	256	67.5450221
13	46.3519999	135	75.8366818	257	67.2347555
14	46.5082081	136	75.8557167	258	66.9213089
15	46.6702339	137	75.8706804	259	66.6048706
16	46.8380211	138	75.8818267	260	66.2856276
17	47.011511	139	75.889411	261	65.9637664
18	47.1906433	140	75.8936888	262	65.6394721
19	47.3753553	141	75.894915	263	65.3129284
20	47.5655823	142	75.8933428	264	64.9843177
21	47.7612575	143	75.889223	265	64.653821
22	47.962312	144	75.8828026	266	64.3216177
23	48.168675	145	75.8743248	267	63.9878853
24	48.3802735	146	75.8640277	268	63.6528
25	48.5970324	147	75.852144	269	63.316536
26	48.8188748	148	75.8388999	270	62.9792658
27	49.0457215	149	75.8245153	271	62.6411601
28	49.2774914	150	75.8092028	272	62.3023876
29	49.5141014	151	75.7931672	273	61.9631153
30	49.7554665	152	75.7766056	274	61.6235082
31	50.0014995	153	75.7597067	275	61.2837296
32	50.2521113	154	75.7426506	276	60.9439407
33	50.5072108	155	75.7256087	277	60.6043008
34	50.7667051	156	75.7087434	278	60.2649674
35	51.030499	157	75.6922077	279	59.926096
36	51.2984957	158	75.6761455	280	59.5878401
37	51.5705961	159	75.6606911	281	59.2503514
38	51.8466995	160	75.6459695	282	58.9137797
39	52.1267031	161	75.6320958	283	58.5782727
40	52.410502	162	75.6191757	284	58.2439764
41	52.6979896	163	75.607305	285	57.9110348
42	52.9890574	164	75.59657	286	57.57959
43	53.2835949	165	75.587047	287	57.2497821

día	$\beta (\omega = 15^\circ)$	día	$\beta (\omega = 15^\circ)$	día	$\beta (\omega = 15^\circ)$
44	53.5814896	166	75.5788027	288	56.9217494
45	53.8826273	167	75.5718939	289	56.5956283
46	54.1868916	168	75.5663678	290	56.2715533
47	54.4941646	169	75.5622615	291	55.9496569
48	54.8043261	170	75.5596026	292	55.6300698
49	55.1172542	171	75.5584089	293	55.3129208
50	55.4328252	172	75.5586882	294	54.9983367
51	55.7509133	173	75.5604387	295	54.6864427
52	56.0713909	174	75.5636487	296	54.3773617
53	56.3941285	175	75.5682969	297	54.071215
54	56.7189947	176	75.574352	298	53.7681218
55	57.0458562	177	75.581773	299	53.4681997
56	57.3745778	178	75.5905092	300	53.171564
57	57.7050225	179	75.6004999	301	52.8783284
58	58.0370512	180	75.6116748	302	52.5886046
59	58.3705231	181	75.6239539	303	52.3025023
60	58.7052952	182	75.6372472	304	52.0201294
61	59.041223	183	75.6514552	305	51.7415918
62	59.3781598	184	75.6664686	306	51.4669935
63	59.715957	185	75.6821686	307	51.1964366
64	60.0544641	186	75.6984266	308	50.9300213
65	60.3935288	187	75.7151046	309	50.6678456
66	60.7329968	188	75.7320554	310	50.4100059
67	61.0727117	189	75.7491223	311	50.1565963
68	61.4125156	190	75.7661394	312	49.9077093
69	61.7522483	191	75.7829321	313	49.6634351
70	62.0917477	192	75.799317	314	49.423862
71	62.4308501	193	75.8151022	315	49.1890765
72	62.7693897	194	75.8300876	316	48.9591628
73	63.1071988	195	75.8440654	317	48.7342033
74	63.4441078	196	75.8568201	318	48.5142784
75	63.7799455	197	75.8681295	319	48.2994663
76	64.1145386	198	75.8777647	320	48.0898434
77	64.4477123	199	75.8854911	321	47.8854838
78	64.7792898	200	75.8910684	322	47.6864598
79	65.1090929	201	75.894252	323	47.4928415
80	65.4369415	202	75.8947932	324	47.3046969
81	65.7626543	203	75.8924404	325	47.1220921
82	66.0860481	204	75.8869395	326	46.945091
83	66.4069389	205	75.8780353	327	46.7737554

día	$\beta (\omega = 15^\circ)$	día	$\beta (\omega = 15^\circ)$	día	$\beta (\omega = 15^\circ)$
84	66.7251409	206	75.8654722	328	46.6081451
85	67.0404674	207	75.8489952	329	46.4483176
86	67.352731	208	75.8283514	330	46.2943285
87	67.661743	209	75.8032904	331	46.1462312
88	67.9673145	210	75.773566	332	46.0040769
89	68.269256	211	75.7389372	333	45.8679149
90	68.5673778	212	75.6991693	334	45.737792
91	68.8614906	213	75.6540351	335	45.6137532
92	69.1514051	214	75.603316	336	45.4958412
93	69.4369332	215	75.5468032	337	45.3840964
94	69.7178874	216	75.4842986	338	45.2785573
95	69.9940821	217	75.415616	339	45.1792601
96	70.2653335	218	75.3405819	340	45.0862387
97	70.5314601	219	75.2590363	341	44.9995251
98	70.7922834	220	75.1708336	342	44.9191489
99	71.0476284	221	75.0758432	343	44.8451376
100	71.2973242	222	74.9739499	344	44.7775164
101	71.5412043	223	74.8650547	345	44.7163085
102	71.7791078	224	74.7490746	346	44.6615347
103	72.0108797	225	74.6259431	347	44.6132136
104	72.2363717	226	74.4956102	348	44.5713618
105	72.4554431	227	74.3580424	349	44.5359935
106	72.6679614	228	74.2132225	350	44.5071208
107	72.873803	229	74.061149	351	44.4847534
108	73.0728543	230	73.9018365	352	44.468899
109	73.2650124	231	73.7353144	353	44.459563
110	73.4501855	232	73.561627	354	44.4567485
111	73.6282943	233	73.3808322	355	44.4604565
112	73.7992722	234	73.1930018	356	44.4706858
113	73.9630663	235	72.9982197	357	44.4874329
114	74.1196379	236	72.7965822	358	44.510692
115	74.2689631	237	72.5881962	359	44.5404553
116	74.4110335	238	72.3731793	360	44.5767126
117	74.5458563	239	72.1516584	361	44.6194515
118	74.6734551	240	71.9237693	362	44.6686576
119	74.7938694	241	71.6896557	363	44.7243141
120	74.9071556	242	71.4494685	364	44.7864019
121	75.0133865	243	71.203365	365	44.8548999
122	75.112651	244	70.9515083		

Tabla 9 Valores de los ángulos de altura solar β para la latitud $\varphi = 19.68$ correspondiente a la FES Cuautitlán cuando $\omega = 0^\circ$ a lo largo de los 365 días del año.

día	$\beta (\omega = 0^\circ)$	día	$\beta (\omega = 0^\circ)$	día	$\beta (\omega = 0^\circ)$
1	47.3938884	123	86.1272095	245	77.3200474
2	47.4820706	124	86.4228344	246	76.9340175
3	47.5770112	125	86.7136939	247	76.5460304
4	47.6786821	126	86.9997021	248	76.1562008
5	47.7870533	127	87.2807742	249	75.7646441
6	47.9020925	128	87.5568272	250	75.3714762
7	48.0237659	129	87.8277793	251	74.9768135
8	48.1520374	130	88.0935504	252	74.5807726
9	48.2868691	131	88.3540617	253	74.1834708
10	48.4282209	132	88.6092362	254	73.7850257
11	48.5760512	133	88.8589984	255	73.3855553
12	48.7303162	134	89.1032744	256	72.9851776
13	48.8909702	135	89.3419919	257	72.5840112
14	49.0579656	136	89.5750802	258	72.1821749
15	49.2312531	137	89.8024704	259	71.7797875
16	49.4107814	138	89.9759049	260	71.3769681
17	49.5964973	139	89.7601112	261	70.9738359
18	49.7883459	140	89.5502123	262	70.5705102
19	49.9862705	141	89.3462705	263	70.1671103

día	$\beta (\omega = 0^\circ)$	día	$\beta (\omega = 0^\circ)$	día	$\beta (\omega = 0^\circ)$
20	50.1902123	142	89.1483459	264	69.7637558
21	50.4001112	143	88.9564973	265	69.3605658
22	50.6159049	144	88.7707814	266	68.9576597
23	50.8375296	145	88.5912531	267	68.5551568
24	51.0649198	146	88.4179656	268	68.1531762
25	51.2980081	147	88.2509702	269	67.7518368
26	51.5367256	148	88.0903162	270	67.3512574
27	51.7810016	149	87.9360512	271	66.9515565
28	52.0307638	150	87.7882209	272	66.5528525
29	52.2859383	151	87.6468691	273	66.1552633
30	52.5464496	152	87.5120374	274	65.7589065
31	52.8122207	153	87.3837659	275	65.3638995
32	53.0831728	154	87.2620925	276	64.9703591
33	53.3592258	155	87.1470533	277	64.5784019
34	53.6402979	156	87.0386821	278	64.1881437
35	53.9263061	157	86.9370112	279	63.7997002
36	54.2171656	158	86.8420706	280	63.4131862
37	54.5127905	159	86.7538884	281	63.0287161
38	54.8130931	160	86.6724908	282	62.6464038
39	55.1179847	161	86.5979017	283	62.2663622
40	55.427375	162	86.5301432	284	61.888704
41	55.7411725	163	86.4692355	285	61.5135409
42	56.0592843	164	86.4151965	286	61.1409838
43	56.3816162	165	86.3680423	287	60.771143
44	56.7080729	166	86.3277867	288	60.4041281
45	57.0385578	167	86.2944418	289	60.0400475
46	57.372973	168	86.2680173	290	59.6790091
47	57.7112197	169	86.2485211	291	59.3211197
48	58.0531976	170	86.2359589	292	58.9664851
49	58.3988057	171	86.2303345	293	58.6152104
50	58.7479415	172	86.2316496	294	58.2673995
51	59.1005019	173	86.2399037	295	57.9231553
52	59.4563825	174	86.2550944	296	57.5825797
53	59.8154779	175	86.2772172	297	57.2457734
54	60.1776819	176	86.3062656	298	56.9128362
55	60.5428873	177	86.342231	299	56.5838666
56	60.9109861	178	86.3851026	300	56.2589618
57	61.2818692	179	86.4348679	301	55.9382182
58	61.655427	180	86.4915122	302	55.6217305
59	62.0315489	181	86.5550185	303	55.3095925

día	$\beta (\omega = 0^\circ)$	día	$\beta (\omega = 0^\circ)$	día	$\beta (\omega = 0^\circ)$
60	62.4101236	182	86.6253682	304	55.0018965
61	62.791039	183	86.7025405	305	54.6987336
62	63.1741825	184	86.7865125	306	54.4001934
63	63.5594406	185	86.8772593	307	54.1063644
64	63.9466994	186	86.9747541	308	53.8173335
65	64.3358443	187	87.078968	309	53.5331862
66	64.72676	188	87.1898702	310	53.2540066
67	65.1193309	189	87.307428	311	52.9798773
68	65.5134408	190	87.4316064	312	52.7108795
69	65.9089732	191	87.5623687	313	52.4470927
70	66.3058109	192	87.6996763	314	52.188595
71	66.7038365	193	87.8434886	315	51.935463
72	67.1029323	194	87.9937629	316	51.6877714
73	67.50298	195	88.1504547	317	51.4455937
74	67.9038614	196	88.3135178	318	51.2090015
75	68.3054578	197	88.4829039	319	50.9780647
76	68.7076504	198	88.6585628	320	50.7528518
77	69.1103201	199	88.8404425	321	50.5334294
78	69.5133478	200	89.0284893	322	50.3198624
79	69.9166142	201	89.2226475	323	50.112214
80	70.32	202	89.4228595	324	49.9105458
81	70.7233858	203	89.6290663	325	49.7149172
82	71.1266522	204	89.8412067	326	49.5253863
83	71.5296799	205	89.940782	327	49.3420091
84	71.9323496	206	89.7169643	328	49.16484
85	72.3345422	207	89.4874066	329	48.9939312
86	72.7361386	208	89.2521766	330	48.8293335
87	73.13702	209	89.0113441	331	48.6710954
88	73.5370677	210	88.7649802	332	48.5192639
89	73.9361635	211	88.5131579	333	48.3738839
90	74.3341891	212	88.2559518	334	48.2349984
91	74.7310268	213	87.9934379	335	48.1026484
92	75.1265592	214	87.7256939	336	47.9768733
93	75.5206691	215	87.452799	337	47.8577101
94	75.91324	216	87.1748341	338	47.7451941
95	76.3041557	217	86.8918813	339	47.6393587
96	76.6933006	218	86.6040244	340	47.5402352
97	77.0805594	219	86.3113486	341	47.4478528
98	77.4658175	220	86.0139405	342	47.362239
99	77.848961	221	85.7118881	343	47.283419

día	$\beta (\omega = 0^\circ)$	día	$\beta (\omega = 0^\circ)$	día	$\beta (\omega = 0^\circ)$
100	78.2298764	222	85.4052808	344	47.2114163
101	78.6084511	223	85.0942094	345	47.146252
102	78.984573	224	84.7787658	346	47.0879455
103	79.3581308	225	84.4590434	347	47.0365141
104	79.7290139	226	84.1351369	348	46.9919729
105	80.0971127	227	83.8071421	349	46.9543352
106	80.4623181	228	83.475156	350	46.923612
107	80.8245221	229	83.139277	351	46.8998125
108	81.1836175	230	82.7996043	352	46.8829438
109	81.5394981	231	82.4562386	353	46.8730107
110	81.8920585	232	82.1092814	354	46.8700163
111	82.2411943	233	81.7588355	355	46.8739614
112	82.5868024	234	81.4050044	356	46.8848449
113	82.9287803	235	81.047893	357	46.9026635
114	83.267027	236	80.6876068	358	46.927412
115	83.6014422	237	80.3242526	359	46.959083
116	83.9319271	238	79.9579379	360	46.9976672
117	84.2583838	239	79.588771	361	47.0431532
118	84.5807157	240	79.2168612	362	47.0955275
119	84.8988275	241	78.8423185	363	47.1547745
120	85.212625	242	78.4652539	364	47.2208768
121	85.5220153	243	78.0857789	365	47.2938148
122	85.8269069	244	77.7040057		

Tabla 10 Valores de los ángulos de acimut γ para la latitud $\varphi = 19.68$ correspondiente a la FES Cuautitlán cuando $\omega = 90^\circ$ a lo largo de los 365 días del año.

día	$\gamma (\omega = 90^\circ)$	día	$\gamma (\omega = 90^\circ)$	día	$\gamma (\omega = 90^\circ)$
1	111.71483	123	75.0737237	245	83.4051264
2	111.63035	124	74.7929608	246	83.7691877
3	111.539408	125	74.5166375	247	84.1350307
4	111.442032	126	74.2448382	248	84.5025499
5	111.338255	127	73.9776466	249	84.8716395
6	111.22811	128	73.7151447	250	85.2421936
7	111.111632	129	73.4574135	251	85.6141055
8	110.98886	130	73.2045327	252	85.9872689
9	110.859833	131	72.9565807	253	86.3615767
10	110.724592	132	72.7136344	254	86.7369219
11	110.583181	133	72.4757695	255	87.1131972
12	110.435647	134	72.24306	256	87.4902951
13	110.282035	135	72.0155788	257	87.868108
14	110.122395	136	71.7933971	258	88.2465282
15	109.956779	137	71.5765847	259	88.6254477
16	109.785239	138	71.3652096	260	89.0047586
17	109.60783	139	71.1593386	261	89.3843529
18	109.424608	140	70.9590367	262	89.7641224
19	109.235633	141	70.7643671	263	90.1439591
20	109.040963	142	70.5753917	264	90.5237549
21	108.840661	143	70.3921703	265	90.9034015
22	108.63479	144	70.2147614	266	91.2827909
23	108.423415	145	70.0432214	267	91.661815
24	108.206603	146	69.8776051	268	92.0403659
25	107.984421	147	69.7179654	269	92.4183357
26	107.75694	148	69.5643535	270	92.7956165
27	107.524231	149	69.4168186	271	93.1721007
28	107.286366	150	69.275408	272	93.5476808
29	107.043419	151	69.1401674	273	93.9222495
30	106.795467	152	69.0111402	274	94.2956996
31	106.542586	153	68.888368	275	94.6679242
32	106.284855	154	68.7718904	276	95.0388167
33	106.022353	155	68.6617452	277	95.4082704

día	$\gamma (\omega = 90^\circ)$	día	$\gamma (\omega = 90^\circ)$	día	$\gamma (\omega = 90^\circ)$
34	105.755162	156	68.5579679	278	95.7761794
35	105.483363	157	68.4605923	279	96.1424377
36	105.207039	158	68.3696497	280	96.5069398
37	104.926276	159	68.2851698	281	96.8695806
38	104.64116	160	68.2071801	282	97.2302552
39	104.351776	161	68.1357057	283	97.5888592
40	104.058214	162	68.0707701	284	97.9452887
41	103.760562	163	68.0123943	285	98.29944
42	103.45891	164	67.9605974	286	98.6512102
43	103.153349	165	67.9153962	287	99.0004967
44	102.843972	166	67.8768056	288	99.3471974
45	102.530871	167	67.8448379	289	99.6912108
46	102.21414	168	67.8195038	290	100.032436
47	101.893875	169	67.8008115	291	100.370773
48	101.570169	170	67.788767	292	100.706121
49	101.24312	171	67.7833743	293	101.038383
50	100.912825	172	67.7846352	294	101.367459
51	100.579382	173	67.7925492	295	101.693252
52	100.242889	174	67.8071138	296	102.015665
53	99.9034462	175	67.8283242	297	102.334603
54	99.5611524	176	67.8561736	298	102.649969
55	99.2161086	177	67.8906527	299	102.961669
56	98.8684159	178	67.9317503	300	103.269611
57	98.5181761	179	67.9794531	301	103.573701
58	98.1654913	180	68.0337455	302	103.873847
59	97.8104644	181	68.0946098	303	104.16996
60	97.4531986	182	68.1620262	304	104.461949
61	97.0937976	183	68.2359728	305	104.749726
62	96.7323655	184	68.3164254	306	105.033202
63	96.3690069	185	68.403358	307	105.312293
64	96.0038268	186	68.4967423	308	105.586911
65	95.6369304	187	68.596548	309	105.856974
66	95.2684235	188	68.7027428	310	106.122398
67	94.898412	189	68.8152922	311	106.383101
68	94.5270021	190	68.93416	312	106.639003
69	94.1543005	191	69.0593076	313	106.890025
70	93.7804138	192	69.1906947	314	107.136089
71	93.4054492	193	69.328279	315	107.377118
72	93.0295138	194	69.4720161	316	107.613038
73	92.652715	195	69.6218599	317	107.843775

día	$\gamma (\omega = 90^\circ)$	día	$\gamma (\omega = 90^\circ)$	día	$\gamma (\omega = 90^\circ)$
74	92.2751604	196	69.7777622	318	108.069255
75	91.8969577	197	69.9396732	319	108.28941
76	91.5182147	198	70.1075409	320	108.50417
77	91.1390394	199	70.2813118	321	108.713467
78	90.7595398	200	70.4609303	322	108.917235
79	90.379824	201	70.6463394	323	109.115409
80	90	202	70.8374801	324	109.307928
81	89.620176	203	71.0342917	325	109.49473
82	89.2404602	204	71.2367118	326	109.675755
83	88.8609606	205	71.4446766	327	109.850946
84	88.4817853	206	71.6581204	328	110.020247
85	88.1030423	207	71.8769759	329	110.183604
86	87.7248396	208	72.1011744	330	110.340966
87	87.347285	209	72.3306455	331	110.49228
88	86.9704862	210	72.5653176	332	110.637499
89	86.5945508	211	72.8051172	333	110.776577
90	86.2195862	212	73.0499696	334	110.909467
91	85.8456995	213	73.2997987	335	111.036129
92	85.4729979	214	73.5545271	336	111.15652
93	85.101588	215	73.8140758	337	111.270602
94	84.7315765	216	74.0783647	338	111.378338
95	84.3630696	217	74.3473124	339	111.479693
96	83.9961732	218	74.6208362	340	111.574634
97	83.6309931	219	74.8988521	341	111.66313
98	83.2676345	220	75.1812753	342	111.745153
99	82.9062024	221	75.4680193	343	111.820677
100	82.5468014	222	75.758997	344	111.889676
101	82.1895356	223	76.0541199	345	111.952127
102	81.8345087	224	76.3532986	346	112.008012
103	81.4818239	225	76.6564426	347	112.057311
104	81.1315841	226	76.9634606	348	112.100008
105	80.7838914	227	77.27426	349	112.13609
106	80.4388476	228	77.5887477	350	112.165545
107	80.0965538	229	77.9068295	351	112.188363
108	79.7571105	230	78.2284103	352	112.204536
109	79.4206177	231	78.5533942	353	112.21406
110	79.0871746	232	78.8816847	354	112.216931
111	78.7568797	233	79.2131843	355	112.213148
112	78.429831	234	79.5477949	356	112.202713
113	78.1061255	235	79.8854177	357	112.185629

día	$\gamma (\omega = 90^\circ)$	día	$\gamma (\omega = 90^\circ)$	día	$\gamma (\omega = 90^\circ)$
114	77.7858596	236	80.2259531	358	112.161902
115	77.4691288	237	80.569301	359	112.131538
116	77.1560279	238	80.9153607	360	112.09455
117	76.8466507	239	81.2640307	361	112.050947
118	76.5410902	240	81.6152093	362	112.000745
119	76.2394383	241	81.9687938	363	111.943959
120	75.9417862	242	82.3246815	364	111.880609
121	75.6482238	243	82.6827688	365	111.810715
122	75.3588404	244	83.0429518		

Tabla 11 Valores de los ángulos de acimut γ para la latitud $\phi = 19.68$ correspondiente a la FES Cuautitlán cuando $\omega = 75^\circ$ a lo largo de los 365 días del año.

día	$\gamma (\omega = 75^\circ)$	día	$\gamma (\omega = 75^\circ)$	día	$\gamma (\omega = 75^\circ)$
1	116.681047	123	79.4779125	245	88.3128215
2	116.600136	124	79.1768734	246	88.6942264
3	116.513014	125	78.880402	247	89.0770816
4	116.419703	126	78.5886002	248	89.4612684
5	116.320229	127	78.3015687	249	89.8466684
6	116.214618	128	78.0194065	250	90.2331635
7	116.102898	129	77.7422114	251	90.6206354

día	$\gamma (\omega = 75^\circ)$	día	$\gamma (\omega = 75^\circ)$	día	$\gamma (\omega = 75^\circ)$
8	115.985099	130	77.4700796	252	91.0089666
9	115.861253	131	77.2031056	253	91.3980395
10	115.731393	132	76.9413825	254	91.7877369
11	115.595552	133	76.6850017	255	92.1779421
12	115.453768	134	76.4340529	256	92.5685387
13	115.306078	135	76.1886238	257	92.9594107
14	115.152522	136	75.9488008	258	93.3504427
15	114.993139	137	75.714668	259	93.7415196
16	114.827972	138	75.4863079	260	94.132527
17	114.657064	139	75.263801	261	94.523351
18	114.480462	140	75.0472259	262	94.9138783
19	114.298211	141	74.836659	263	95.303996
20	114.11036	142	74.6321749	264	95.6935921
21	113.916958	143	74.433846	265	96.0825552
22	113.718056	144	74.2417428	266	96.4707744
23	113.513707	145	74.0559333	267	96.8581396
24	113.303963	146	73.8764837	268	97.2445415
25	113.08888	147	73.7034577	269	97.6298714
26	112.868515	148	73.5369171	270	98.0140214
27	112.642924	149	73.376921	271	98.3968844
28	112.412168	150	73.2235265	272	98.778354
29	112.176306	151	73.0767885	273	99.1583247
30	111.935399	152	72.9367593	274	99.5366917
31	111.689512	153	72.8034888	275	99.9133512
32	111.438708	154	72.6770249	276	100.2882
33	111.183052	155	72.5574126	277	100.661136
34	110.922611	156	72.4446948	278	101.032058
35	110.657452	157	72.3389118	279	101.400864
36	110.387645	158	72.2401016	280	101.767457
37	110.113261	159	72.1482995	281	102.131737
38	109.834369	160	72.0635384	282	102.493606
39	109.551044	161	71.9858488	283	102.852967
40	109.263358	162	71.9152584	284	103.209724
41	108.971386	163	71.8517926	285	103.563783
42	108.675204	164	71.7954742	286	103.91505
43	108.37489	165	71.7463233	287	104.26343
44	108.070521	166	71.7043577	288	104.608832
45	107.762177	167	71.6695923	289	104.951166
46	107.449937	168	71.6420397	290	105.29034
47	107.133885	169	71.6217098	291	105.626265

día	$\gamma (\omega = 75^\circ)$	día	$\gamma (\omega = 75^\circ)$	día	$\gamma (\omega = 75^\circ)$
48	106.8141	170	71.6086098	292	105.958854
49	106.490669	171	71.6027444	293	106.288019
50	106.163674	172	71.6041158	294	106.613673
51	105.833201	173	71.6127235	295	106.935732
52	105.499337	174	71.6285644	296	107.254112
53	105.16217	175	71.6516327	297	107.568729
54	104.821788	176	71.6819202	298	107.879502
55	104.478281	177	71.7194161	299	108.186349
56	104.131739	178	71.7641069	300	108.48919
57	103.782254	179	71.8159764	301	108.787947
58	103.429919	180	71.8750062	302	109.082543
59	103.074826	181	71.9411751	303	109.372899
60	102.71707	182	72.0144592	304	109.658941
61	102.356747	183	72.0948323	305	109.940595
62	101.993953	184	72.1822656	306	110.217787
63	101.628785	185	72.2767278	307	110.490445
64	101.261342	186	72.378185	308	110.758498
65	100.891722	187	72.4866009	309	111.021877
66	100.520025	188	72.6019366	310	111.280512
67	100.146352	189	72.7241508	311	111.534337
68	99.7708047	190	72.8531999	312	111.783286
69	99.393486	191	72.9890376	313	112.027292
70	99.0144989	192	73.1316155	314	112.266294
71	98.6339477	193	73.2808826	315	112.500228
72	98.2519376	194	73.4367856	316	112.729034
73	97.8685742	195	73.599269	317	112.952651
74	97.4839644	196	73.7682747	318	113.171021
75	97.0982155	197	73.9437426	319	113.384087
76	96.7114356	198	74.1256102	320	113.591793
77	96.3237338	199	74.3138129	321	113.794084
78	95.9352197	200	74.5082838	322	113.990908
79	95.5460037	201	74.7089539	323	114.182212
80	95.1561967	202	74.915752	324	114.367946
81	94.7659105	203	75.1286049	325	114.548062
82	94.3752575	204	75.3474373	326	114.722511
83	93.9843506	205	75.5721719	327	114.891248
84	93.5933034	206	75.8027294	328	115.054228
85	93.2022301	207	76.0390286	329	115.211407
86	92.8112451	208	76.2809864	330	115.362746
87	92.4204639	209	76.5285176	331	115.508202

día	$\gamma (\omega = 75^\circ)$	día	$\gamma (\omega = 75^\circ)$	día	$\gamma (\omega = 75^\circ)$
88	92.030002	210	76.7815356	332	115.647737
89	91.6399755	211	77.0399518	333	115.781315
90	91.250501	212	77.3036758	334	115.9089
91	90.8616955	213	77.5726156	335	116.030458
92	90.4736761	214	77.8466777	336	116.145957
93	90.0865605	215	78.1257667	337	116.255365
94	89.7004666	216	78.409786	338	116.358653
95	89.3155124	217	78.6986372	339	116.455795
96	88.9318163	218	78.9922206	340	116.546763
97	88.5494969	219	79.2904353	341	116.631534
98	88.1686726	220	79.5931786	342	116.710084
99	87.7894622	221	79.900347	343	116.782394
100	87.4119844	222	80.2118354	344	116.848442
101	87.036358	223	80.5275377	345	116.908212
102	86.6627015	224	80.8473466	346	116.961688
103	86.2911335	225	81.1711538	347	117.008855
104	85.9217725	226	81.4988499	348	117.049701
105	85.5547366	227	81.8303245	349	117.084214
106	85.1901438	228	82.1654664	350	117.112385
107	84.8281117	229	82.5041635	351	117.134207
108	84.4687578	230	82.8463027	352	117.149674
109	84.1121988	231	83.1917706	353	117.158781
110	83.7585513	232	83.5404525	354	117.161526
111	83.4079311	233	83.8922337	355	117.157909
112	83.0604538	234	84.2469983	356	117.147931
113	82.7162341	235	84.6046303	357	117.131593
114	82.3753861	236	84.9650131	358	117.108901
115	82.0380232	237	85.3280295	359	117.07986
116	81.704258	238	85.693562	360	117.044479
117	81.3742024	239	86.0614931	361	117.002767
118	81.0479673	240	86.4317045	362	116.954735
119	80.7256626	241	86.8040779	363	116.900396
120	80.4073974	242	87.178495	364	116.839764
121	80.0932796	243	87.5548371	365	116.772857
122	79.7834161	244	87.9329855		

Tabla 12 Valores de los ángulos de acimut γ para la latitud $\varphi = 19.68$ correspondiente a la FES Cuautitlán cuando $\omega = 60^\circ$ a lo largo de los 365 días del año.

día	$\gamma (\omega = 60^\circ)$	día	$\gamma (\omega = 60^\circ)$	día	$\gamma (\omega = 60^\circ)$
1	123.19631	123	83.5316043	245	93.4869254
2	123.117144	124	83.1885626	246	93.9108455
3	123.031866	125	82.850532	247	94.3358175
4	122.940491	126	82.5176428	248	94.761696
5	122.843035	127	82.1900235	249	95.1883362
6	122.739516	128	81.8678006	250	95.6155946
7	122.629952	129	81.5510986	251	96.0433285
8	122.514362	130	81.2400397	252	96.4713964
9	122.392768	131	80.9347442	253	96.8996576
10	122.26519	132	80.63533	254	97.3279731
11	122.131652	133	80.3419127	255	97.7562049
12	121.992177	134	80.0546055	256	98.1842163
13	121.84679	135	79.7735192	257	98.6118722
14	121.695518	136	79.4987622	258	99.0390387
15	121.538387	137	79.2304402	259	99.4655837
16	121.375425	138	78.9686565	260	99.8913763
17	121.206662	139	78.7135117	261	100.316287
18	121.032128	140	78.4651036	262	100.74019
19	120.851854	141	78.2235277	263	101.162957
20	120.665873	142	77.9888762	264	101.584466
21	120.474218	143	77.761239	265	102.004593
22	120.276924	144	77.5407029	266	102.423218
23	120.074026	145	77.327352	267	102.840222
24	119.865561	146	77.1212675	268	103.255488
25	119.651568	147	76.9225277	269	103.668901

día	$\gamma (\omega = 60^\circ)$	día	$\gamma (\omega = 60^\circ)$	día	$\gamma (\omega = 60^\circ)$
26	119.432084	148	76.7312081	270	104.080347
27	119.207151	149	76.547381	271	104.489714
28	118.976809	150	76.371116	272	104.896894
29	118.7411	151	76.2024797	273	105.301777
30	118.500069	152	76.0415355	274	105.704257
31	118.253759	153	75.8883442	275	106.104232
32	118.002217	154	75.7429632	276	106.501597
33	117.745489	155	75.6054471	277	106.896253
34	117.483624	156	75.4758475	278	107.2881
35	117.21667	157	75.3542127	279	107.677043
36	116.944678	158	75.2405883	280	108.062985
37	116.6677	159	75.1350166	281	108.445833
38	116.385789	160	75.037537	282	108.825496
39	116.098999	161	74.9481858	283	109.201884
40	115.807385	162	74.8669961	284	109.57491
41	115.511005	163	74.7939981	285	109.944486
42	115.209916	164	74.7292189	286	110.310528
43	114.904177	165	74.6726826	287	110.672953
44	114.593849	166	74.62441	288	111.031681
45	114.278995	167	74.584419	289	111.386631
46	113.959678	168	74.5527245	290	111.737725
47	113.635962	169	74.5293381	291	112.084888
48	113.307915	170	74.5142685	292	112.428045
49	112.975603	171	74.5075212	293	112.767121
50	112.639096	172	74.5090988	294	113.102047
51	112.298464	173	74.5190007	295	113.43275
52	111.953781	174	74.5372232	296	113.759164
53	111.605119	175	74.5637596	297	114.08122
54	111.252554	176	74.5986	298	114.398854
55	110.896163	177	74.6417316	299	114.712
56	110.536025	178	74.6931384	300	115.020595
57	110.172219	179	74.7528014	301	115.324579
58	109.804828	180	74.8206985	302	115.62389
59	109.433934	181	74.8968045	303	115.918471
60	109.059624	182	74.9810912	304	116.208263
61	108.681984	183	75.0735272	305	116.49321
62	108.301103	184	75.1740781	306	116.773258
63	107.917072	185	75.2827066	307	117.048352
64	107.529981	186	75.399372	308	117.318441
65	107.139927	187	75.524031	309	117.583472

día	$\gamma (\omega = 60^\circ)$	día	$\gamma (\omega = 60^\circ)$	día	$\gamma (\omega = 60^\circ)$
66	106.747003	188	75.6566369	310	117.843396
67	106.351309	189	75.79714	311	118.098164
68	105.952943	190	75.9454876	312	118.347729
69	105.552007	191	76.1016242	313	118.592044
70	105.148603	192	76.265491	314	118.831063
71	104.742837	193	76.4370262	315	119.064742
72	104.334816	194	76.6161652	316	119.29304
73	103.924647	195	76.8028403	317	119.515912
74	103.512443	196	76.9969809	318	119.73332
75	103.098314	197	77.1985134	319	119.945222
76	102.682376	198	77.4073612	320	120.151581
77	102.264743	199	77.623445	321	120.35236
78	101.845535	200	77.8466825	322	120.547521
79	101.42487	201	78.0769885	323	120.73703
80	101.00287	202	78.314275	324	120.920852
81	100.579658	203	78.5584514	325	121.098954
82	100.155358	204	78.809424	326	121.271304
83	99.7300977	205	79.0670966	327	121.437872
84	99.3040046	206	79.3313703	328	121.598627
85	98.8772086	207	79.6021435	329	121.753541
86	98.449841	208	79.8793119	330	121.902586
87	98.0220345	209	80.1627688	331	122.045735
88	97.5939236	210	80.4524049	332	122.182963
89	97.165644	211	80.7481085	333	122.314245
90	96.7373327	212	81.0497655	334	122.439557
91	96.3091283	213	81.3572593	335	122.558879
92	95.8811705	214	81.6704711	336	122.672187
93	95.4536	215	81.9892801	337	122.779462
94	95.0265591	216	82.313563	338	122.880686
95	94.6001906	217	82.6431946	339	122.975839
96	94.1746386	218	82.9780476	340	123.064905
97	93.7500481	219	83.3179928	341	123.147868
98	93.3265648	220	83.6628993	342	123.224714
99	92.9043351	221	84.012634	343	123.295428
100	92.4835063	222	84.3670626	344	123.359998
101	92.0642259	223	84.7260488	345	123.418412
102	91.6466422	224	85.089455	346	123.470661
103	91.2309037	225	85.457142	347	123.516735
104	90.8171593	226	85.8289693	348	123.556625
105	90.4055578	227	86.2047954	349	123.590325

día	$\gamma (\omega = 60^\circ)$	día	$\gamma (\omega = 60^\circ)$	día	$\gamma (\omega = 60^\circ)$
106	89.9962485	228	86.5844771	350	123.617828
107	89.5893805	229	86.9678707	351	123.63913
108	89.1851027	230	87.3548311	352	123.654227
109	88.783564	231	87.7452127	353	123.663116
110	88.3849128	232	88.1388689	354	123.665796
111	87.9892972	233	88.5356523	355	123.662265
112	87.5968648	234	88.9354154	356	123.652526
113	87.2077626	235	89.3380097	357	123.636579
114	86.8221369	236	89.7432867	358	123.614427
115	86.4401331	237	90.1510975	359	123.586074
116	86.0618958	238	90.5612931	360	123.551526
117	85.6875685	239	90.9737243	361	123.510788
118	85.3172937	240	91.388242	362	123.463868
119	84.9512127	241	91.8046974	363	123.410774
120	84.5894654	242	92.2229415	364	123.351515
121	84.2321904	243	92.6428262	365	123.286103
122	83.8795249	244	93.0642033		

Tabla 13 Valores de los ángulos de acimut γ para la latitud $\phi = 19.68$ correspondiente a la FES Cuautitlán cuando $\omega = 45^\circ$ a lo largo de los 365 días del año.

día	$\gamma (\omega = 45^\circ)$	día	$\gamma (\omega = 45^\circ)$	día	$\gamma (\omega = 45^\circ)$
1	131.986408	123	87.6967421	245	99.8297483
2	131.909883	124	87.2717312	246	100.335132
3	131.827399	125	86.852628	247	100.840655

día	$\gamma (\omega = 45^\circ)$	día	$\gamma (\omega = 45^\circ)$	día	$\gamma (\omega = 45^\circ)$
4	131.738959	126	86.4396225	248	101.346115
5	131.644567	127	86.0329016	249	101.851316
6	131.544225	128	85.6326482	250	102.356064
7	131.437938	129	85.2390419	251	102.860168
8	131.325711	130	84.8522584	252	103.363439
9	131.207548	131	84.4724695	253	103.865694
10	131.083453	132	84.099843	254	104.366751
11	130.953432	133	83.7345425	255	104.866434
12	130.81749	134	83.3767276	256	105.364569
13	130.675633	135	83.0265536	257	105.860988
14	130.527866	136	82.6841714	258	106.355524
15	130.374196	137	82.3497276	259	106.848016
16	130.214629	138	82.0233646	260	107.338307
17	130.049173	139	81.70522	261	107.826243
18	129.877833	140	81.3954272	262	108.311677
19	129.700619	141	81.0941151	263	108.794462
20	129.517538	142	80.8014081	264	109.274458
21	129.328599	143	80.517426	265	109.75153
22	129.133809	144	80.2422843	266	110.225544
23	128.933179	145	79.976094	267	110.696373
24	128.726718	146	79.7189615	268	111.163892
25	128.514436	147	79.4709889	269	111.627984
26	128.296343	148	79.232274	270	112.088531
27	128.072452	149	79.0029099	271	112.545422
28	127.842774	150	78.7829857	272	112.998551
29	127.60732	151	78.5725859	273	113.447813
30	127.366105	152	78.3717909	274	113.893108
31	127.119142	153	78.1806769	275	114.334342
32	126.866445	154	77.9993158	276	114.771422
33	126.608029	155	77.8277755	277	115.20426
34	126.343911	156	77.6661196	278	115.632771
35	126.074106	157	77.5144078	279	116.056874
36	125.798634	158	77.3726956	280	116.476491
37	125.517512	159	77.2410349	281	116.891547
38	125.230759	160	77.1194732	282	117.301972
39	124.938398	161	77.0080545	283	117.707697
40	124.640449	162	76.9068187	284	118.108656
41	124.336935	163	76.815802	285	118.504789
42	124.027881	164	76.7350367	286	118.896036
43	123.713312	165	76.6645515	287	119.282339

día	$\gamma (\omega = 45^\circ)$	día	$\gamma (\omega = 45^\circ)$	día	$\gamma (\omega = 45^\circ)$
44	123.393255	166	76.6043713	288	119.663646
45	123.067738	167	76.5545172	289	120.039905
46	122.736792	168	76.5150069	290	120.411067
47	122.400447	169	76.4858541	291	120.777086
48	122.058737	170	76.4670691	292	121.137917
49	121.711697	171	76.4586583	293	121.493518
50	121.359363	172	76.4606249	294	121.84385
51	121.001775	173	76.472968	295	122.188874
52	120.638973	174	76.4956834	296	122.528555
53	120.271	175	76.5287631	297	122.862857
54	119.8979	176	76.5721955	298	123.19175
55	119.519722	177	76.6259655	299	123.5152
56	119.136515	178	76.690054	300	123.833181
57	118.748332	179	76.7644384	301	124.145663
58	118.355227	180	76.8490926	302	124.45262
59	117.957257	181	76.9439864	303	124.754028
60	117.554484	182	77.049086	304	125.049862
61	117.14697	183	77.1643538	305	125.3401
62	116.734782	184	77.2897483	306	125.624721
63	116.317989	185	77.4252244	307	125.903704
64	115.896663	186	77.5707327	308	126.17703
65	115.47088	187	77.7262201	309	126.444682
66	115.040719	188	77.8916295	310	126.706641
67	114.606264	189	78.0668996	311	126.962891
68	114.167599	190	78.2519652	312	127.213417
69	113.724814	191	78.446757	313	127.458203
70	113.278004	192	78.6512013	314	127.697236
71	112.827264	193	78.8652206	315	127.930502
72	112.372697	194	79.0887327	316	128.157989
73	111.914408	195	79.3216515	317	128.379683
74	111.452504	196	79.5638863	318	128.595575
75	110.987099	197	79.8153422	319	128.805652
76	110.518311	198	80.0759199	320	129.009904
77	110.04626	199	80.3455155	321	129.208322
78	109.571072	200	80.624021	322	129.400896
79	109.092876	201	80.9113237	323	129.587616
80	108.611807	202	81.2073064	324	129.768474
81	108.128001	203	81.5118475	325	129.943463
82	107.641602	204	81.8248211	326	130.112573
83	107.152755	205	82.1460964	327	130.275798

día	$\gamma (\omega = 45^\circ)$	día	$\gamma (\omega = 45^\circ)$	día	$\gamma (\omega = 45^\circ)$
84	106.661612	206	82.4755385	328	130.433131
85	106.168326	207	82.8130079	329	130.584564
86	105.673058	208	83.1583607	330	130.730092
87	105.175969	209	83.5114486	331	130.869709
88	104.677227	210	83.872119	332	131.003407
89	104.177002	211	84.2402151	333	131.131183
90	103.67547	212	84.6155756	334	131.25303
91	103.172809	213	84.9980355	335	131.368944
92	102.6692	214	85.3874252	336	131.47892
93	102.16483	215	85.7835716	337	131.582954
94	101.659888	216	86.1862975	338	131.681042
95	101.154565	217	86.5954221	339	131.773179
96	100.649058	218	87.0107607	340	131.859362
97	100.143565	219	87.4321255	341	131.939588
98	99.6382858	220	87.859325	342	132.013853
99	99.1334256	221	88.2921648	343	132.082155
100	98.62919	222	88.7304472	344	132.144491
101	98.1257875	223	89.1739719	345	132.200858
102	97.6234285	224	89.6225358	346	132.251255
103	97.122325	225	90.0759333	347	132.295679
104	96.6226908	226	90.5339567	348	132.334128
105	96.124741	227	90.9963961	349	132.366602
106	95.6286919	228	91.4630397	350	132.393099
107	95.1347604	229	91.933674	351	132.413618
108	94.6431644	230	92.4080845	352	132.428157
109	94.154122	231	92.886055	353	132.436717
110	93.6678515	232	93.3673687	354	132.439298
111	93.1845712	233	93.8518079	355	132.435898
112	92.704499	234	94.3391547	356	132.426519
113	92.2278523	235	94.8291906	357	132.41116
114	91.7548476	236	95.3216974	358	132.389822
115	91.2857005	237	95.816457	359	132.362507
116	90.8206253	238	96.313252	360	132.329214
117	90.3598348	239	96.8118656	361	132.289946
118	89.90354	240	97.3120819	362	132.244704
119	89.4519501	241	97.8136863	363	132.193489
120	89.005272	242	98.3164657	364	132.136304
121	88.5637103	243	98.8202086	365	132.07315
122	88.1274672	244	99.3247053		

Tabla 14 Valores de los ángulos de acimut γ para la latitud $\phi = 19.68$ correspondiente a la FES Cuautitlán cuando $\omega = 30^\circ$ a lo largo de los 365 días del año.

día	$\gamma (\omega = 30^\circ)$	día	$\gamma (\omega = 30^\circ)$	día	$\gamma (\omega = 30^\circ)$
1	143.848999	123	92.8713062	245	109.395653
2	143.765522	124	92.2703041	246	110.048999
3	143.676688	125	91.6767491	247	110.69921
4	143.582483	126	91.0910097	248	111.345986
5	143.482891	127	90.5134458	249	111.98904
6	143.377896	128	89.9444086	250	112.628097
7	143.267482	129	89.3842395	251	113.262895
8	143.151629	130	88.8332701	252	113.893183
9	143.030319	131	88.291822	253	114.518722
10	142.903533	132	87.7602061	254	115.139287
11	142.771249	133	87.2387228	255	115.754664
12	142.633445	134	86.7276613	256	116.364651
13	142.490099	135	86.2273	257	116.96906
14	142.341186	136	85.7379061	258	117.567712
15	142.186683	137	85.2597356	259	118.160443
16	142.026564	138	84.7930334	260	118.747098
17	141.860801	139	84.3380333	261	119.327534
18	141.689367	140	83.894958	262	119.90162
19	141.512234	141	83.4640195	263	120.469236
20	141.329373	142	83.0454188	264	121.030269
21	141.140751	143	82.6393465	265	121.58462
22	140.946339	144	82.245983	266	122.132198

día	$\gamma (\omega = 30^\circ)$	día	$\gamma (\omega = 30^\circ)$	día	$\gamma (\omega = 30^\circ)$
23	140.746103	145	81.8654983	267	122.672923
24	140.540011	146	81.4980529	268	123.20672
25	140.328028	147	81.1437975	269	123.733528
26	140.110119	148	80.8028737	270	124.25329
27	139.886248	149	80.4754141	271	124.765959
28	139.656377	150	80.1615426	272	125.271494
29	139.42047	151	79.861375	273	125.769863
30	139.178488	152	79.5750188	274	126.26104
31	138.930392	153	79.302574	275	126.745005
32	138.67614	154	79.0441333	276	127.221743
33	138.415694	155	78.7997824	277	127.691246
34	138.149011	156	78.5696	278	128.153511
35	137.87605	157	78.3536586	279	128.608541
36	137.596768	158	78.1520247	280	129.056341
37	137.311122	159	77.9647588	281	129.496921
38	137.019069	160	77.7919157	282	129.930297
39	136.720566	161	77.6335452	283	130.356487
40	136.415568	162	77.4896919	284	130.775512
41	136.104032	163	77.3603954	285	131.187397
42	135.785915	164	77.2456909	286	131.592168
43	135.461171	165	77.145609	287	131.989856
44	135.129757	166	77.0601761	288	132.380493
45	134.79163	167	76.9894143	289	132.764112
46	134.446748	168	76.933342	290	133.14075
47	134.095067	169	76.8919733	291	133.510444
48	133.736546	170	76.8653188	292	133.873233
49	133.371145	171	76.8533851	293	134.229157
50	132.998824	172	76.8561753	294	134.578256
51	132.619544	173	76.8736888	295	134.920573
52	132.233269	174	76.9059209	296	135.25615
53	131.839964	175	76.9528638	297	135.585031
54	131.439595	176	77.0145053	298	135.907259
55	131.032131	177	77.0908298	299	136.222877
56	130.617543	178	77.1818175	300	136.531929
57	130.195806	179	77.2874447	301	136.83446
58	129.766895	180	77.4076834	302	137.130514
59	129.33079	181	77.5425013	303	137.420133
60	128.887475	182	77.6918616	304	137.703362
61	128.436936	183	77.8557227	305	137.980244
62	127.979165	184	78.0340382	306	138.250821

día	$\gamma (\omega = 30^\circ)$	día	$\gamma (\omega = 30^\circ)$	día	$\gamma (\omega = 30^\circ)$
63	127.514156	185	78.2267563	307	138.515135
64	127.04191	186	78.4338202	308	138.773228
65	126.562432	187	78.655167	309	139.025142
66	126.075732	188	78.8907282	310	139.270917
67	125.581827	189	79.1404288	311	139.510592
68	125.080738	190	79.4041874	312	139.744207
69	124.572495	191	79.6819159	313	139.971799
70	124.057132	192	79.9735188	314	140.193406
71	123.534694	193	80.2788933	315	140.409065
72	123.00523	194	80.5979287	316	140.618812
73	122.4688	195	80.9305063	317	140.82268
74	121.925469	196	81.2764989	318	141.020705
75	121.375313	197	81.6357704	319	141.212918
76	120.818418	198	82.008176	320	141.399353
77	120.254878	199	82.3935612	321	141.58004
78	119.684797	200	82.7917619	322	141.75501
79	119.108289	201	83.2026042	323	141.924291
80	118.52548	202	83.6259039	324	142.087912
81	117.936505	203	84.0614666	325	142.2459
82	117.341511	204	84.5090868	326	142.398281
83	116.740657	205	84.9685488	327	142.545081
84	116.134113	206	85.4396256	328	142.686324
85	115.52206	207	85.9220792	329	142.822033
86	114.904692	208	86.4156605	330	142.952231
87	114.282216	209	86.9201092	331	143.076939
88	113.65485	210	87.4351539	332	143.196178
89	113.022824	211	87.9605121	333	143.309968
90	112.386382	212	88.4958904	334	143.418326
91	111.745778	213	89.0409842	335	143.521271
92	111.10128	214	89.5954787	336	143.61882
93	110.453168	215	90.1590484	337	143.710987
94	109.801734	216	90.7313579	338	143.797789
95	109.147279	217	91.3120621	339	143.87924
96	108.490119	218	91.9008065	340	143.955351
97	107.830578	219	92.4972277	341	144.026137
98	107.168994	220	93.1009542	342	144.091607
99	106.505713	221	93.7116067	343	144.151773
100	105.841089	222	94.3287987	344	144.206643
101	105.175489	223	94.9521371	345	144.256228
102	104.509285	224	95.5812235	346	144.300535

día	$\gamma (\omega = 30^\circ)$	día	$\gamma (\omega = 30^\circ)$	día	$\gamma (\omega = 30^\circ)$
103	103.842859	225	96.2156539	347	144.33957
104	103.176599	226	96.8550205	348	144.37334
105	102.5109	227	97.4989119	349	144.40185
106	101.846163	228	98.1469141	350	144.425106
107	101.182793	229	98.7986113	351	144.44311
108	100.521199	230	99.453587	352	144.455865
109	99.8617938	231	100.111424	353	144.463374
110	99.2049919	232	100.771708	354	144.465637
111	98.5512097	233	101.434023	355	144.462655
112	97.9008639	234	102.09796	356	144.454428
113	97.2543709	235	102.763109	357	144.440953
114	96.6121458	236	103.429067	358	144.42223
115	95.9746017	237	104.095436	359	144.398255
116	95.3421489	238	104.761823	360	144.369024
117	94.7151938	239	105.427843	361	144.334533
118	94.0941382	240	106.093116	362	144.294776
119	93.4793788	241	106.757274	363	144.249747
120	143.848999	242	107.419953	364	144.199439
121	143.765522	243	108.080803	365	144.143843
122	143.676688	244	108.73948		

Tabla 15 Valores de los ángulos de acimut γ para la latitud $\varphi = 19.68$ correspondiente a la FES Cuautitlán cuando $\omega = 15^\circ$ a lo largo de los 365 días del año.

día	$\gamma (\omega = 15^\circ)$	día	$\gamma (\omega = 15^\circ)$	día	$\gamma (\omega = 15^\circ)$
1	160.317247	123	102.782895	245	129.012131
2	160.274281	124	101.671722	246	129.861717
3	160.227884	125	100.566424	247	130.693638
4	160.178036	126	99.4684876	248	131.507906
5	160.124719	127	98.3793814	249	132.304575
6	160.067911	128	97.3005477	250	133.083732
7	160.007591	129	96.2333961	251	133.845501
8	159.943734	130	95.1792954	252	134.590033
9	159.876314	131	94.1395673	253	135.31751
10	159.805306	132	93.1154806	254	136.028132
11	159.73068	133	92.108246	255	136.722124
12	159.652405	134	91.1190119	256	137.399727
13	159.570451	135	90.1488611	257	138.061199
14	159.484782	136	89.1988079	258	138.706808
15	159.395363	137	88.2697972	259	139.336835
16	159.302157	138	87.3627026	260	139.95157
17	159.205124	139	86.4783271	261	140.551308
18	159.104222	140	85.6174033	262	141.136351
19	158.999409	141	84.7805946	263	141.707003
20	158.890639	142	83.9684971	264	142.263573
21	158.777864	143	83.1816421	265	142.806367
22	158.661033	144	82.4204986	266	143.335695
23	158.540096	145	81.6854763	267	143.851862
24	158.414997	146	80.9769294	268	144.355174
25	158.28568	147	80.2951597	269	144.845934
26	158.152085	148	79.6404206	270	145.324439
27	158.014149	149	79.0129211	271	145.790985
28	157.871809	150	78.4128293	272	146.245862
29	157.724996	151	77.8402766	273	146.689355
30	157.573641	152	77.2953612	274	147.121745
31	157.417671	153	76.7781519	275	147.543305
32	157.257008	154	76.2886922	276	147.954305
33	157.091574	155	75.8270028	277	148.355006
34	156.921286	156	75.3930859	278	148.745665
35	156.746059	157	74.9869276	279	149.126532
36	156.565803	158	74.6085013	280	149.497851
37	156.380425	159	74.2577703	281	149.859858
38	156.189829	160	73.9346902	282	150.212785
39	155.993914	161	73.6392116	283	150.556855
40	155.792578	162	73.3712818	284	150.892287

día	$\gamma (\omega = 15^\circ)$	día	$\gamma (\omega = 15^\circ)$	día	$\gamma (\omega = 15^\circ)$
41	155.585711	163	73.1308474	285	151.219291
42	155.373201	164	72.9178553	286	151.538073
43	155.154933	165	72.7322549	287	151.848832
44	154.930785	166	72.573999	288	152.151761
45	154.700633	167	72.4430454	289	152.447045
46	154.464346	168	72.3393577	290	152.734866
47	154.22179	169	72.262906	291	153.015399
48	153.972827	170	72.2136679	292	153.288813
49	153.71731	171	72.1916285	293	153.555271
50	153.455092	172	72.1967813	294	153.814931
51	153.186016	173	72.2291278	295	154.067947
52	152.909924	174	72.2886777	296	154.314466
53	152.626649	175	72.3754488	297	154.554629
54	152.33602	176	72.4894663	298	154.788575
55	152.03786	177	72.6307629	299	155.016437
56	151.731986	178	72.7993771	300	155.238342
57	151.41821	179	72.9953532	301	155.454413
58	151.096335	180	73.2187398	302	155.664771
59	150.766161	181	73.4695887	303	155.869529
60	150.427481	182	73.7479531	304	156.068798
61	150.08008	183	74.0538867	305	156.262685
62	149.723738	184	74.3874409	306	156.451292
63	149.35823	185	74.7486635	307	156.634718
64	148.98332	186	75.1375964	308	156.813057
65	148.598771	187	75.5542727	309	156.986402
66	148.204336	188	75.9987146	310	157.15484
67	147.799762	189	76.4709301	311	157.318456
68	147.384791	190	76.9709105	312	157.477332
69	146.959158	191	77.4986268	313	157.631544
70	146.522593	192	78.0540264	314	157.781169
71	146.074819	193	78.6370297	315	157.926278
72	145.615553	194	79.2475263	316	158.066941
73	145.144509	195	79.8853715	317	158.203225
74	144.661394	196	80.5503821	318	158.335191
75	144.165912	197	81.2423328	319	158.462903
76	143.657764	198	81.9609522	320	158.586418
77	143.136645	199	82.705919	321	158.705792
78	142.60225	200	83.4768585	322	158.82108
79	142.054271	201	84.2733389	323	158.932331
80	141.4924	202	85.0948678	324	159.039597

día	$\gamma (\omega = 15^\circ)$	día	$\gamma (\omega = 15^\circ)$	día	$\gamma (\omega = 15^\circ)$
81	140.91633	203	85.94089	325	159.142922
82	140.325753	204	86.8107838	326	159.242352
83	139.720366	205	87.7038598	327	159.33793
84	139.09987	206	88.6193589	328	159.429696
85	138.463971	207	89.5564514	329	159.51769
86	137.812383	208	90.5142365	330	159.601947
87	137.144828	209	91.4917431	331	159.682503
88	136.461043	210	92.4879304	332	159.759391
89	135.760776	211	93.5016905	333	159.832642
90	135.043791	212	94.531851	334	159.902287
91	134.309873	213	95.5771786	335	159.968353
92	133.558827	214	96.6363838	336	160.030867
93	132.790485	215	97.7081264	337	160.089853
94	132.004704	216	98.7910211	338	160.145335
95	131.201374	217	99.8836453	339	160.197335
96	130.380419	218	100.984545	340	160.245873
97	129.541802	219	102.092246	341	160.290968
98	128.685528	220	103.205256	342	160.332637
99	127.811646	221	104.322082	343	160.370897
100	126.920258	222	105.44123	344	160.405762
101	126.011515	223	106.561222	345	160.437245
102	125.085628	224	107.680597	346	160.465358
103	124.142868	225	108.797925	347	160.490113
104	123.183569	226	109.911813	348	160.511517
105	122.208133	227	111.020911	349	160.529581
106	121.217031	228	112.12392	350	160.544309
107	120.210806	229	113.219601	351	160.555709
108	119.190078	230	114.306773	352	160.563783
109	118.155538	231	115.384325	353	160.568536
110	117.107957	232	116.451214	354	160.569968
111	116.048181	233	117.506472	355	160.568081
112	114.977133	234	118.549206	356	160.562873
113	113.895808	235	119.578598	357	160.554344
114	112.805277	236	120.593907	358	160.542488
115	111.706676	237	121.594469	359	160.527303
116	110.60121	238	122.579694	360	160.508783
117	109.490141	239	123.549066	361	160.486919
118	108.374788	240	124.50214	362	160.461705
119	107.256518	241	125.438541	363	160.433131
120	106.136739	242	126.357959	364	160.401185

día	$\gamma (\omega = 15^\circ)$	día	$\gamma (\omega = 15^\circ)$	día	$\gamma (\omega = 15^\circ)$
121	105.016894	243	127.260146	365	160.365856
122	103.898451	244	128.144914		

Tabla 16 Valores de los ángulos de acimut γ para la latitud $\varphi = 19.68$ correspondiente a la FES Cuautitlán cuando $\omega = 0^\circ$ a lo largo de los 365 días del año.

día	$\gamma (\omega = 0^\circ)$	día	$\gamma (\omega = 0^\circ)$	día	$\gamma (\omega = 0^\circ)$
1	180	123	180	245	180
2	180	124	180	246	180
3	180	125	180	247	180
4	180	126	180	248	180
5	180	127	180	249	180
6	180	128	180	250	180
7	180	129	180	251	180
8	180	130	180	252	180
9	180	131	180	253	180
10	180	132	180	254	180
11	180	133	180	255	180
12	180	134	180	256	180
13	180	135	180	257	180
14	180	136	180	258	180

día	$\gamma (\omega = 0^\circ)$	día	$\gamma (\omega = 0^\circ)$	día	$\gamma (\omega = 0^\circ)$
15	180	137	180	259	180
16	180	138	∞	260	180
17	180	139	0	261	180
18	180	140	0	262	180
19	180	141	0	263	180
20	180	142	0	264	180
21	180	143	0	265	180
22	180	144	0	266	180
23	180	145	0	267	180
24	180	146	0	268	180
25	180	147	0	269	180
26	180	148	0	270	180
27	180	149	0	271	180
28	180	150	0	272	180
29	180	151	0	273	180
30	180	152	0	274	180
31	180	153	0	275	180
32	180	154	0	276	180
33	180	155	0	277	180
34	180	156	0	278	180
35	180	157	0	279	180
36	180	158	0	280	180
37	180	159	0	281	180
38	180	160	0	282	180
39	180	161	0	283	180
40	180	162	0	284	180
41	180	163	0	285	180
42	180	164	0	286	180
43	180	165	0	287	180
44	180	166	0	288	180
45	180	167	0	289	180
46	180	168	0	290	180
47	180	169	0	291	180
48	180	170	0	292	180
49	180	171	0	293	180
50	180	172	0	294	180
51	180	173	0	295	180
52	180	174	0	296	180
53	180	175	0	297	180
54	180	176	0	298	180

día	$\gamma (\omega = 0^\circ)$	día	$\gamma (\omega = 0^\circ)$	día	$\gamma (\omega = 0^\circ)$
55	180	177	0	299	180
56	180	178	0	300	180
57	180	179	0	301	180
58	180	180	0	302	180
59	180	181	0	303	180
60	180	182	0	304	180
61	180	183	0	305	180
62	180	184	0	306	180
63	180	185	0	307	180
64	180	186	0	308	180
65	180	187	0	309	180
66	180	188	0	310	180
67	180	189	0	311	180
68	180	190	0	312	180
69	180	191	0	313	180
70	180	192	0	314	180
71	180	193	0	315	180
72	180	194	0	316	180
73	180	195	0	317	180
74	180	196	0	318	180
75	180	197	0	319	180
76	180	198	0	320	180
77	180	199	0	321	180
78	180	200	0	322	180
79	180	201	0	323	180
80	180	202	0	324	180
81	180	203	0	325	180
82	180	204	0	326	180
83	180	205	∞	327	180
84	180	206	180	328	180
85	180	207	180	329	180
86	180	208	180	330	180
87	180	209	180	331	180
88	180	210	180	332	180
89	180	211	180	333	180
90	180	212	180	334	180
91	180	213	180	335	180
92	180	214	180	336	180
93	180	215	180	337	180
94	180	216	180	338	180

día	$\gamma (\omega = 0^\circ)$	día	$\gamma (\omega = 0^\circ)$	día	$\gamma (\omega = 0^\circ)$
95	180	217	180	339	180
96	180	218	180	340	180
97	180	219	180	341	180
98	180	220	180	342	180
99	180	221	180	343	180
100	180	222	180	344	180
101	180	223	180	345	180
102	180	224	180	346	180
103	180	225	180	347	180
104	180	226	180	348	180
105	180	227	180	349	180
106	180	228	180	350	180
107	180	229	180	351	180
108	180	230	180	352	180
109	180	231	180	353	180
110	180	232	180	354	180
111	180	233	180	355	180
112	180	234	180	356	180
113	180	235	180	357	180
114	180	236	180	358	180
115	180	237	180	359	180
116	180	238	180	360	180
117	180	239	180	361	180
118	180	240	180	362	180
119	180	241	180	363	180
120	180	242	180	364	180
121	180	243	180	365	180
122	180	244	180		

Tabla 17 Principales meridianos de referencia de los principales husos horarios en distintos lugares de México y sus alrededores.

Hora	Meridiano de referencia	Ejemplos
del Este	75°W	Este de los EEUU, New York, etc.
del Centro	90°W	Este de México de Yuc. a Jal.
de la Montaña	105°W	Nay., Sin., Son. y BCS.
del Pacífico	120°W	Baja California, California.
Alaska-Hawaii	135°W	Alaska, Hawaii

Tabla 18 Valores de ET para cada día del año.

día	ET	día	ET	día	ET
1	0.0565	123	-0.05486202	245	-0.00492956
2	0.06388135	124	-0.05657344	246	-0.01060218
3	0.07118516	125	-0.05812211	247	-0.01635684
4	0.07840468	126	-0.05950713	248	-0.02218766
5	0.08553324	127	-0.06072782	249	-0.02808868
6	0.0925643	128	-0.06178373	250	-0.03405378
7	0.09949141	129	-0.06267463	251	-0.04007677
8	0.10630828	130	-0.06340051	252	-0.04615134
9	0.1130087	131	-0.06396159	253	-0.05227112
10	0.11958664	132	-0.0643583	254	-0.05842962
11	0.12603618	133	-0.06459131	255	-0.06462031
12	0.13235156	134	-0.06466148	256	-0.07083655
13	0.13852718	135	-0.06456992	257	-0.07707169
14	0.14455758	136	-0.06431793	258	-0.08331898
15	0.15043749	137	-0.06390705	259	-0.08957165
16	0.1561618	138	-0.06333901	260	-0.0958229
17	0.16172559	139	-0.06261576	261	-0.10206587
18	0.1671241	140	-0.06173946	262	-0.10829372
19	0.17235277	141	-0.06071247	263	-0.11449956
20	0.17740724	142	-0.05953735	264	-0.12067652
21	0.18228333	143	-0.05821687	265	-0.12681771
22	0.18697709	144	-0.05675397	266	-0.13291627
23	0.19148474	145	-0.05515181	267	-0.13896535
24	0.19580275	146	-0.05341371	268	-0.14495812
25	0.19992775	147	-0.05154319	269	-0.15088781
26	0.20385665	148	-0.04954394	270	-0.15674766
27	0.20758653	149	-0.04741982	271	-0.16253098
28	0.21111473	150	-0.04517486	272	-0.16823113
29	0.21443877	151	-0.04281325	273	-0.17384155
30	0.21755645	152	-0.04033935	274	-0.17935574
31	0.22046576	153	-0.03775765	275	-0.18476729
32	0.22316495	154	-0.0350728	276	-0.19006986
33	0.22565248	155	-0.03228958	277	-0.19525723

día	ET	día	ET	día	ET
34	0.22792707	156	-0.02941291	278	-0.20032327
35	0.22998765	157	-0.02644785	279	-0.20526197
36	0.23183341	158	-0.02339954	280	-0.21006744
37	0.23346376	159	-0.02027328	281	-0.2147339
38	0.23487836	160	-0.01707445	282	-0.21925572
39	0.23607709	161	-0.01380853	283	-0.22362739
40	0.23706009	162	-0.01048111	284	-0.22784356
41	0.23782772	163	-0.00709785	285	-0.23189903
42	0.23838058	164	-0.00366451	286	-0.23578876
43	0.23871951	165	-0.00018688	287	-0.23950785
44	0.23884558	166	0.00332913	288	-0.24305161
45	0.23876009	167	0.0068776	289	-0.2464155
46	0.23846455	168	0.01045254	290	-0.24959515
47	0.23796074	169	0.01404792	291	-0.25258642
48	0.23725064	170	0.01765767	292	-0.25538531
49	0.23633643	171	0.02127571	293	-0.25798804
50	0.23522056	172	0.02489593	294	-0.26039105
51	0.23390564	173	0.02851221	295	-0.26259094
52	0.23239454	174	0.03211844	296	-0.26458457
53	0.23069031	175	0.03570849	297	-0.26636897
54	0.22879622	176	0.03927626	298	-0.26794141
55	0.22671571	177	0.04281567	299	-0.26929937
56	0.22445246	178	0.04632067	300	-0.27044057
57	0.22201031	179	0.04978523	301	-0.27136294
58	0.2193933	180	0.05320338	302	-0.27206464
59	0.21660564	181	0.0565692	303	-0.27254407
60	0.21365172	182	0.05987682	304	-0.27279985
61	0.2105361	183	0.06312044	305	-0.27283086
62	0.20726351	184	0.06629434	306	-0.27263619
63	0.20383884	185	0.06939288	307	-0.27221518
64	0.20026712	186	0.07241049	308	-0.27156741
65	0.19655354	187	0.07534172	309	-0.27069271
66	0.19270341	188	0.07818121	310	-0.26959112
67	0.1887222	189	0.08092372	311	-0.26826296
68	0.18461548	190	0.0835641	312	-0.26670876
69	0.18038896	191	0.08609735	313	-0.26492931
70	0.17604845	192	0.08851858	314	-0.26292562
71	0.17159987	193	0.09082307	315	-0.26069897
72	0.16704924	194	0.09300619	316	-0.25825084
73	0.16240267	195	0.0950635	317	-0.25558297

día	ET	día	ET	día	ET
74	0.15766636	196	0.09699069	318	-0.25269733
75	0.15284656	197	0.09878362	319	-0.24959613
76	0.14794962	198	0.10043832	320	-0.2462818
77	0.14298194	199	0.10195097	321	-0.24275699
78	0.13794996	200	0.10331795	322	-0.2390246
79	0.13286018	201	0.10453579	323	-0.23508774
80	0.12771913	202	0.10560123	324	-0.23094972
81	0.12253338	203	0.10651119	325	-0.22661409
82	0.1173095	204	0.10726279	326	-0.2220846
83	0.1120541	205	0.10785333	327	-0.21736522
84	0.10677377	206	0.10828032	328	-0.21246012
85	0.10147512	207	0.10854149	329	-0.20737364
86	0.09616474	208	0.10863474	330	-0.20211035
87	0.09084919	209	0.10855822	331	-0.196675
88	0.08553502	210	0.10831027	332	-0.19107252
89	0.08022875	211	0.10788946	333	-0.185308
90	0.07493684	212	0.10729456	334	-0.17938674
91	0.06966572	213	0.10652457	335	-0.17331419
92	0.06442174	214	0.10557871	336	-0.16709594
93	0.05921121	215	0.10445643	337	-0.16073776
94	0.05404035	216	0.10315739	338	-0.15424557
95	0.04891532	217	0.10168149	339	-0.14762542
96	0.04384216	218	0.10002885	340	-0.1408835
97	0.03882685	219	0.0981998	341	-0.13402613
98	0.03387526	220	0.09619492	342	-0.12705974
99	0.02899314	221	0.09401501	343	-0.1199909
100	0.02418613	222	0.09166109	344	-0.11282625
101	0.01945976	223	0.08913439	345	-0.10557257
102	0.01481942	224	0.0864364	346	-0.09823669
103	0.01027038	225	0.0835688	347	-0.09082557
104	0.00581774	226	0.0805335	348	-0.08334622
105	0.00146649	227	0.07733264	349	-0.07580572
106	-0.00277855	228	0.07396856	350	-0.0682112
107	-0.00691273	229	0.07044382	351	-0.06056988
108	-0.01093153	230	0.06676121	352	-0.052889
109	-0.01483063	231	0.06292369	353	-0.04517583
110	-0.01860586	232	0.05893447	354	-0.03743769
111	-0.02225325	233	0.05479693	355	-0.0296819
112	-0.025769	234	0.05051465	356	-0.02191581
113	-0.02914949	235	0.04609143	357	-0.01414678

día	ET	día	ET	día	ET
114	-0.0323913	236	0.04153125	358	-0.00638213
115	-0.03549122	237	0.03683825	359	0.00137078
116	-0.0384462	238	0.0320168	360	0.00910465
117	-0.04125344	239	0.0270714	361	0.01681219
118	-0.0439103	240	0.02200675	362	0.02448614
119	-0.04641437	241	0.01682772	363	0.03211931
120	-0.04876346	242	0.01153932	364	0.03970453
121	-0.05095558	243	0.00614673	365	0.04723471
122	-0.05298895	244	0.00065528		

Gráfica 2 Curva de la variación del tiempo en minutos a lo largo de los 365 días del año.

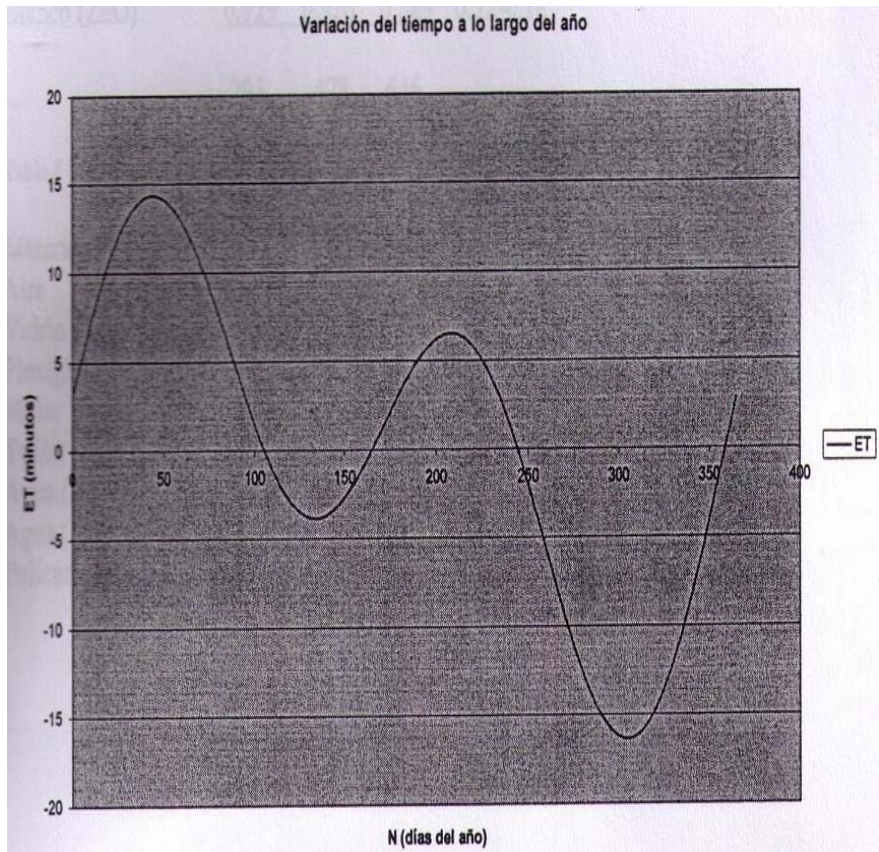


Tabla 19 Absortancia y emitancia de algunos materiales a distintas temperaturas.

Superficie	E / T ($^{\circ}\text{K}$)	A
------------	------------------------------	---

Aluminio	0.102	0.130	0.113	0.09-0.10
puro	573	773	873	
Aluminio	0.842	0.720	0.669	0.12-0.16
anodizado	296	484	574	
Cromo	0.290	0.355	0.435	0.415
	722	905	1072	
Cobre	0.041	0.036	0.039	0.35
pulido	338	463	803	
Oro	0.025	0.040	0.048	0.20-0.23
	275	468	668	
Hierro	0.071	0.110	0.175	0.44
	199	468	668	
Níquel	0.10	0.10	0.12	0.36-0.43
	310	468	668	
Pintura	0.981	0.981		0.98
Negro mate	240	462		
Blanco	0.929	0.926	0.889	0.12-0.18
(ZnO)	295	478	646	

Tabla 20 Índice de refracción de distintas sustancias en el intervalo visible.

Material	Índice de refracción
----------	----------------------

Aire	1.00
Vidrio (tipo para colector solar)	1.50-1.52
Plexiglas	1.49
Mylar	1.64
Tedlar	1.45
Agua (líquida)	1.33
Agua (sólida)	1.31
Policarbonato	1.59

BIBLIOGRAFÍA.

Energía Solar: Fundamentos y Aplicaciones fototérmicas.

José A. Manrique.

Ed. HARLA.

España, 1998.

Ingenios Solares.

José Manuel Jiménez.

Editorial: Pamiela.

Navarra Pamplona-España, 1997.

Energía solar: Aplicaciones prácticas.

Hans Rau.

Marcombo Boixareu Editores.

Barcelona-España, 1980.

Solar Energy Thermal Processes.

J. A. Duffie, W. A. Beckman.

Editorial: John Wiley and Sons.

N. York-Estados Unidos, 1974.

Hidrógeno solar: Energía para el futuro.

Dr. Phil Eduard W. Justi.

Marcombo Boixareu Editores.

Barcelona-España, 1985.

Mecánica de fluidos y maquinas hidráulicas.

Claudio Mataix.

Alfaomega-Oxford.

España, 2005.

Ingeniería Termodinámica.

William C. Reynolds, Henry C. Perkins.

Mc Graw-Hill.

México, 1977.

Fundamentos de transferencia de calor.

Jaime Cervantes de Gortari.

UNAM. Fondo de Cultura Económica.

México, 1999.

Termotecnia: Aplicaciones agroindustriales.

Pablo Amigo Martín.

Ediciones Mundi-Prensa.

Madrid-España, 2000.

La energía en México: Replanteamiento de retos y oportunidades.

I Congreso Nacional de la Asociación Mexicana para la Economía Energética, A. C.

UNAM. Asociación Mexicana para la Economía Energética,
A. C. Instituto Mexicano del Petróleo.

México, 1997.

Energía solar: Selección del equipo, instalación y aprovechamiento.

Richard H. Montgomery.

Editorial LIMUSA.

México, 1994.